

ISSN 0132-6112

АЗЭРБАЙЧАН ССР ЕЛМЛЭР АКАДЕМИЈАСЫ
АКАДЕМИЯ НАУК АЗЕРБАЙДЖАНСКОЙ ССР

ХОБС РӨР ИЗВЛ

БИОЛОКИЈА
ЕЛМЛЭРИ

БИОЛОГИЧЕСКИЕ
НАУКИ

1 • 1984

6 № 1

АЗӘРБАЙҖАН ССР ЕЛМЛӨР АКАДЕМИЈАСЫНЫН

ХӘБӘРЛӘРИ

ИЗВЕСТИЯ

АКАДЕМИИ НАУК АЗЕРБАЙДЖАНСКОЙ ССР

Биолокија елмләри серијасы



Серия биологических наук

№ 1



1984

«ЕЛМ» НӘШРИЙАТЫ—ИЗДАТЕЛЬСТВО «ЭЛМ»
БАКЫ—БАКУ

АЗЭРБАЙЧАН ССР ЕЛМЛӘР АКАДЕМИЯСЫНЫН ХӘБӘРЛӘРИ
Биология елмләри сериясы, 1984, № 1

ИЗВЕСТИЯ АКАДЕМИИ НАУК АЗЕРБАЙДЖАНСКОЙ ССР
Серия биологических наук, 1984, № 1

УДК 581.5:582.4/9

ИНТРОДУКСИЈА

Э. М. МӘСИЈЕВ

ГАФГАЗ ФЛОРАСЫНДАН ОЛАН БӘ'ЗИ АГАЧ ВӘ ҚОЛЛАРЫН
АБШЕРОН ШӘРАИТИНДӘ БИОЕКОЛОЖИ
ХҮСУСИЙЈӘТЛӘРИ

Мәгәләдә Гафгаз флорасындан ағач вә кол биткиләринин Абшерона интродуксијасы тарихи һаңда мәлumat верилүр. Бә'зи биткиләрни тохумунун кејфијјатинин, чүчәрмәсимиши вә чүчартыларни битмә фанцини биткиләрни биология хүсусијәтила жанаши тохум жығылан биткинин битди шәраитдән, тохумун жығылма вә сәпилмә вахтындан, ejni заманда сәпин назырламасындан асылы олдуғу мүжән едилүр. Абшерона интродуксија едилмиш биткиләрни 1—7 жашы әрзинде бөйкөм интенсивліжинин онларын нөвүндән, жашындан вә тәтбиг едилән агротехники гуллугдан асылы олараг дәјишиләсі өүренилиб. Назырда Бакы Ботаника бағында. Гафгаз флорасындан 37 фәсиләр вә 76 чинсә мәнсүб олар 82 нөв ағач вә 90 нөв кол бечәрилир. Бунлардан 19 нөвү надир вә наслы түкәнмәкдә олар биткиләрдир. Ма'лум олду ки, рододендронлардан башта сыйнагдан кечирилмиш бүтүн биткиләри Абшерон шәраитинде бечәрмәк вә артырмаг олар.

Елми-техники тәрәггинин сүр'етлә инкишаф етдији назырки дөврдә бир тәрәфдән харичи мүһитин мұһафизәси, дикәр тәрәфдән сәнајени битки хаммалы вә жашајыш мәнтәгәләрини жашыллашдырмаг үчүн әкин материалы илә тә'мин етмәк зәруријәти мејдана чыхыр. Бу ишләрин јериңә јетирилмәснәндә биткиләрин интродуксијасы мүһүм рол ојнајыр. Биткиләри интродуксија етмәклә онларын сајыны артырмаг, саһәсими ареалыны кенишләндирмәк олур. Ыәмин биткиләр дә өз нөвбәсендә әқилдији саһәнин атмосферини газдан вә тоздан тәмизләјир, ejni заманда жашајыш мәнтәгәләринин ме'марлығ-бәдни тәртибатында хүсуси рол ојнајыр.

Гуру иглими олар Абшерон шәраитинде атмосферин тәмизләнмәснәндә вә сафлашдырылмасында жашыллашдырма даһа бөյүк әһәмијәтә маликдир. Бурада жашыллашдырма ишинин мұвәффәгијјәтлә апарылмасы үчүн узуунемүрлү, давамлы вә декоратив ағач вә коллардан истифадә етмәк лазымдыр. Белә ағач вә кол биткиләри арасында Гафгазын дендрофлорасы хүсуси јер тутур. Бурада тәбии һалда тәсәррүфат вә декоратив әһәмијәтли хејли мигдарда гијмәтли ағач вә кол жајылмышдыр ки, бунлар интродуксија үчүн бөйүк мараг доғуур. Мараглыдыр ки, Гафгаз ССРИ әразисинин жалныз 1/56 һиссәсини тәшкил едир. Лакин бурада өлкәмиздә жајылмыш битки нөвләринин 1/3-ә тәсадуф етмәк олур. Гафгазда 800-дән соҳ ағач вә кол нөвү тәбии жајылмышдыр. Бу да ССРИ дендрофлорасынын 28%-ни тәшкил едир [8]. Она көрә дә, јерли материалдан истифадә етмәк вә Гафгаз колоритини сахламаг үчүн онун дендрофлорасындан жашыллашдырма вә мешәсалма ишләриндә кениш истифадә едилмәлидир.

Дејиләнләрә баҳмајараг, Абшеронда жашајыш мәнтәгәләриндә, хүсусилә Бакы шәһәринин күчә, бағ вә хијабанларынын жашыллашдырылмасында јерли ағач вә кол чинсләриндән соҳ аз истифадә едилмишdir. Бакы шәһәри бағларында, бир нечә кәнддә вә айры-ајры саһибкарларын бағында һәлә кечән әсрә тәк-тәк гарағач, Шәрг чинары, узунсаплаг па-

РЕДАКЦИОННАЯ КОЛЛЕГИЯ: Дж. А. Алиев (главный редактор)
В. Р. Волобуев, У. К. Алексперов, Г. Г. Гасанов (зам. гл. редактора), Н. А. Касумо
М. А. Мамедъяров, М. А. Мусаев, И. Д. Мустафаев (зам. гл. редактора), Э. М. С
лаев, А. Н. Самедов (ответственный секретарь).

(С) Издательство «Элм», 1984 г.

Биткиларин тохумунун кеіфінде, чүчәрмәси, чүчәртиләрни битмәси. фазылә

лыд, Елдар шамы, тут ағачы, һамар дағдаган іөвләри әкилмишdir ки, назырда онларын жашы 150—170 илдән соңдур [1,8—14].

Азәрбајчанда Совет һакимијәти гурулдугдан соңра Абшеронун, хүсүсила Бакы шәһәринин јашыллашдырылмасында бөյүк дөнүш јаранышдыр. 1922-чи илдән јени парк вә бағлар салынмаға башланышдыр. Бурада дүијаның мұхтәлиф рекионларындан кәтирилмиш биткіләрлә јанаши, јерли ағач вә кол чинсләриндән Ләнкәран акасијасы, Гафгаз дағдағаны, аді көйруш, өлмәз кол, Шәрг шаггылдағы, күрчү ағчагајыны, мурдарча, аді биркөз, јулғун вә б. истифадә едилмишdir.

Абшерон шәраитинде Гафгаз биткиләrinин ёjrәniлмәси вә тәsәр-
руфата тәtbiginidә Bakы Botanikа бағы bөjүk рол ojnамышдыр. Baғыn
 коллексијасынын зәnkinlәshdiрilmәsinde A. A. Groschejm, T. C. Gejdman,
A. Iu. Эlijev, C. F. Zakarjan, G. A. Guilijev, L. I. Priilipko, Э. Ш. Ыa-
chyев, M. M. Элизадә, U. M. Afamirov хеjli iш kөrmүchlәr [2, 204—217].
1970-чи ilдә Гафгаз вә Orta Asија florасы лабораторијасынын tәshkil
olunmasы ilә bu iш kениш migjasda aparylmaga bашlanмышдыр.

Назырда бағын тинклијиндә, тәчрүбә саһесіндә вә експозисијаларында 37 фәсиләjә вә 76 чинсә мәнсуб олар 172, нөв ағач вә кол бечәрилир. Бунлардан 82 нөвү ағач, 90 нөвү исә колдур. О чүмләдән 23 нөвү һәмишајашыл, ондаи да 9 нөвү иjnәјарпаглыдыр. Ыләлик 115 нөвү чи-чәкләјир вә меjвә әмәлә кәтирир, 21 нөвү өз-өзүнә чүчәрти верир, 102 нөвү аз вә ја чох мигдарда Абшеронун јашыллашдырылмасында истифадә едилүр. 19 нөв надир вә нәсли түкәнмәк тәһlүкәси олдуғуна көрә «ССРИ-нин Гырмызы китабы»на душмұшдур. Бу 172 нөвдән демәк олар ки, жарыја гәдәри 1970-чи илдән соңра кәтирилмешдір.

Тәчрүбәләриң иәтичәләри вә тәһлили

Мә'лүмдүр ки, биткиләр интродуксија едилдикдә јени шәраитә мұхтәлиф дәрәчәдә уйғуналашырлар. Буна көрә онларын потенциал имканлары нәзәрә алымалы вә јени шәраитдә мұтләг сыйнадан чыхарылмалыдыр. Биз дә бу ѡолла тәдгигат иши апарараг рододендронлардан башга бүтүн сыйнадан кечирдијимиз биткиләрин Абшерон шәраитинде бечәрилмәсін вә артырылмасынын мүмкүн олдуғуну сөйләіж биләрик.

Сөз юх ки, бунларын наымсы кенинш мигјасда тәсәррүфата тәтбиг олуна билмәз. Лакин бағын коллексијасының зәнкінләшдирилмәсі вә онун экспозицијаларының жарадылмасында истифадә едилә биләр [4-7].

1-чи чәдвәлин рәгемләриндән айдын көрмәк олур ки, өјрәндүүлүмиз биткиләр тохумларының кејфијјетинә, чүчәрмә фазизинә вә чүчәртиләрин битмә фазизинә көрә кәсиин фәргләнир. Бу фәргләнмә биткиләрин биологи хүсусијјәтилә јанашы, тохум јығылмыш ағачын битдији, шәраитдән, тохумун јығылма вә сәпилмә ваҳтындан, ejni замашда тохумун сәпинә назырланмасындан чох асылыдыр. Биткиләрин нөвүндән асылы олараг тохумуну 13—100 фази сәпинә јараплы олмушудур. 100 фази кејфијјәтли тохум (гоза) шабалыцјарпаг палында, 13 фази исә Көјчай вәләсиндә олмушудур. Ejни нөв биткидә шәраитдән асылы олараг кејфијјәтли тохумун мигдарынын дәжишмәсини Гафгаз вәләсинин тәхминин ejни ваҳтда (15—30 сентябр) Дашкәнд Ботаника бағындан, Загатала, Кәдәбәй, Масаллы, Исмаїллы рајонларындан вә Жаламадан јығылмыш тохумлары үзәриндә апардығымыз тәдгигатын нәтичәләрилә изаһ етмәк кифајэт-

Биткиләрин ады	Кејфијјатли тохум	Тохумун чүчөрмәси	Чүчөртиләрин битмәси
Шабалыдјарпаг палыд	100	100	100
Дәмір агачы	70	38	100
Азад агачы	50	30	66
Гафгаз вәләси	30—90	24—93	88—100
Шәрг вәләси	16—47	34—46	50—100
Кејчай вәләси	13	47	88
Шуша вәләси	64	48	91
Ади чајтиканы	45—100	40—57	40—48
Шәрг чинары	—	15	92
Гызылағач /Азәрбајҹанда јајылан 3 иөв/	—	1—3	89
Чөл ағчагајыны	—	84	90
Ағ ағчагајын	—	80	91
Татар ағчагајыны	—	12	100
Траутветтер ағчагајыны	—	97	83
Нәһәнк ағчагајын	—	52	92
Күрчү ағчагајыны	—	40	89
Ајы фындығы	91	73	100
Шәрг фыстығы	90	65—66	80
Гафгаз чекәси	—	30—11	80
Гараҷөһре	—	25	42
Медведјев флорејасы	—	25	50

дир. Бу тохумлардан 30—91%-и сәпин үчүн јаарлы олмушдур. Эн чох кејфијатли тохум Исмаїллы рајонундағы Гараноһур көлү әтрафында битән биткіндэ (91%), эн аз исә Дашқәнд Ботаника бағында битән биткіндэ (30%) формалашмышдыр. Бизә белә кәлир ки, тохумун формалашмасына башга амилләрлә јанаши, торпаг вә нава нәмлији даһа чох тәсир едир. Бакы Ботаника бағында 1971—1973-чу илләрдә һәр бир агротехники гуллуг едилемәјән Шәрг вәләси чичәкләјиб, мејвә әмәлә қатирмишdir. Лакин мејвәләр бош стерил олмушдур. Биз бу биткиниң әтрафыны јумшалдыб, вахташыры сувармагла 11%, даһа сонра күбрә ва су вермәкәл исә 16% сәпинә јаарлы тохум әлдә етмишик.

Тохумлар ејни заманда чүчәрмә габилийәтиң көрә дә фәргләнir. Лабораторија шәраптиндә јаза гәдәр сахланылыш фыстыг, ағчагајын, гызылағач вә вәләс нөвләри тохуму демәк олар ки, чүчәрмә габилийәтини итирир. Ағач үзәриндә галмыш вә октјабрын ахырында јығылыш вәләс вә чөкә тохумлары исә «өлү сәпин» верирләр. Ләнкәран акасијасы, Хәзәр шејтанағачы, флореја, ади чајтиканы вә башгалары чүчәрмә габилийәтини бир нечә ил сахлајыр. Сынагдан кечирдијимиз экසәр ағач вә колларын тәзә јығылыб, сахланылмадан сәнилмиш тохуму нөвбәти илин јазында, Ләнкәран акасијасы вә Хәзәр шејтанағачынын гајнар суда сахланылыш тохуму чајтиканы тохуму кими јазда сәпиләрк јазда да чүчәрир. Данаја вә гарачөһрә тохуму ики, флореја тохуму исә үч илдән соңра чүчәрир.

Тохумунда иәмлик 8—10%-дән ашағы олдугда фысдығын үйрәнү мүмкін. Габилийжетини тамамилә итирмәси нағында әдәбийатда [3] мәлumat вардыр. Бизим тәртүбәмиздә бу тәсдиғ олунмады. Белә ки, Кәдәбәй ра-

јонундан јығымыш тәзә тохумда нәмлик 6,11% олмушдур. Буна баҳмаяраг, о чүчәрмә габилийјетини итиrmәмишdir. Бизә белә кәлир ки, фыстыг тохумунун чүчәрмәси тохумда олан нәмликдән дејил, бу нәмлиji нечә мүддәтә итиrmәсindәn асылыдыр. Фыстыг тохуму нәмлиjини узун мүддәтә итиrdикдә, көрүнүр, онда башга дәjiшикликләр дә кедир.

1-чи чәдвәлин рәгәмләриндән айдын олур ки, кејфијјәтли тохумун сәпининдән 1—100% чүчәрти алыныштыр. Эн чох чүчәрти шабалыд-јарлаг, эн аз исә гызылағач нөвләринин тохумундан элдә едилмишdir. Шабалыдјарлаг палыдын 8% гозасы гоша чүчәрти эмәлә қәтиришишdir.

Башга амилләрлә јанаши, сәпин вахты вә сәпингабагы тохумун ишләнмәси онун чүчәрмә фаизинә тә'сир едир. Ади чајтиканының пајызыда сәпилмиш тохумундан 57%-и, јазда сәпилмиш тохумундан исә 40%-и чүчәрмишdir. Ајы фындығының сәпингабагы тохуму биринчи илин јазында 27%, икинчи илин јазында исә 67% чүчәрдији һалда, габыгдан (мејвә јанлығындан) чыхарылмыш ләпәсинин 45%-и, бир һәфтә ахар суда сахланылан ләпәсинин исә 73%-и нөвбәти илин јазында чүчәрмишdir.

Гафгаз чөкөсүнүн мејвә јанлығындан тәмизләнән тохумунун биринчи или 30%, икинчи или исә 11%-и чүчәрмишdir. Тәмизләнмәjен тохумларын исә мұвағиғ олараг 17—13%-и чүчәрмишdir. Чүчәртиләрин битмә фазисидә нөвләр арасында фәрг демәк олар ки, тохумларын кејфијеттindә вә чүчәрмә фазисидә олан фәргдән аздыр..

Лакин кичик јашларда [1—2] чөкә, шам, құқиар вә гарачөһрә биткиләрини көлкәләндирмәдикдә, чајтиканына артыг вә әксәр биткиләре аз су вердикдә тинкликтә гида саһәснин азлығындан вә механики зәдәдән даһа чох мәһв олурлар.

2-411 Կաղամ

**Мұхтәлифјашлы биткіләрин әсас будагының диаметрә ва һүндүрлүжэ иллик артымы
(орталарғы)**

Биңкіләрнің ады	Диаметри, ми-лә	Нүндүрлүгү, см-ла
Диаметри, ми-лә	Нүндүрлүгү, см-ла	Диаметри, ми-лә
Шабалыдјарпаг палып	1—7	4,2— 8,8
Дәмір ағачы	1—7	3,3— 4,5
Азад ағачы	1—7	1,6— 4,8
Айы фындығы	1—6	3,2— 8,1
Гафгаз чөкәси	1—7	2,4—13,4
Шәрг вәләси	1—6	1,8— 5,1
Гафгаз вәләси	1—4	2,4— 9,3
Гафгаз вәләси (тинк)	4—10	5,4—12,6
Үрәкјарпаг гызылағач	4—7	12,6—26,4
Боз гызылағач (тинк)	4—7	6—16,3
Татар ағчагајыны	1—7	2,5— 8,2
Траутвettер ағчагајыны	1—7	5,3—13,2
Чөл ағчагајыны	1—7	3,4— 9,8
Ағ ағчагајын	1—7	2,4— 7,8

Биткиләрин иөвүндән, јашындан вә мәншәйндин, ejни заманда он-лара едилән агротехники гуллугдан асылы олараг бөјүмә интенсивлији вә бөјүмә динамикасы дәжишир. 2-чи чәдвәлин рәгәмләриндин аждын көрмәк олур ки, диаметр вә һүндүрлүјә иллик артым ән чох үрәкјарпаг вә боз гызылагачда, Гафгаз вәләсниндә, Гафгаз чекәсниндә, траутветтер ағчагајынында олур. Бунларда тәпә тумурчуғундан әмәлә кәлмиш будағын диаметри мұхтәлиф илләрдә $12,6 \times 26,4$ мм, һүндүрлүјү исә 60—232 см арасында дәжишишdir.

Мүстәсна һаллар нәзәрә алышмазса, өјрәндүүли мис биткиләрдә 7—8 ил әрзиндә јаш артдыгча бөјүмә интенсивлији дә артыр. Шәрг вәләси үчүнчү илдә даһа чох јан будаглар әмәлә кәтирир. Бу заман боја вә диаметрә иллик артым әввәлки илдән зәнф олур. Биткиләри көчүрдүкдә дә һәмии һала тәсадүф едилүр. Биткиләрдән јан будаглар тәмизләндик-дә һәмии ил боја артым сонракы илдән үстүнлүк тәшкүл едир. Бүтүн биткиләрин диаметрә бөјүмәси векетасија әрзиндә давам едир. Гызыл-ағачларда, вәләсләрдә, Гафгаз чөкәсүндә, азад ағачда эксәр һалда һүн-дүрлүјә бөјүмә дә векетасија әрзиндә давам едир. Шабалыждарпаг палыдда, дәмир ағачында, Гафгаз хурмасында бөјүмә пилләли кедир. Жә-ни векетасија әрзиндә боја 2—3 артым верирләр. Ағчагајынларда, ајы фындығында боја артым ијул айынын әввәлинә кими давам едир. Траут-веттер ағчагајынын Бакуриани мешәләриндән вә Дашикенд ботаника ба-ғындан јығылмыш тохумундан әмәлә кәлмиш биткиләринин мугаисәсин-дән айдын олур ки, бунларын бөјүмәјә башладыглары ваҳт арасында фәрг чох аз, бөјүмәниң дајанмасында исә чох олур. Жәни Бакурианинда јығылмыш тохумдан әмәлә кәлмиш биткиләр бөјүмәјә тез башлајыр вә тез дә гуртарыр.

Әдәбијат

1. Ализаде М. М. «Бюлл. Главного Ботанического сада», вып. 38, 1960, с. 8—14.
 2. Кадыров Г. М., Рзазаде Р. Тр. Института ботаники АН Азерб. ССР, т. 15, 1950, с. 204—217.
 3. Калуцкий К. К., Мальцев М. П., Молотков П. И., Нечаев Ю. А., Синицын Е. М., Шутяев А. М. Буковые леса СССР и ведение хозяйства в них. «Лесная промышленность», 1972.
 4. Масиев А. М. «Бюллетень Главного Ботанического сада», вып. 107, 1978, с. 37—39.
 5. Масиев А. М. «ДАН Азерб. ССР», № 6, 1981, с. 73—76.
 6. Масиев А. М. «Изв. АН Азерб. ССР», № 1, 1981, с. 24—27.
 7. Масиев А. М. Тез. докл. по теоретическим и методическим вопросам изучения семян интродуцированных растений. Баку, 1981, с. 105—106.
 8. Соколов С. Я., Связевой О. А. Хорология древесных растений СССР. М.—Л. 1965.

Ботаника институту

БИОЭКОЛОГИЧЕСКИЕ ОСОБЕННОСТИ НЕКОТОРЫХ ДЕРЕВЬЕВ И КУСТАРНИКОВ ИЗ ФЛОРЫ КАВКАЗА В УСЛОВИЯХ АПШЕРОНА

В настоящее время в Ботаническом саду Института ботаники АН Азербайджанской ССР выращивается 172 вида древесных и кустарниковых растений из флоры Кавказа, входящих в 76 родов и 37 семейств. Из них 82 вида — деревья, 90 видов — кустарники, в том числе 26 видов — вечнозеленые.

Выявлено, что добротность и всхожесть семян, сохранность всходов, приживаемость сеянцев и саженцев деревьев и кустарников меняется как в зависимости от их биологических особенностей, так и в зависимости от местообитания семенных растений, времен сбора и посева семян и от предпосевной обработки. Добротность свежесобранных семян и от предпосевной обработки. Добротность свежесобранных семян из различных экологических условий составляет 13—100%, всхожесть семян — 30—100% (не учитывая семена ольхи и платана восточного). Сохранность всходов колеблется от 42 до 100%. Интенсивность и динамика роста изучаемых деревьев и кустарников зависит от вида, возраста и происхождения растений, а также от агротехнических приемов. Диаметр годового прироста у 1—7-летних растений семенного происхождения составляет в среднем 1,6—13,2 мм, высота — 5,5—140 см. Если не принимать во внимание отдельные случаи, то у всех изученных растений с увеличением возраста (1—7 лет) повышается интенсивность роста верхушечного побега по диаметру и по высоте.

УДК 581.8

БОТАНИКА

З. А. НОВРУЗОВА

СРАВНИТЕЛЬНОАНАТОМИЧЕСКОЕ ИССЛЕДОВАНИЕ ДУБОВ АЗЕРБАЙДЖАНА

На основе проведенных исследований подтверждена самостоятельность дубов грузинского, длинноножкового, эруколистного, араксинского. Установлено: д. золотистый идентичен с дубом грузинским, д. курчавый — с д. эруколистным. Наиболее мезоморфным является д. каштанолистный, ксероморфный — д. восточный.

Одним из основных эдификаторов лесов Азербайджана является дуб, который имеет не только практическое значение как сырье для деревообделочной промышленности, но представляет и научный интерес.

Согласно литературным данным, в Азербайджане распространены следующие виды дуба: дуб каштанолистный, д. восточный, д. грузинский, д. длинноножковый, д. золотистый, д. эруколистный, д. курчавый, д. пушистый, д. араксинский.

Данные по анатомии и свойствам древесины дубов приводятся С. А. Туманян [9], В. Е. Вихровым [1] и З. А. Новрузовой [5, 6, 7].

Нами в 1947—1977 гг. проводилось исследование дубов Азербайджана с целью изучения физических и механических свойств, анатомического строения вегетативных органов, формирования, органов растений в природе и в условиях культуры. Ю. Л. Меницкий [4] на основе применения современных методов многомерного систематического анализа уточнил видовые границы кавказских дубов, в том числе и азербайджанских. В результате критической обработки дубы Азербайджана представляются в следующем виде: 1. *Q. castaneifolia* C. A. Mey. 2. *Q. macranthera* Fisch et Mey. ex Hohen. 3. *Q. infectoria* Oliv. subsp. *bolssieri* (Reut.) Schwarz *Q. araxina* (Trautv.) Grossh. 4. *Q. robur* L. subsp. *pedunculiflora* (C. Koch.) Menits. (*Q. longipes* Stev., *Q. ericifolia* Stev.) 5. *Q. petraea* Liebl, subsp. *iberica* (Stev.) Krassiln. (*Q. iberica* Stev. *Q. hypochrysa* Stev.), 6. *Q. pubescens* Willd. subsp. *pubescens* var. *undulata* (Kit.) Schwarz, *Q. crispata* Stev., *Q. anatolica* (Schwarz) Sosn.

МАТЕРИАЛ И МЕТОДИКА

В связи с данными Ю. Л. Меницкого [2, 3, 4] нами проводилось сравнительноанатомическое исследование дубов Азербайджана и д. чешеччатого на одно-, двух- и трехлетних побегах, а также на водопроводящем комплексе многолетних деревьев дубов Азербайджана (табл. 1, 2). Собранный нами гербарный материал по дубам Азербайджана был определен Л. И. Прилипко. Исследования проводились согласно общепринятой методике.

По результатам анатомического исследования строение листа д. грузинского отличается от такого же д. длинноножкового наличием межклетников в мезофилле, отсутствием переходного слоя палисадной

Таблица 1

Сравнительноанатомические показатели листа
дубов Азербайджана

Название вида	Лист				
	Тип мезофила	Слойность палисадной ткани	Наличие кристалла	Тип эпидермальных клеток	Тип устьиц
Sest. Quercus					
1. <i>Q. pubescens</i>	дорзов.	3	+	прям. сторон.	аномо- шитный
2. <i>Q. longipes</i>	"	1 и перех. слой	+	прям. сторон. кривол. сторон.	"
3. <i>Q. iberica</i>	дорзов. межклет.	1	+	"	"
4. <i>Q. araxina</i>	"	1 и перех.	+	прям. кривол.	"
5. <i>Q. crispata</i>	"	2-3	+	прям. сторон.	"
6. <i>Q. hypochrysa</i>	межклет.	1	+	прям. сторон. кривол.	"
7. <i>Q. erucifolia</i> Sect. <i>Cerris</i> Loud	"	2	+	прям. сторон.	"
8. <i>Q. castaneifolia</i> Sect. <i>Macrantherae</i>	дорзов.	1 и перех. слой	+	прям. сторон. волни.	"
9. <i>Q. macranthera</i>	дорзов.	3-4	+	прям. сторон.	"

ткани, менее развитой проводящей системой; строение черешка — слизистыми проводящими пучками; строение стебля-межклетниками в коровой паренхиме, расположением механической ткани в виде групп и линий, сосудов — одиночно и в виде мелких групп, что позволяет считать, что д. длинноножковый отличается от д. грузинского.

Д. длинноножковый отличается также от д. черешчатого отсутствием переходного слоя палисадных клеток, почти прямыми сторонами эпидермальных клеток, однослойным эпидермисом, трехслойным полуокругом проводящей системы с кольцевой механической тканью черешка. Стебель — мелкими группами механической ткани, одиночным распределением сердцевинной паренхимы без утолщения оболочек.

Д. грузинский отличается от д. черешчатого: у первого мезофилл с межклетниками, палисадная ткань однослочная без переходного слоя (у черешчатого с переходным слоем); эпидермальные клетки с прямыми и криволинейными сторонами (у черешчатого почти с прямыми сторонами); эпидермис черешка однослойный (у черешчатого двухслойный). В стебле у д. грузинского коровая паренхима двухслойная, у д. грузинского коровая паренхима с межклетниками (у черешчатого плотная); механическая ткань — в виде групп и линий (у черешчатого — в виде групп); распределение сосудов у д. грузинского одиночное и из двух сосудов (у черешчатого групповое); клетки сердцевинной паренхимы у грузинского без утолщения (у черешчатого утолщенные).

Д. эруколистный отличается от дуба длинноножкового двухслойной палисадной тканью мезофилла, прямолинейной стороной эпидермальных клеток и их утолщенными оболочками; мощной механической

Таблица 2

Сравнительноанатомические показатели стебля дубов Азербайджана

Название вида	перидерма	кора	Сердцевина			изодиаметр. типиной ткани	
			колеопихимное кольцо	коровая паренхима	кристиаллы		
Sect. Quercus							
1. <i>Q. pubescens</i>	-	плотная	+	"	единично	"	изодиаметр. с утолщ. обол.
2. <i>Q. longipes</i>	-	"	+	мелкими группами	"	"	без утолщ. обол.
3. <i>Q. iberica</i>	+	межклет.	+	группы линеин., но 2-3	"	"	утолщ. обол.
4. <i>Q. araxina</i>	+	плотная	+	одиночн. присоед.	"	"	утолщ. обол.
5. <i>Q. crispata</i>	+	"	+	сплошное кольцо	"	"	"
6. <i>Q. hypochrysa</i>	+	широко-полост. межклет.	+	группами	"	"	разн. формы, не утолщ.
7. <i>Q. erucifolia</i> Sect. <i>Cerris</i> Loud	щелотая	часто групп.	+	присоед. линии	"	"	клетки с утолщ. обол.
8. <i>Q. castaneifolia</i> Sect. <i>Macrantherae</i>	межкл.	"	+	группы	"	"	изодиаметр. без утолщ.
9. <i>Q. macranthera</i>	плотная	"	+	сплошное кольцо	"	"	изодиаметр. без утолщ.

тканью, сплошным кольцом групповых склеренхимных и склеронидных клеток.

Д. курчавый по строению идентичен с д. эруколистным (палисадная ткань 2—3 слойная, эпидермальные клетки с прямыми сторонами, слитые пучки в главной жилке листа, утолщенные оболочки эпидермальных клеток, слитые пучки и мощная механическая ткань в черешке, плотная кора и мощная механическая ткань стебля, утолщенные оболочки сердцевинной паренхимы).

Все эти признаки характерны для наиболее ксероморфного вида—д. пушистого, который отличается трехслойной палисадной тканью. По результатам исследования д. золотистый — синоним д. грузинского; д. курчавый — синоним д. эруколистного. Д. эруколистный, вероятно, экологическая раса д. пушистого.

Д. араксинский несколько более ксероморфными признаками отличается от дуба грузинского (у д. гразинского однослойная палисадная ткань, д. араксинский имеет еще переходный слой). В черешке у д. грузинского проводящие пучки составляют полукруг, у араксинского расположены группами. В стебле д. грузинского коровья паренхима с межклетниками, у д. араксинского плотная; механическая ткань у первого в виде групп и линий, у второго образует сплошное кольцо. Сосуды расположены у первого одиночно и по два, у второго одиночно.

Как видно, д. араксинский отличается от д. грузинского рядом структурных признаков, носящих ксероморфный характер. Следовательно, д. араксинский, вероятно, является подвидом или экологической расой д. грузинского.

Таким образом, анатомические данные подтверждают выводы А. Л. Тахтаджяна (1941), установленные им по систематическим признакам и условиям произрастания этого вида.

Следует отметить, что Ю. Л. Меницкий на основе внешних морфологических признаков (опущенность, кожистость и др.) считает д. араксинского наиболее засухоустойчивой лесной породой. Однако по анатомическим признакам наиболее ксероморфной лесной породой является д. восточный (многослойность палисадной тканью, плотность мезофилла и др.).

Из состава азербайджанских дубов д. каштанолистный, относящийся к Sect. *Cerris*, характеризуется дорзовентральным типом мезофилла с однослойными палисадными клетками с переходным слоем. Эпидермальные клетки с прямыми, криволинейными и волнистыми сторонами: в главной жилке 7—8 пучков, в черешке проводящие пучки сгруппированы. В стебле коровья паренхима с межклетниками, где механическая ткань составляет сплошное кольцо.

В древесине сосуды расположены единично и группами; клетки сердцевинной паренхимы изодиаметрические, без утолщения.

Д. восточный, относящийся к Sect. *Macranthera* Stew., отличается палисадной тканью из 3—4 слоев клеток; эпидермальные клетки с прямыми сторонами; в главной жилке пучки слитые. В черешке эпидермис мелкоклеточный, проводящие пучки слитые, механическая ткань мощная. В стебле перицерма мощная, коровья паренхима плотная, механическая ткань составляет сплошное кольцо; в древесине сосуды расположены группами; клетки сердцевинной ткани с утолщенными оболочками.

Результаты сравнительноанатомического исследования дубов Азербайджана позволяют сделать следующие выводы:

1. Дуб грузинский отличается от д. черешчатого: у первого мезофилл с межклетниками, палисадная ткань однослойная (у черешчатого с переходным слоем); эпидермальные клетки с прямыми и криволинейными сторонами (у черешчатого с почти прямыми сторонами); эпидерма черешка однослойная (у черешчатого двухслойная). В строении стебля у д. грузинского коровья паренхима с межклетниками (у черешчатого плотная); механическая ткань расположена группами, линиями (у черешчатого только группами); распределение сосудов одиночное и из двух сосудов (у черешчатого—группами); клетки сердцевинной паренхимы без утолщения (у черешчатого с утолщенными оболочками).

Отмеченные отличительные признаки д. грузинского и д. длинноножкового позволяют считать д. длинноножковый самостоятельным видом. Дуб золотистый по анатомическому строению идентичен с дубом грузинским.

2. Дуб эруколистный отличается от дубов черешчатого, золотистого, грузинского, длинноножкового и араксинского двухслойной палисадной тканью мезофилла, прямолинейными сторонами и утолщенными оболочками эпидермальных клеток, мощной механической тканью, сплошным кольцом групповых склеренхимных и склеронидных клеток.

Приведенные признаки носят качественный характер, что позволяет считать, что д.эруколистный отличается от дубов черешчатого, золотистого, грузинского, длинноножкового и араксинского.

3. Д.курчавый признаками строения идентичен с д.эреколистным.

Д.эреколистный характеризуется следующими данными: палисадная ткань 2—3-слойная, эпидермальные клетки с прямыми сторонами, в главной жилке пучки слитые, эпидермальные клетки с утолщенными оболочками; в черешке также слитые пучки с мощной механической тканью, кора стебля плотная с мощной механической тканью, сердцевинная паренхима с утолщенными оболочками.

Приведенные структурные признаки характерны для наиболее ксероморфного вида — д.пушистого.

Таким образом, д.курчавый—синоним дуба эруколистного. Дуб эруколистный — подвид или экологическая форма самостоятельного вида дуба пушистого.

4. Дуб араксинской отличается от дуба грузинского несколько более ксероморфизированными признаками (у д.грузинского однослойная палисадная ткань в мезофилле, у д. араксинского отмечается и переходный слой). В стебле у д.грудинского коровья паренхима с межклетниками, у д.араксинского плотная; механическая ткань у первого в виде групп и линий; у второго — в сплошного кольца; сосуды расположены у первого одиночно и по два, у второго одиночно. Таким образом, д. араксинский отличается от д. грузинского рядом структурных признаков, носящих ксероморфный характер. Следовательно, д.араксинский является экологической формой дуба грузинского.

5. Анатомические признаки показали, что наиболее засухоустойчивой лесной породой (из дубов) является д.восточный (амфистоматичность листа, высокий коэффициент палисадности, плотность мезофилла и других тканей и др.).

6. Д.каштанолистный от других видов азербайджанских дубов отличается качественными признаками и является наиболее мезофитным видом.

Литература

1. Вихров В. Е. Строение и физико-механические свойства древесины дуба. М., 1954. Изд. АН СССР.
2. Меницкий Ю. Л. «Бот. ж.», т. 41, № 9, с. 1245—1266, 1966.
3. Меницкий Ю. Л. «Бот. ж.», т. 54, № 11, с. 1675—1689, 1969.
4. Меницкий Ю. Л. Дубы Кавказа. Л., 1971.
5. Новрузова З. А. Строение и свойства главнейших лесных пород Азербайджана. Баку, 1965.
6. Новрузова З. А. Водопроводящий комплекс древесных и кустарниковых растений в связи с экологией. Баку, 1968.
7. Новрузова З. А. Формирование органов вегетативного побега древесных и кустарниковых растений в связи с условиями среды. Баку, 1977.
8. Тахтаджян А. Л. Тр. Ботанического института Арм. ФАН СССР, т. 2. Ереван, 1941.
9. Туманян С. А. Труды Института леса АН СССР, т. 9, с. 39—69, 1953.

Институт ботаники

3. Э. Новрузова

АЗЭРБАЙЧАН ПАЛЫДЛАРЫНЫН МУГАЙСЭЛИ-АНАТОМИК ТӘДГИГИ

Азэрбајҹан эразисинде јајылмыш 9 палыд нөвү үзәриндә апарылмыш мугайсэли-анатомик тәдгигатлар иштәчесинде 7 нөв (боз палыд, курчү палыды, узунсаллаг палыд, Шәрг палыды вә шабалыдјарлар палыд, Араз палыды вә көврәк палыд) мүәјҗән едишлишdir.

АЗЭРБАЙЧАН ССР ЕЛМЛОР АКАДЕМИЈАСЫНЫН ХӘБӘРЛӘРИ

Биология елмләри серијасы, 1984, № 1

ИЗВЕСТИЯ АКАДЕМИИ НАУК АЗЕРБАЙДЖАНСКОЙ ССР

Серия биологических наук, 1984, № 1

БИОФИЗИКА

УДК 577.11;541.144.7

И. М. КУРБАНОВА, С. А. БАЙРАМОВА, Р. А. ГАСАНОВ

ЭНЕРГООБЕСПЕЧЕНИЕ СБОРКИ ХЛОРОФИЛЛ-БЕЛКОВЫХ КОМПЛЕКСОВ (ХБК) И МЕМБРАННОЙ СТРУКТУРЫ ХЛОРОПЛАСТОВ ПШЕНИЦЫ

Еще в 1961 г. Эриксон с сотр. [10] при исследовании распада и рассеивания проламеллярного тела этиолированных листьев бобов продемонстрировали, что образование тилаконидов и гранообразование при температурозависимых процессах имеют высокую световую потребность. Батлер с сотр. [7] показал, что в СССР блокируют формирование гран в зеленеющих хлоропластах и предположил, что некоторое высокоэнергизированное состояние или высокоэнергизованный интермедиат, продуцируемый на свету в нормальных условиях, включается в процесс слипания тилаконидов.

С другой стороны, имеется ряд данных, которые указывают на регуляторную роль Хл в процессе гранообразования [4—6]. Особое значение придается роли Хлв — основного сборщика энергии в регуляции сборки тилаконидов в граны [16]. Наши исследования продемонстрировали, что грана (т. е. ламеллы, способные к гранообразованию) содержит формы Хл, по композиции и упаковке отличающиеся от ламелл стромы (т. е. ламелл, не способных к гранообразованию) [11]. Эти данные были подтверждены при анализе композиции форм Хл в гранальных и агранальных хлоропластах [8].

В изящных экспериментах Арнтсена [14] и Стакелина с сотр. [19], а также в наших исследованиях [1] были представлены данные, указывающие на роль светособирающего Хл а/в-белкового комплекса в регуляции сборки тилаконидов в граны.

Анализируя приведенные данные, мы предположили, что в энергобеспечении нуждается не процесс гранообразования, а процесс сборки светособирающего хлорофилл а/в-белкового комплекса. С этой целью изучено значение энергобеспечения в сборке хлорофилл-белковых комплексов и в построении гран хлоропластов.

Эксперименты проводили на листьях проростков пшеницы сорта «Кавказ» (*Triticum aestivum L.*), выращенных в фактористате (20°C, влажность 70—80%) при непрерывном освещении полихроматическим светом низкой интенсивности (~1_μ W/cm²) в течение 8 дней (Н-проростки). Фотосинтетические характеристики Н-проростков даны в работах Огавы и Шибаты [15] и Гасанова [12], а пластиды в этих листьях, содержащие только первичные тилакониды, названы «протохлоропластами» [12]. Они способны продуцировать АТФ в циклическом потоке электронов [3]; при переносе листьев Н-проростков в условия

* Принятые сокращения: хлорофилл — Хл; дихлорфенилдиметилмочевина — ДХММ; антибиотик А—АА; кетомалононитрил-3-хлорфенилгидразон (карбонилцианид 3-хлорфенилгидразон). — СССР.

нормального освещения ($\sim 250 \mu \text{W/cm}^2$) уже через 15 мин. зеленения они способны к выделению O_2 и к синтезу АТФ в нециклическом потоке электронов. Одновременно идет нормальное формирование гранальной структуры. Мы полагали, что в случае, если формирование Хл-белковых комплексов — энергозависимый процесс, то подавление синтеза АТФ в первичных тилакоидах Н-проростков должно привести к подавлению их формирования. Для подавления циклического фотофосфорилирования сегменты листьев Н-проростков [3,5—4 см. длины] инфильтрировали $5 \cdot 10^{-6} \text{ M}$ АА, а контрольные образцы — водой. Для выявления роли АТФ, синтезированного в нециклическом потоке электрона, сегменты листьев Н-проростков инфильтрировали $5 \cdot 10^{-6} \text{ M}$ ДХММ [2]. Ранее было показано, что кратковременное (до 48 ч.) зеленение сегментов Н-проростков приводит к нормальному появлению фотосинтетических функций [2, 3]. В процессе зеленения исследовали динамику формирования Хл-белковых комплексов и процесс развития хлоропластов. Формирование Хл-белковых комплексов исследовали с помощью СДС-электрофореза в ПААГ, как было описано ранее [13], а сборку мембранный структуры хлоропласта анализировали на основе просматривания ультратонких срезов листьев в процессе зеленения [1]. Гелевые столбики денситометрировали на микрофотометре ИФО-451 в специально сконструированной кювете.

В таблице приведены данные о влиянии ингибиторов фотосинтетического транспорта электронов на накопление Хл в процессе зеленения сегментов листьев Н-проростков. Как видно из таблицы, оба ингибитора понижают содержание Хл в листьях. Особенно сильно влияние ДХММ: к 12 часам зеленения содержание Хл а+в составляет всего 60% от общего содержания Хл в контрольных образцах. В пластидах из Н-проростков при электрофоретическом разделении обнаружены две хлорофиллсодержащие зоны (рис. 1). Первая зона на основании спектральных характеристик идентифицирована как Р700-Хл а-белковый комплекс, вторая представляет собой комплекс свободного Хл с детергентом. После зеленения сегментов Н-проростков в течение 6 часов на электрофорограмме между первой зоной и зоной свободного Хл появляются две слабо выраженные Хл-содержащие зоны. К 12 часам зелене-

Влияние ингибиторов транспорта электронов на накопление хлорофилла (мкг/г сырого веса) при зеленении Н-проростков пшеницы

Время зеленения	15 мин.	2 ч.	6 ч.	12 ч.	15 ч.
Контроль	$65 \pm 0,05$	$68 \pm 0,05$	$78 \pm 0,06$	$129 \pm 0,08$	$168 \pm 0,07$
АА ($5 \cdot 10^{-6} \text{ M}$)	$49 \pm 0,02$	$52 \pm 0,04$	$69 \pm 0,03$	$98 \pm 0,06$	$155 \pm 0,10$
ДХММ ($5 \cdot 10^{-6} \text{ M}$)	$40 \pm 0,04$	$46 \pm 0,03$	$58 \pm 0,05$	$76 \pm 0,05$	$118 \pm 0,08$

ния интенсивность обеих зон заметно возрастает. К этому времени на денситограмме появляется пик, соответствующий светособирающему Хл а/в-белковому комплексу (рис. 1, 12 часов). Через 24 и 48 часов зеленения Н-проростков и особенно у нормально зеленеющих проростков пшеницы происходит существенное увеличение светособирающего Хл а/в-белкового комплекса и заметное уменьшение Хл в зоне свободного пигmenta. К этому же времени появляются две миорные Хл-белковые полосы [13].

Через 15 мин зеленения Н-проростков существенной разницы между контрольной электрофорограммой и электрофорограммой Хл-белковых комплексов пластид, подвергнутых обработке ДХММ и АА, не обнаруживается (рис. 2, А, Б). Во всех случаях наблюдается только Р 700-Хл а/в-белковый комплекс и свободный Хл. Окрашивание гелей на белок выявило наличие его в области расположения светособирающего Хл а/в-белкового комплекса, даже у Н-проростков (данные не приводятся). После 12 часов зеленения ингибиторами Н-проростков становится заметно, что ингибиторы по-разному влияют на процесс формирования Хл-белковых комплексов. Если при инфильтрации Н-проростков АА зона, соответствующая светособирающему Хл а/в-белковому комплексу, полностью отсутствует на электрофорограмме (рис. 2, А) то при воздействии ДХММ на денситограмме появляется плечо, соответствующее этому комплексу (рис. 2, Б). Эти различия становятся особенно наглядными через 15 и 24 часа зеленения. В пластидах Н-проростков, обработанных АА через 15 и 24 часа, наблюдается лишь незначительное количество светособирающего комплекса, проявляющееся лишь как небольшие плечи на денситограмме, тогда как у вариантов, обработанных ДХММ, в этой области наблюдается хорошо различимый пик (рис. 2, сравните А и Б).

На рис. 3 представлены электронные микрофотографии пластида как из листьев Н-проростков пшеницы, так и из листьев Н-проростков, подвергнутых обработке АА и ДХММ, зеленеющих 2 часа при нормальном освещении. 2 часа зеленения Н-проростков приводят к полному исчезновению проламеллярного тела, тилакоиды выстраиваются в параллельные ряды, их число резко возрастает, видны участки спаренных ламелл. Под воздействием ингибиторов картина изменяется. В результате обработки АА проламеллярное тело исчезает, число тилакоидов сокращается, располагаются они беспорядочно. Инфильтрация сегментов Н-проростков ДХММ вызывает обратный эффект. После зеленения в таких пластидах проламеллярное тело тоже отсутствует, однако тилакоиды располагаются параллельно, образуя граноподобные структуры, но слияния ламелл не наблюдаются.

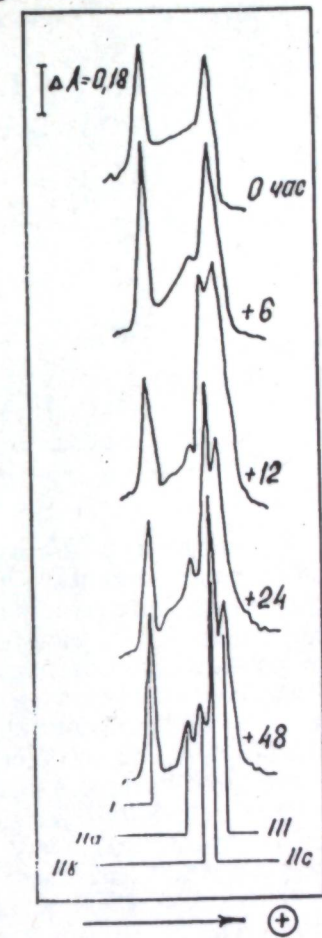


Рис. 1. Денситометрический профиль СДС-гель электрофореза ламелл хлоропластов из Н-проростков, зеленеющих в нормальных условиях.

I — Р700 — Хл а — белковый комплекс; IIa — димер СХБК; IIc — ядро ФСИ; IIIa — СХБК; IIIc — свободный Хл.

На рис. 3 представлены электронные микрофотографии пластида как из листьев Н-проростков пшеницы, так и из листьев Н-проростков, подвергнутых обработке АА и ДХММ, зеленеющих 2 часа при нормальном освещении. 2 часа зеленения Н-проростков приводят к полному исчезновению проламеллярного тела, тилакоиды выстраиваются в параллельные ряды, их число резко возрастает, видны участки спаренных ламелл. Под воздействием ингибиторов картина изменяется. В результате обработки АА проламеллярное тело исчезает, число тилакоидов сокращается, располагаются они беспорядочно. Инфильтрация сегментов Н-проростков ДХММ вызывает обратный эффект. После зеленения в таких пластидах проламеллярное тело тоже отсутствует, однако тилакоиды располагаются параллельно, образуя граноподобные структуры, но слияния ламелл не наблюдаются.

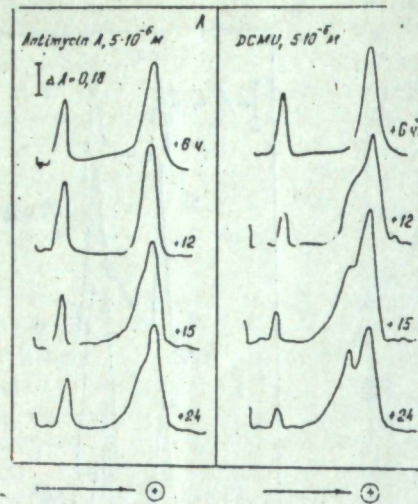


Рис. 2. Денситометрический профиль СДС-гель электрофореза ламелл хлоропластов из Н-проростков, зеленеющих после инфильтрации АА, $5 \cdot 10^{-6}$ М (А) и ДХММ, $5 \cdot 10^{-6}$ М (Б).

В присутствии АА процессы формирования светособирающего Хл а/белкового комплекса (рис. 2, А) и построения ламеллярной структуры зеленеющих пластид из Н-проростков резко подавляются. Общее содержание Хл изменяется мало (таблица, рис. 1 и 2, сравните зону свободного Хл). Совершенно другой эффект оказывает ДХММ. Хотя ДХММ более эффективен в отношении биосинтеза Хл, подавляя его через 15 часов зеленения почти на 40% (таблица), тем не менее формирование светособирающего Хл а/белкового комплекса происходит. Следует отметить, что при этом наблюдается уменьшение пика, соответствующего Р700—Хл а-белковому комплексу (рис. 2). Известно, что *In vivo* и *In vitro* ДХММ увеличивает степень разрушения хлорофилловых пигментов на свету [17, 18]. Возможно, что действие ДХММ и АА на биосинтез Хл различно. По-видимому, ДХММ, как показано некоторыми авторами, приводит к разрушению пигментов, уже включенных в пигмент-белковые комплексы (см. уменьшение пика, соответствующего Р700 Хл а-белковому комплексу, на рис. 2 Б). АА же действует на формирование собственно комплекса пигмента с белком, преимущественно на сборку светособирающего Хл а/белкового комплекса. Как уже было сказано, было высказано предположение о том, что построение мембранный структуры хлоропласта нуждается в обеспечении энергии [7, 10]. С другой стороны, известно, что построение гран регулируется, по-видимому [14, 19], состоянием светособирающего Хл а/белкового комплекса. Как видно из приведенных данных, АА в отличие от ДХММ резко подавляет развитие мембранный структуры пластид Н-проростков. Известно, что АА блокирует преимущественно циклический поток электронов, который как было показано ранее [3], активно функционирует в Н-проростках. Можно полагать, что подавление развития Хл-белкового комплекса и структуры хлоропласта является следствием недостатка энергии. Не исключено, что ингибитор подавляет и окислительное фосфорилирование, что также приводит к энергетическому истощению формирующейся системы. Однако полученные результаты указывающие на подавление процесса формирования све-

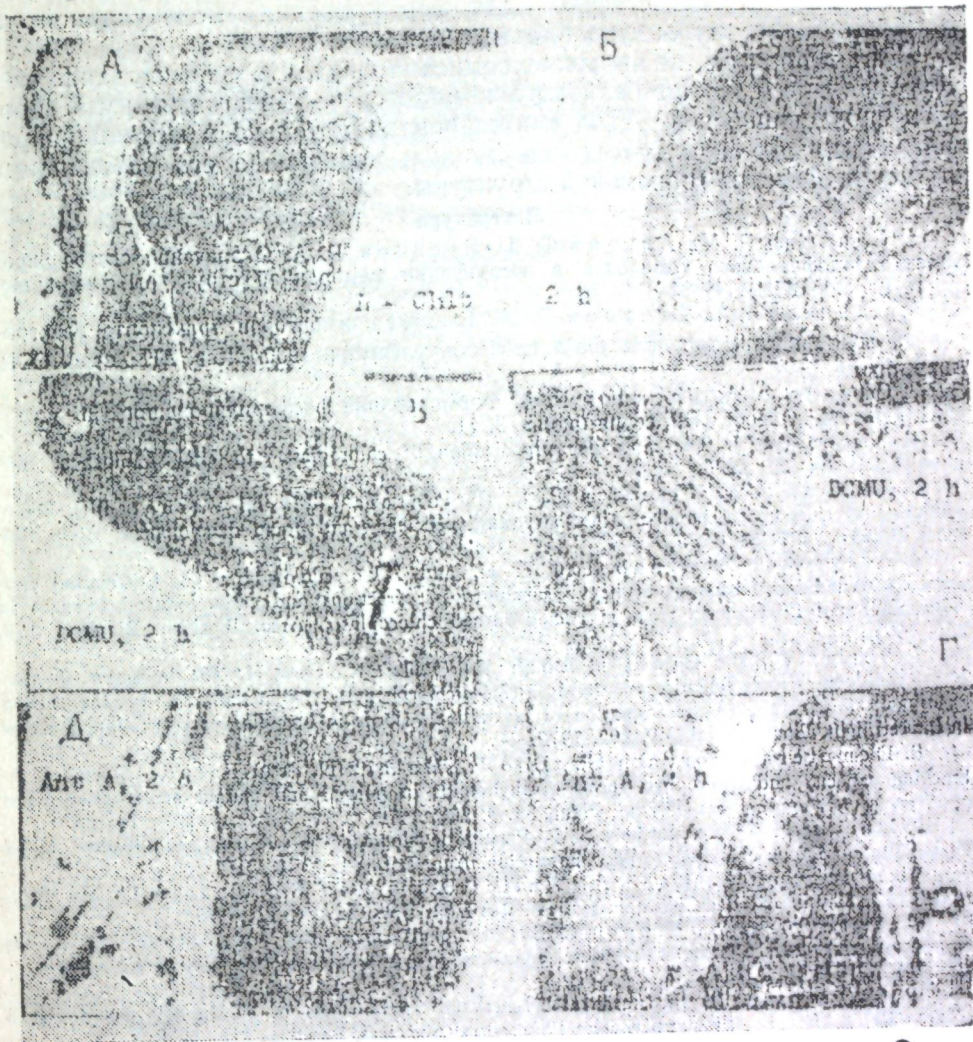


Рис. 3. Электронные микрофотографии хлоропластов, зеленеющих в течение 2 ч при нормальных условиях (Б) и при инфильтрации ДХММ ($5 \cdot 10^{-6}$ М) (В, Г) и АА ($5 \cdot 10^{-6}$ М) (Д, Е), Н-проростков (А).

тособирающего Хл а/белкового комплекса под влиянием воздействия на Н-проростки АА, позволяют высказать предположение о том, что в энергии нуждается не сам процессстыковки тилакоидов в граны, а сборка хлорофилл-белкового комплекса, ответственного за поглощение света в ламеллах хлоропластов. Сам же процесс сборки происходит, по-видимому, самопроизвольно, но регулируется светособирающим комплексом. Ранее было показано [2, 3], что фотонизированный синтез АТФ в Н-проростках, уже через 15 мин. освещения становится зависимым от ДХММ и по мере зеленения резко подавляется. Выделение фотосинтетического O_2 также подавлено, когда Н-проростки инфильтрируются ДХММ. Как уже было сказано, накопление Хл хотя и подавлено, но осуществляется; структурные перестройки в зеленеющих Н-проростках также идут. Вероятно, АТФ, синтезированный в нецикличес-

ком потоке электронов, в отличие от АТФ, синтезированного в цикле, не используется непосредственно для формирования молекулярной и мембранный структуры хлоропласта.

Таким образом, не вызывает сомнения факт, что формирование светособирающего Хл а/в-белкового комплекса — энергозависимый процесс, нуждающийся в АТФ, синтезированном только в фотониндцированном циклическом потоке электронов; подавление его образования тормозит развитие гранальной структуры.

Литература

1. Газаниян Р. М., Алиева С. А., Гасанов Р. А. О значении светособирающего хлорофиллового комплекса в организации мембранный структуры хлоропласта. 1978. Деп. ВИНИТИ, № 871—78.
2. Саниев Ф. А., Гасанов Р. А. Влияние ингибиторов транспорта электронов на формирование хлоропластов в процессе зеленения. 1980. «Изв. АН Азерб. ССР, серия биол.», 5, 16.
3. Саниев Ф. А., Гасанов Р. А. Формирование фосфорилирования *in vivo* 1981. «Изв. АН Азерб. ССР, серия биол.», 3, 11.
4. Anderson J. The molecular organization of chloroplast thylakoids. *Biochim. Biophys. Acta*, 416, 191, 1975.
5. Armond P. A., Arntzen C. J., Briantais J.-M. and Vernotte C. Differentiation of chloroplast lamellae. Light-harvesting efficiency and grana development. *Arch. Biochem. Biophys.*, 175, 54, 1976.
6. Argyroudi-Akoyunoglou T. H. and Akoyunoglou G. Correlation between cation-induced formation of heavy subchloroplast fractions and cation-induced increase in chlorophyll and fluorescence yield in tricine-washed chloroplasts. *Arch. Biochem. Biophys.*, 179, 370, 1977.
7. Butler W., De Greef J., Roth T., Oelze-Karow H. The influence of carbonylcyanide-m-chlorophenylhydrozoate and 3-(3,4-dichlorphenyl)-1,1-dimethylurea on the fusion of primary thylakoids and the formation of crystalline fibrils in bean leaves partially greened in far red light. *Plant Physiol.*, 49, 102, 1972.
8. Demeter S., Horvath G., Loo F., Halasz N. and Faludi-Daniel A. Stacking capacity and chlorophyll forms of thylakoids in normal and mutant maize chloroplasts of different grana content. *Physiol. Plant.*, 32, 3, 222, 1974.
9. De Greef J., Verbeelen J. P. Plastid development in etiolated bean leaves under uncoupling conditions of oxidative phosphorylation. *Ann. Bot.*, 41, 1371, 1977.
10. Ericksson G., Kahn A., Waller B. and Von Wettstein D. Zur makromolekularen Physiologie der Chloroplasten, III. Ber. Dtsch. Bot. Ges., 74, 221, 1961.
11. Gasanov R. A., French C. S. Chlorophyll composition and photochemical activity of photosystems detached from chloroplast grana and stroma lamellae. *Proc. Nat. Acad. Sci. USA*, 70, 2082, 1973.
12. Gasanov R. A. Structural and functional relationships of chlorophyll complexes in chloroplast membranes. 4th Intern. Congr. Photosynth. Abstracts, Reading, 123, 1977.
13. Gasanov R. A., Abilov Z. K., Gazanchyan R. M., Kurbanova I. M., Khanna R. and Govindjee. Excitation energy transfer in photosystem 1 and 2 from grana and photosystem 1 from stroma lamellae and identification of emission band with pigment-protein complexes at 77 K. *Z. Pflanzenphysiol.*, 95, 2, 149, 1979.
14. Mullet J. E. and Arntzen Ch. J. Simulation of grana stacking in a model membrane system. Mediation by a purified light-harvesting pigment-protein complex from chloroplasts. *Biochim. Biophys. Acta*, 589, 100, 1980.
15. Ogawa T., Shibata K. Selective formation of photosystem I under illumination at low intensity. *Plant Physiol.*, 29, 112, 1973.
16. Pyliotis N. A., Woo K. C. and Dowton W. J. S. Thylakoid aggregation correlated with chlorophyll *a*/chlorophyll *b* ratio in some *C₄* species. In: *Photosynth. and Photorespir.* (M. D. Hatch, C. B. Osmond and R. O. Slatyer, eds), p. 406, Wiley (Interscience) New York, 1971.
17. Possingham J. V. Controls to chloroplast division in higher plants. *J. Microscopic Biol. Cell.*, 25, 283, 1976.
18. Redley S. M. Interaction of chloroplasts with inhibitors. Induction of chloroplasts by diuron during prolonged illumination *in vitro*. *Plant Physiol.*, 59, 724, 1977.
19. McDonnel A., Staehelin L. A. Adhesion between liposomes mediated by the chlorophyll *a/b* light-harvesting complex isolated from chloroplast membranes. *J. Cell Biol.*, 84, 40, 1980.

И. М. Гурбанова, С. А. Бајрамова, Р. Э. Ысәнов

БҮГДА БИТКИСИ ХЛОРОПЛАСТЛАРЫНЫН МЕМБРАН ГУРУЛУШУНУН (СТРУКТУРУНУН) ВӘ ХЛОРОФИЛ-ЗУЛАЙ КОМПЛЕКСИНИН ЖЫГЫЛМАСЫНЫН ЕНЕРЖИЯТАЫ

Магалэдә ишыг топлајан хлорофилл а/в зулал комплекси (ИХЭК) вә гранал гурлушун эмэлә кәлмәснүндө антимитсин А-нын ДХММ-дән изэрө чарпачаг дәрәчәдә јүксәк инхибитор фәаллышына малик олмасы мүәјжән едилемшидир.

ИХЭК-нын жыгымасы электронларын тенсиллик ахынында синтез олунан АТФ-јә ентияачы олан енержидән асылы бир процеседир. Өз изөвбасында ИХЭК-нын формалашмасынын ләнкимәси гранларын жыгымасына мане олур.

Р. К. МЭЛИКОВ

ШИРВАНЫН ІАРЫМСӘІРА ФИТОСЕНОЗЛАРЫНЫН БӘ'ЗИ ДОМИНАНТ НӨВЛӘРИНИН КИМЈӘВИ ТӘРКИБИ ВӘ ГИДАЛЫЛЫГЫ

Ширванын јарымсәіра фитосенозларындаки бә'зи доминант нөвләрин кимјәви тәркиби вә гидалылығы тәдгиг едилмишdir. Ефемерләрдә гидалы мәддәләрни (зүлал, протеин) топланмасынын максимум мигдары мејвәләмә, ювшанда исә векетасына мәрһәләсендә мүшәнидә едилir.

Ширванын јарымсәіра битки өртүйүнүн кениш әразијә малик олмасы вә онун хејли һиссесиндән гыш отлагы кими истифадә едилмәси халг тәсәррүфатында бөյүк әһәмијәт кәсб едир.

Отлагын јем дәјәрлилиji ялныз онун күтләсінин вә ja үмуми күтләдә һејванлар тәрәфиндән јејилән һиссәнин чох олмасы илә дејил. һемчинин кимјәви тәркиби илә дә гијмәтләндирiliр. Бә'зән отлагын мәһсүлдарлығы јұксәк олдуғу налда, онун кимјәви тәркиби јем кејфијәтини ашагы олдуғуну көстәрир вә ja әксинә, мәһсүлдарлығ ашагы олдуғу налда, кимјәви анализа әсасән, о, јұксәк гидалылыға малик олур.

Сәіра вә јарымсәіра фитосенозларынын кимјәви тәркиби вә онларын гидалылығы нағындақы мә'lumatlara Советкина [9, 41—47], Исаев [7], Прилипко [8], Һачыев [3], Һүсеинов [4], Јермакова вә Михеев [5], Элиев вә Мајылов 2, [31, 33] вә башгаларынын әсәрләринде раст кәлинир.

Ширван јарымсәірасында ефемерлик, ювшанлы-ефемерлик вә гаралы-ювшанлы-ефемерлик фитосенозлары даһа кениш јајылмышдыр. Бу фитосенозларын нөв тәркиби, гурулушу вә мәһсүлдарлығы нағында Исаев [7] Прилипко [8], Элиев [1] вә б. әсәрләринде лазыми мә'lumatlar вардыр.

Гејд етдијимиз фитосенозларын кениш јајылмасы вә јем әһәмијәти илә әлагәдар олараг, онларын јерүстү күтләсінин кимјәви тәркибинин өјрәнилмәси бөйүк мараг доғуур. Бунуила әлагәдар биз јухарыда көстәрилән фитосенозларын доминант нөвләринин кимјәви тәркибинин өјрәнилмәсіні гарыша мәгсәд гојдуг. Кимјәви анализ үчүн нұмунаеләр Азәрбајчан ССР ЕА Ботаника Институтунын Ширван јарымсәірасында (Құрдәмир рајону) Карап дајаг мәнтәгәсіндән топланмышдыр.

Тәдгиг етдијимиз фитосенозларын нөв тәркибиндә һејванлар тәрәфиидән јејилмәјен алға вә зәһәрли биткиләре надир налларда раст кәлинир. Буну нәзәрә аларағ, кимјәви анализ заманы һәмин биткиләри јејилән күтләје дахил етмәшиш.

Кимјәви анализ Лукашик вә Ташшилиниң (1965) методикасына әсасән апарылмышдыр. Доминант нөвләрин кимјәви тәркиби ашағыдақы чәдвәлдә верилмишdir.

Доминант нөвләрдин кимјәви тәркиби*

Нөвләрдин аты	Векетасына мәрһәләсін	Жығыма нахты	Нигрос компл ексник	Күл	Протеин	Мүлтаж гуру шада, % -ел			Азотузд екстрак тив таңда лар
						зулал	яг	сүлүлөз	
Мелевелд	20-V	7,93	6,17	13,20	9,41	1,82	29,23	49,58	55,58
"	"	8,30	4,63	9,14	4,80	1,34	29,31	60,45	33,34
"	"	7,82	4,67	9,25	5,38	1,63	30,16	50,70	30,16
"	"	7,73	6,68	10,65	5,53	1,81	34,52	49,86	34,52
"	"	7,47	4,54	9,35	4,53	1,73	30,93	52,13	7,21
"	"	7,86	6,42	7,21	3,71	3,31	26,87	57,36	5,94
"	"	7,91	5,94	8,39	5,53	1,44	27,08	50,64	0,90
"	"	8,81	4,38	17,00	11,08	0,90			
Барк гурамыт	"	7,17	8,02	28,80	19,81	3,67	20,49	39,02	
Гызаран тонголтуу	"	10,01	7,89	23,97	14,57	5,00	12,04	51,10	
Сынандаравын буғдајаң	"	7,55	5,33	8,70	4,66	2,16	28,58	55,23	
Соганалагы гыртың	"	8,20	7,19	24,09	10,44	4,05	24,86	39,81	
Шарт болагы	"								
Түкжү налемир	"								
Жапон тонголтуусу	"								
Бозумтуул ларка	"								
Ефемер вә ефемерл	"								
гарышығы	"								
Көзөн иллин гуру оту	"								
Иллин ювшан	"								
төкүлмәсін	"								
векетасы	"								
14-IV	10,48	9,88	26,12	15,59	3,52	15,02		45,46	

* Кимјәви анализдердин отлагылары паспорташырма лабораторияасында Э. Н. Мајыловтың рәhbәрлиji аттыда апарылышында.

ЧЭДВЭЛДЭН КӨРҮНДҮҮ КИМИ, ЕФЕМЕРЛЭР ӨЗ ИНКИШАФЫНЫН ӨВӨГМЛЭРИНДЭ (ГЫШ МӨВСҮМҮНДЭ) ЗЭРИФ ВЭ ЯГЛАРЛА ЗЭНКИН (5,00%) ОЛДУГЛАРЫ НАЛДА, ЕРКЭН ЏАЗ ДӨВРҮНДЭ БАШГА ГИДАЛЫ МАДДЭЛЭРИН ТЭРКИБИНЭ КӨРЭ НИСБЭТЭН КАСЫБДЫРЛАР.

Бизим рэгэмлэрэ өсасэн, јазда ефемерлэрдэ селлулозанын мигдары 20,49% олмушдур ки, бу да гышдакына нисбэтэн (12,04%) хејли јүксекдир. Бу исэ јазда ефемерлэрин тэдричлэ гурумасы илэ элагэдардыр.

Гејд етмэк лазымдыр ки, селлулоза кеч һәэм олунан маддэ олдуғундан онун мигдарынын артмасы башга гидалы маддэлэрин (яглар, зуллар, азотсуз-екстратив маддэлэр вэ с.) һәэм олунмасыны да чэтинлэшдирир.

ЧЭДВЭЛДЭН ҺӘМЧИННИН КӨРҮНҮР КИ, ГЫШДА ЕФЕМЕРЛЭРИН ЈЕИЛЭН ЏАШЫЛ КҮТЛЭСИНДЭ АЗОТСУЗ-ЕКСТРАТИВ МАДДЭЛЭРИН МИГДАРЫ ЈҮКСЭК ОЛУБ, 51,10% ТӘШКИЛ ЕДИР. БУНУН ЭКСИНЭ ОЛАРАГ, ЈАЗДА ЕФЕМЕРЛЭРИН ТЭРКИБИНДЭ АЗОТСУЗ-ЕКСТРАТИВ МАДДЭЛЭРИН МИГДАРЫ НИСБЭТЭН АЗАЛЫР КИ, (39,02%), БУ Да БИТКИЛЭРДЭ БУ МАДДЭЛЭРИН МИНЕРАЛЛАШМАСЫ ИЛЭ ИЗАХ ЕДИЛИР.

ЕФЕМЕРЛЭРДЭ КҮЛ ЕЛЕМЕНТЛЭРИНИН МИГДАРЫ ГЫШ ВЭ ЏАЗ ДӨВРЛЭРИНДЭ ТӘГРИБӨН ЕЙНИ МИГДАРДА ОЛУБ, МУВАФИГ ОЛАРАГ 7,89—8,02% ТӘШКИЛ ЕДИР.

Бозумтул ләркәнин (*Vicia sinerea* L.) кимҗәви тэркиби дә диггәти чәлб едир. Онун тэркибиндэ селлулоза нисбэтэн аз олуб (27,08%), хам протеин (17,00%) вэ зулал (11,08%) чохлуг тәшкүл едир. Она көрә дә, бу битки бүтүн инкишаф фазаларында гојунлар тэрэфиндэн чох һәвәслә јејилир.

Айры-айры ефемерлэрин кимҗәви тэркибини характеризә едәркән онларда протеинин мигдарынын кәсскин сурэтдэ фәргләндүүни гејд етмэк лазымдыр. Белә ки, мејвәләмә вахты бәрк гурамитдэ (*Lolium rigidum* Gaud.) протеинин мигдары 13,20% олдуғу налда, түклү вәләмиридэ (*Avena pilosa* Dur.) 7,21% олмушдур.

Үмумијјэтлә, тахыллара мәнсуб олан ефемер вэ ефемероидлэрдэ зулалын мигдары 3,71%-дән (түклү вәләмиридэ) 9,41%-ә гәдәр (бәрк гурамитдэ) тэрәддүд едир. Яглара кәлдикдэ исэ онларын мигдары 1,34%-дән (гызаран тонгалотунда) 3,31%-дәк (түклү вәләмиридэ) дәјишилир.

Мүхтәлиф тахыл-ефемерлэрдэ селлулозанын мигдары 26,87—34,52% арасында тэрәддүд едир. Белә ки, аз мигдарда селлулозаја япон тонгалотунда (*Bromus japonicus* Thuillberg), нисбэтэн чох исэ шәрг бозағында (*Fremudugum orientale* J.) тәсадүф едиллир (чәдвәлә баҳ).

Ширван јарымсәһрасында кениш яјылмыш олан ефемероид соғанаглы гыртыч (*Poa bulbosa* Koel.) зулал вэ протеинин мигдарына көрә Орта Асијадакы һәмин нөвү өтүб кечир, лакин тэркибиндэ селлулозанын чох олмасына көрә ондан кери галыр [9, 41—47].

Өсасэн, тахыл отларындан ибарәт олан кечән илки гуру от мәңсулунун кимҗәви тэркиби кифајэт гәдәр гидалы маддэлэр, о чүмләдән 8,70% протеин, 4,66% зулал вэ 2,16% яглардан ибарәт олмушдур.

Азәрбајчанда јовшанын 16 нөвүнә раст кәлиннир ки, буллардан да эн кениш яјыланы илли јовшандыр (*Artemisia fragrans* Poljak). Јовшанын бу нөвү ефемер, ефемероид вэ шоранкәлә илэ бирликдә гыш отлагларынын јем балансында мүһүм јер тутур.

Чәдвәлдэ илли јовшанын ики инкишаф мәрһәләсүндэ—мејвәләрин тәкулмәси, јени зөф вэ ярпагларын әмәлә кәлмәси вахты вэ апрелдэ—бириллик зөфларын сүр'этли инкишафы, мүхтәлиф гидалы маддэлэрин мигдарынын дәјишилдири заман кимҗәви тэркиби верилмишdir.

Јазда илли јовшанын кимҗәви тэркиби аз мигдарда селлулоза илә јанаши, протеин вэ зулалла јүксәк олмушдур ки, бу да гыш дөврүндәкинә нисбэтэн ҳејли чохдур. Тахыллар вэ пахлалы биткиләрә нисбэтэн јовшанда ягларын мигдары чохлуг тәшкүл едир.

Үмумијјэтлә, јаз вэ гыш дөврләриндэ јовшанын тэркибиндэ ягларын мигдары 3,52—4,05% арасында тэрәддүд едир.

Јовшанын јеилән һиссәсүндә азотсуз-екстратив маддэлэрин мигдары јазда јүксәк (45,46%), гышда исэ ашағы (39,81%) олмушдур. Күлә кәлдикдэ исэ јовшанда онун мигдарынын јазда чох (9,88%), гышда исэ аз (7,19%) олдуғу ашкар едилмишdir. Бу исэ јазда Ширван јарымсәһрасында чохлу мигдарда атмосфер чөкүнтуләринин дүшмәси вэ онун фотосинтез процессинин интенсивлијинә тә'сир көстәрмәси илэ изаһ едиллир.

Элијев вэ Мајлова көрә [2, 31—33] јовшан јеилдији заман (декабр-март) онун кимҗәви тэркибиндэ 11,68% протеин, 3,18% јаф, 37,10% селлулоза, 30,33% азотсуз-екстратив маддэләр, 1,35% калснум ве 0,14% фосфор олдуғу мүәјжән едилмишdir. Бу да онун Азәрбајчанын гыш отлагларынын гијматли јем биткиси олдуғуну сүбүт едир.

Гејд едиләнләрә өсасэн ашағыдақы нәтичәләрә кәлмәк олар.

Тахыл ефемерләри мүхтәлиф иглим шәрантингә доминантлыг тәшкүл етмәси вэ нисбэтэн гидалы маддэләрлә зәнкни олан јемә малик олмасына көрә, башга нөв от биткиләри арасында биринчи јер тутур.

Ефемерлэрдэ гидалы маддэлэрин (протеин, зулал) максимум топланмасы мејвәләмә, јовшанда исэ векетасија мәрһәләсүндә мүшәнидә едиллир.

Ефемерлэрдэ ягларын мигдары векетасија дөврүндән асылы олар дәјишилир. Белә ки, эн чох ягларын топланмасы векетасија мәрһәләсүндә, эн аз исэ мејвәләмә мәрһәләсүндә гејд едилмишdir.

Өсас доминантлыг тәшкүл едән јем биткиләриндэ гидалы маддэлэрин мигдарынын тәдгиги от чалымы мүддәтнин вэ һәмчинин отлагларын јүкүнүн дүзкүн тә'јин едилмәснә имкан верир.

Әдәбијјат

1. Алиев С. Ю. Количественная характеристика и динамика подземной части эфемерово-полынной полупустыни Ширвани. «Изв. АН Азерб. ССР», серия биол. наук, № 1, Баку, 1967.
2. Алиев Р. А., Майлова А. И. Динамика химического состава полыни пахучей в Азербайджане. Уч. записки АГУ им. С. М. Кирова, сер. биол. наук, № 4, Баку, 1974.
3. Гаджиев В. Д. Опыты первичной культуры дикорастущих кормовых бобовых трав в условиях зимних пастбищ Азербайджана. Тр. ин-та ботаники АН Азерб. ССР, т. 18, Баку, 1954.
4. Гусейнов А. З. Житняк гребенчатый на богаре в Ширванской степи. «Изв. АН Азерб. ССР», сер. биол. наук, № 7, Баку, 1955.
5. Ермакова И. А., Михеев Г. Д. О питательности основных пастбищных кормов Турк. ССР. «Изв. АН Турк. ССР», сер. биол. наук, № 6, Ашхабад, 1963.
6. Лукашин Н. А., Тащилиев В. А. Зоотехнический анализ кормов. Изд. «Колос», Москва, 1965.
7. Исаев Я. М. Зимние пастбища Бакинского района. Тр. БИН АзФАН СССР, т. 13, Баку, 1943.
8. Прилипко Л. И. Результаты опытов по изучению системной пастбибы в Ширванской степи. Тр. ин-та ботаники АН Азерб. ССР, т. 14, Баку, 1949.
9. Советкина М. М. Пастбища и сенокосы Средней Азии. Ташкент, 1938.

**ХИМИЧЕСКИЙ СОСТАВ И ПИТАТЕЛЬНОСТЬ НЕКОТОРЫХ ДОМИНАНТОВ
ПОЛУПУСТЫННЫХ ФИТОЦЕНОЗОВ ШИРВАНИ**

В статье приводятся результаты химического анализа некоторых основных доминантов растительных сообществ полупустыни Ширвани.

Было установлено, что максимальное накопление наиболее питательных веществ—белков, протеина — у эфемеров наблюдается в стадии плодоношения, а у полыни — в стадии вегетации.

Изучение содержания питательных веществ в основных доминирующих кормовых растениях дает возможность правильно установить сроки укоса трав на сено, сроки сгравливания их скотом в свежем виде, а также нагрузку пастбищ.

УДК 547.915.665.3

А. А. КУЛИЕВ, Э. И. ГИГИЕНОВА, А. У. УМАРОВ, В. Б. КУЛИЕВ,
С. М. АСЛАНОВ, Э. М. ГУРБАНОВ

ЖИРНЫЕ МАСЛА ИЗ СЕМЯН РАСТЕНИЙ

Работа посвящена установлению высокого содержания жирного масла (23—31) в семенах 4 видов сафлора острошипнного (*Carthamus oxyacantha* M. B.), с. сизого (*C. glaucus* M. B.), с. шерстистого (*C. lanatus* Z.) и одного культурного вида с. красильного (*G. tinctorius* L.), которые в условиях Нахичеванской АССР изучены недостаточно.

Жирные масла определяли с помощью методики А. И. Ермакова с соавт. [4], физико-химические константы жирных масел по методикам Н. С. Арутюняна и Е. А. Аришевой [2]. Для разделения веществ использовали хроматографию в тонком слое и на колонке.

Впервые нами современными методами изучены физико-химические показатели и пепидный состав этих масел.

Некоторые физико-химические показатели жирного масла семян различных видов сафлора представлены в табл. 1, из которой видно, что семена всех четырех видов растений имеют масличность, отвечающую требованиям промышленной переработки. Особенно высокой масличностью отличаются семена с. красильного — более 30, что соответствует некоторым литературным данным (15—37) [1, 3, 7, 8].

Для выяснения влияния различных растворителей на выход и физико-химические показатели масел мы получили бензиновый, дихлорэтановый и перхлорэтиленовый экстраты семян изучаемых видов сафлора.

Результаты исследований физико-химических показателей этих масел (табл. 1) говорят в пользу бензинового экстракта, поскольку показатели его близки к показателям петролейного экстракта, особенно по числу омыления. Однако необходимо отметить, что кислотное число бензинового экстракта почти в два раза выше, чем петролейного экстракта, за исключением с. шерстистого.

Главные компоненты масел по классам липидов оказались у большинства масел: углеводороды, триацилглицеролы, свободные жирные кислоты и свободные стиролы, пигменты (табл. 2). Неидентифицированные компоненты представляют собой сложную смесь ряда миорных компонентов.

Углеводороды идентифицировали по данным ИК-, НМР-спектров и Rf в тонком слое силикагеля при сравнении с модельными образцами.

Структуру триацилглицеролов как полностью этерифицированных глицеролов подтвердили по данным ИК-спектров, ПМР- и по Rf в тонком слое силикагеля в сравнении со свидетелями и щелочным гидролизом.

Полученные после гидролиза жирные кислоты этерифицировали диазометаном, и полученные метиловые эфиры жирных кислот коли-

Физико-химические показатели жирного масла, извлеченного различными растворителями из семян различных видов сафлора

Виды растений	с. острошипый	с. сизый	с. шерстистый	с. красильный
Растворители	Петролейный эфир (т. кип. 40—60°)	24,2	23,7	30,3
Показатели содержания жирного масла (в % на взв.-сух. семена)	26,0	0,92	0,81	0,91
Удельный вес d ₄ ^{20°}	светло-желтый	зеленовато-желтый	светло-желтый	зелено-вато-желтый
Цвет				
Коэф. рефракции D ₄ ^{20°}	1,4762	1,4752	1,4755	1,4700
Число омыления, мг KOH/g	179,55	178,55	171,14	178,76
Кислот. число, мг KOH/g	0,89	0,91	0,90	2,03
Эфирическое число, мг KOH/g	178,66	174,64	196,20	170,23
Подножное число, %	129,20	119,90	124,00	126,00
Число Рейхерта-Мейселя, %	2,68	2,20	2,70	2,97
Число Поленске, %	0,21	0,20	0,16	0,08
Содержание неомыл. в-ва, %	0,87	0,70	0,16	0,13
Фосфатиды, %	0,57	0,48	0,54	0,56

чественно разделяли методом газожидкостной хроматографии. Отнесение жирных кислот сделано на основе построения графиков зависимости логарифма времени удерживания от числа атомов углерода и по времени удерживания разных изомеров кислот. Все этиленовые связи имеют по данным ИК-спектра цис-конфигурацию.

Таблица 2

Состав масел по классам липидов семян некоторых видов сафлора (% от суммы)

Лигиды	Виды растений			
	сафлор кра сильный	сафлор острошипый	сафлор сизый	сафлор шерстистый
Углеводороды	0,83	0,81	0,78	0,60
Триацилглицеролы	81,60	83,00	82,46	82,88
Жирные кислоты	7,69	8,55	8,67	9,53
Стеролы+нейиденти- фицированный	2,20	2,72	2,54	2,65
Пигменты+нейиденти- фицированный	7,66	4,61	5,55	4,34

Из данных табл. 3 видно, что в составе всех триацилглицеролов главным жирнокислотным компонентом является линоленовая кислота — 69,9; 75,8; 76,5; 82,2 % от суммы жирных кислот.

Чтобы выяснить, имеет ли место в выделенных триацилглицеролах специфичность этерификации жирными кислотами среднего гидроксила в глицероле, мы провели ферментативный гидролиз триацилглицеролов панкреатической липазой. В результате проведенной реакции получили 2-моноацилглицеролы, состав жирных кислот которых приведен в табл. 3 (2-е положение).

Кислоты C_{16:1} и C_{14:0} отсутствуют во втором положении. Кислота C_{18:0} во 2-ом положении найдена только у с. сизого. Кислота C_{16:0} отсутствует во 2-ом положении только у с. острошипного, несмотря даже на то, что в триацилглицеролах этого вида наиболее высокое содержание указанной кислоты. Однако фактор обогащения (5) 2-положения олеиновой кислоты у этого вида растений наиболее низкий.

Свободные жирные кислоты, которые аналогично модельным образцам имеют Rf 0,27 в системе 3 метилировали диазометаном. Полученные метиловые эфиры жирных кислот (Rf 0,7 в системе 3) разделяли методом газожидкостной хроматографии.

Отнесение жирных кислот аналогично вышеупомянутому. Из полученных данных (табл. 3 и 4) видно, что составы свободных жирных кислот отличаются от составов общих жирных кислот триацилглицеролов разнообразием кислот [8].

ИК-спектры снимали на приборе UR-10, ПМР-спектры — на JNM-4 H-100, 60 мГц (10—14 %-е растворы в четыреххлористом углероде с гексаметиллисиликсаном в качестве внутреннего стандарта), масс-спектры — на приборе MX-1303 при ионизирующем напряжении 40 В и температуре трубки напуска 170° (эфиры) и 200° (спирт). Газожидкостные хроматограммы получены на приборе «Хром-4» в колонке 4 мм × 2,5 м, заполненной 17 %-м реоплексом на хроматоне N — aw — DMCS при 198°.

Таблица 4

Таблица 3

Состав жирных кислот триацилглицеролов сенаж различных видов сафюра (% от суммы)

Кислоты	С. острошипный			С. спизый			С. шерстистый			С. красильный		
	общие	2-е поло жение	фактор обога- щения	общие	2-е поло жение	фактор обога- щения	общие	2-е поло жение	фактор обога- щения	общие	2-е поло жение	фактор обога- щения
C ₁₄ :0	0,3	—	—	0,2	—	—	0,2	—	—	0,2	—	—
C ₁₅ :0	8,7	—	—	6,2	—	—	6,4	0,7	0,11	4,6	0,8	0,17
C ₁₆ :1	0,3	—	—	0,3	—	—	—	—	—	0,2	—	—
C ₁₈ :0	3,3	—	—	3,0	—	—	3,2	1,06	2,4	—	1,6	—
C ₁₈ :1	17,5	5,7	0,32	14,5	17,2	1,19	14,5	—	—	11,2	9,5	—
C ₁₈ :2	69,9	94,3	1,35	75,8	73,7	0,97	76,5	84,8	1,00	82,2	89,7	0,84
Двусыщенные	—	—	—	—	—	—	—	—	—	—	—	1,09
Монены	17,8	5,7	—	9,4	9,1	—	9,0	0,7	1,45	6,4	0,8	—
Линены	69,9	94,3	—	14,8	17,2	—	14,5	—	—	11,4	9,5	—
Денасыщенные	87,7	100,0	—	75,8	73,7	—	76,5	—	—	82,2	89,7	93,6

Состав свободных жирных кислот масел семян различных видов сафлора (% от суммы)

Кислоты	С. острошипный	С. сизый	С. шерстистый	С. красильный
C _{10:0}	0,4	—	—	—
C _{12:0}	0,1	0,4	0,4	—
C _{13:0}	0,1	0,3	0,3	—
C _{14:0}	0,1	1,2	3,9	0,3
C _{15:0}	10,1	14,0	8,3	7,9
△ C _{16:1}	9	4,6	3,4	1,8
C _{18:0}	—	—	—	—
△ C _{18:1}	9	16,4	16,7	12,2
△ C _{18:2}	9,12	64,1	61,8	68,9
△ C _{18:3}	9,12,15	0,1	0,8	2,1
C _{20:0}	4,0	—	1,2	—
Насыщенные	19,4	19,3	15,9	11,0
Ненасыщенные	80,6	80,7	84,1	89,0

Извлечение масла проводили 3—4-кратной экстракцией измельченных семян петролейным эфиром методом настаивания при комнатной температуре.

Физико-химические показатели определяли общепринятыми методами: устанавливались число омыления, йодное число, эфирное число, кислотное число, число Рейхерта—Мейссля, число Поленске, содержание «неомыляемых» и содержание фосфора [5].

Колоночная хроматография. Силикагель 100/160 мк. Соотношение навески масла к весу адсорбента 1:14. Системы растворителей — 1—8. Контроль выхода фракций из колонки и после очистки их рехроматографией в тонком слое силикагеля осуществляли в соответствующих системах растворителей на стеклянных пластинках и силуфоле.

Тонкослойная хроматография. Силикагель ЛС 5/40 мк. Размеры пластинок для аналитических целей 6×9 см, для препаративного разделения — 18×24 см. Обнаружение веществ вели 50%-ной серной кислотой с последующим обугливанием веществ в парах йода.

Системы растворителей. Петролейный эфир — диэтиловый эфир: 1) 10:0; 2) 9:1; 3) 8:2; 4) 7:3; 5) 6:4; 6) 5:5; 7) 0:10; хлороформ-метанол: 8) 1:1.

Щелочной гидролиз триацилглицеролов проводили 1 раствором щадящего калия в метаноле при комнатной температуре. Этерификация жирных кислот проведена диазометаном [9].

Ферментативный гидролиз триацилглицеролов проводили с помощью панкреатической липазы поджелудочной железы крупного рогатого скота [11].

Углеводороды. ИК-спектры одинаковы для углеводородов масел семян четырех видов растений. $\tau_{\text{max}}^{\text{кин}} \text{ см}^{-1}$: 2965 с, 2880 с, 1380 ср, $-\text{CH}_3$; 2935 оч. с, 2855 оч. с, 1470 с, 727 и 735 ср., $-(\text{CH}_2)_n$, ПМР-спектры также одинаковы, в м. д., ГМДС, CCl_4 : т. 0,86, CH_3 ; м 1,22, $-(\text{CH}_2)_n$. Rf 0,97 (силифол, система 3).

А. А. Гулиев, Е. И. Гигиенова, А. У. Умаров,
В. Б. Гулиев, С. М. Асланов Е. М. Гурбаков

Carthamus L. ЧИНСИНИН ТОХУМЛАРЫНДАН АЛЫНАН ЯГ

Мәгәләдә Нахчыван МССР-да битән *Carthamus* чинсинин *C. ohyacantha* M.B
C. glaucus M.B, *C. Canatus* L, *C. tinctorius* L, тохумларындан петролеин ефири илә
алыныш яғын физики-кимјәви хассәләри өјрәнилмишdir.

Мүәјјән едилмишdir ки, яғын тәркибиндә 0,6—0,8 карбоһидратлар, 82—83 глисе-
рин, 7—9% сәрбәст яғ туршулары, 2—3% стерол вә кимјәви тәркиби мүәјјән едилмә-
миш маддәләр вардыр. Ыэр дөрд нөв сары чичәк тохумларындан алыныш сәрбәст
яғ туршуларының тәркиби умуми яғ туршуларындан аз мигдарда линолеј туршусу
сахламасы илә фәргәләнир. Анализ олуимуш тохумларда 23—31% яғын олмасы вә
онун физики-кимјәви хүсусијәти онлардан сәнаје мигјасында яғ алыб истифадә
етмәјин перспективли олдугуни көстәрир.

Триацилглицеролы. ИК-спектры τ в пленке см⁻¹: 3010 ср., 1640 сл., -CH₂-CH-; 2975 с, 2885 с, 1380 ср., -CH₃; 294 0с, 2865 с, 1465 ср., 1740 с, 1420 ср., 1245 с, 1175 ср., -OCOR. ПМР-спектры, ГМДС, CCl₄, δ м. д.: τ, 0,86, 3 CH₃-; 9Н; м 1,23, -(CH₂)_n-; м 1,55, -CH₂CH₂ CH-; м 2,0, -CH₂CH-; τ 2,24, R₁CH₂-COOR; м 2,68, -CHCH₂CH-; м 4,10, две группы -CH₂-OCOR, (4Н); м 5,10>CHOCOR, м 5,23 -CH-CH-. Rf 0,63 (силифол, система 3).

Свободные стеролы представляют собой смесь трех компонентов, которые дают характерный масс-спектр [9] с молекулярными иона-ми 414, 412 и 400, соответствующими обычно встречающимся в растительных маслах β-ситостеролу, стигмастеролу и кампестеролу.

Масс-спектр. m/z M + M + 414, 412, 400 (M—15) + 399, 397, 385; (M—18) + 396, 394, 382; (M—33) + 381, 379, 367 (8) и. др.

Пигменты по поглощению в ультрафиолете можно отнести к хлорофиллу а (5) и феофитину а.

УФ-спектры, λ_{max} ацетон, нм: 410, 420 (плечо), 510, 530, 570, 610, 666.

На основании изложенного приходим к следующим выводам:

Впервые определены физико-химические показатели масла из 4 видов сафлора.

В составе липидов масел идентифицированы углеводороды (0,6—0,8) от суммы, триацилглицеролы (81,60—83,00), свободные жирные кислоты (7—9%), стеролы (2—3%). Все масла являются линолевосодержащими (82—70%). Масло сафлора красительного содержит более 50% (от суммы триацилглицеролов) трилиноleinа и может быть отнесено к полувысыхающим. Составы свободных жирных кислот всех масел отличаются от составов жирных кислот триацилглицеролов более низким содержанием линолевой кислоты. Семена всех 4 видов содержат 23—31% масла, что отвечает требованиям промышленной переработки.

Литература

1. Момот Я. Г. Культура сафлора в Узбекистане. Ташкент. 1956, с. 29.
2. Арутюнян Н. С., Аришева Е. А. Лабораторный практикум по химии живых организмов. М., «Пищевая промышленность», 1979, 176 с.
3. Ануфриев В. Д. Сафлор. Душанбе, «Ирфон», 22, 1964.
4. Ермаков А. И. и др. Методы биохимического исследования растений. М.—Л., Госиздсельхозлит, 1972.
5. Физер Л., Физер М. Реагенты для органического синтеза. М., 1, 242, 1970.
6. Руководство по методам исследования, технологическому контролю и учету производства и масло-жировой промышленности, т. 1, кн. 1, 475, 1975, кн. 2, 897, 1967.
7. Шарапов Н. И. Новые жиромасличные растения. М.—Л., 8, 1956.
8. Якушина И. В., Минкевич И. А. Масличные культуры. М., 121—258, 1952.
9. Gunstone F. D., Hamilton R. J., Qureshi M. J. J. Amer. Oil Chem. Soc., 42, 965, 1965; Gunstone F. D., Padley F. B. Chem. Phys. Lipides, 1, 110.
10. Mc. Killian M. E., Sims R. P. A. J. Amer. Oil Chem. Soc., 40, 108, 1963.
11. Knights B. A. J. Gas Chromatogr., 5, 273, 1967; Ilder D. R., Wiseman P. M., Safe L. M., Steroides, 16, 451, 1970; Wylic S. S., Djeraes J. C. Org. Chem., 33, 305, 1970; Tagaki T., Sakai A., Hayashi K., Habashi V. Lipids, 14, 5-8, 1979.

Институт ботаники
Нахичеванский научный центр
Институт химии растительных веществ
АН Узб. ССР

А. Х. ЛЯТИФОВА, О. И. ЕВСТРАТОВА
**АНАЛИЗ ФЛОРЫ КЫЗЫЛАГАЧСКОГО ЗАПОВЕДНИКА
 ИМЕНИ С. М. КИРОВА**

Изучена современная флора Кызылагачского заповедника, расположенного на западном побережье Каспия. Установлено, что флора высших растений насчитывает 346 видов, которые принадлежат 215 родам и 64 семействам.

Кызылагачский заповедник им. С. М. Кирова — уникальный уголок природы, отличающийся богатством орнитофауны и своеобразием растительного мира. Заповедник является местом пролета и зимовки водно-болотных, водоплавающих и степных птиц и в этом отношении имеет международное значение.

За последние десятилетия влияние физических и антропогенных факторов привело к существенным изменениям всего природного комплекса, каким является Кызылагачский заповедник. За это время изменились границы заповедника, сократилось водное пространство, появились новые суши, что сказалось на его флоре и фауне.

Таким образом, проведение на современном этапе геоботанического обследования территории Кызылагачского заповедника, представляет большой научный и практический интерес, позволяет получить новые данные о флоре и растительности заповедника и разработать мероприятия по восстановлению и поддержанию высокой емкости растительных сообществ.

Для изучения современного состояния флоры и растительности заповедника были использованы маршрутные и полустационарные методы, а также метод экологических профилей. Геоботаническое описание проводили по методике П. Д. Ярошенко [12] и Л. Г. Раменского [7]. Определение растений проводилось по «Флоре Азербайджана» [10]. Названия видов уточнялись по С. К. Черепанову [11], а также путем руководства работами А. А. Корчагина [4] и А. И. Толмачева [9].

Кызылагачский заповедник впервые исследован в геоботаническом отношении А. Г. Рубцовой [8], которые приводят для территории заповедника 139 видов растений.

Далее, в 1952—1953 гг., заповедник обследовал Р. А. Алиев [1]. В работе автор приводит сведения о флоре и растительности. По его данным, флора заповедника насчитывает 244 вида, относящихся к 162 родам и 43 семействам. Данные о заповеднике приводятся в работах Л. И. Прилипко [5], Д. А. Алиева [2], в отчете экспедиции Всесоюзного Института «Союзгипролесхоз» [6].

Анализ имеющихся материалов показал, что сведения о флоре и растительности Кызылагачского заповедника к настоящему времени устарели и не соответствуют действительности, в связи с чем в 1976—

Таблица 1

Распределение видов по семействам и родам

Название семейств	Количество родов	видов
Salviniaceae Dumort.	1	1
Marsileaceae Mirb.	1	1
Ephedraceae Dumort.	1	1
Typhaceae Juss.	1	1
Zosteraceae Dumort.	1	1
Potamogetonaceae Dumort.	1	4
Ruppiaceae Hutch.	1	1
Zannichelliaceae Dumort.	1	1
Alismataceae Vent.	1	1
Butomaceae Rich.	1	1
Poaceae Барнхарт.	30	47
Cyperaceae Juss.	5	12
Lemnaceae S. F. Gray.	1	2
Juncaceae Juss.	1	5
Alliaceae J. Agardh.	1	1
Asparagaceae Juss.	1	3
Orchidaceae Juss.	2	2
Salicaceae Mirbel.	1	1
Ulmaceae Mirbel.	1	2
Moraceae Link.	2	1
Urticaceae Juss.	1	7
Polygonaceae Juss.	2	18
Chenopodiaceae Vent.	13	3
Amaranthaceae Juss.	1	15
Caryophyllaceae Juss.	7	1
Ceratophyllaceae S. F. Gray.	1	8
Ranunculaceae Juss.	3	6
Papaveraceae Juss.	2	16
Brassicaceae Burnett	13	1
Crassulaceae DC.	1	4
Rosaceae Juss.	4	37
Fabaceae Lindl.	13	6
Geraniaceae Juss.	2	1
Linaceae S. F. Gray	1	1
Zygophyllaceae R. Br.	1	2
Euphorbiaceae Juss.	1	1
Callitrichaceae Link.	1	6
Malvaceae Juss.	4	1
Hypericaceae Juss.	1	2
Frankeniaceae S. F. Gray	1	2
Tamaricaceae Link	1	2
Lythraceae Qaum	1	1
Punicaceae Horan.	1	2
Onagraceae Juss.	1	1
Haloragaceae R. Br.	11	11
Apiaceae Lindl.	10	3
Primulaceae Vent.	2	3
Limoniaceae Link	2	1
Gentianaceae Juss.	1	1
Apocynaceae Juss.	1	2
Asclepiadaceae R. Br.	2	5
Convolvulaceae Juss.	2	10
Boraginaceae Juss.	8	3
Verbenaceae Jaume	2	5
Lamiaceae Lindl.	3	3
Solanaceae Juss.	3	3

	2	3
Scrophulariaceae Juss.	6	9
Orobanchaceae Vent.	1	1
Lentibulariaceae Rich.	1	1
Plantaginaceae Juss.	1	4
Rubiaceae Juss.	3	8
Valerianaceae Batsch.	1	2
Cucurbitaceae Juss.	1	1
Asteraceae Dumort.	27	39

1980 гг. мы провели геоботаническое обследование территории заповедника.

В результате обследования нами установлено, что флора высших растений заповедника насчитывает 360 видов, из которых 14 относятся к низшим растениям и высшим споровым, а 346 — к высшим сосудистым, которые принадлежат 215 родам и 64 семействам (табл. 1). Приведенное нами количество видов для заповедника не является окончательным, при дальнейших исследованиях эти сведения могут дополняться новыми данными.

Флористическое обогащение флоры заповедника за последние 20—25 лет, вероятно, связано с фрагментарностью прошлых исследований и действием физических и антропогенных факторов. Так, нахождение в Малом заливе *Utricularia vulgaris* L. — интересного насекомоядного растения — не может быть объяснено опреснением воды в заливе. Возможно, в связи с малым обилием и биоэкологическими особенностями это растение просто было выпущено из поля зрения исследователей.

Ряд появившихся в заповеднике растений к настоящему времени широко расселились и играют роль эдификаторов и основных компонентов фитоценозов. Особенно заметна в этом аспекте группа водных, прибрежных и болотных растений, как *Trachomitum sarmatiense* Woodson., *Epilobium hirsutum* L., *E. minutiflorum* Hausskpn., *Lythrum salicaria* L. Их мы рассматриваем как новые для заповедника, появившиеся здесь с изменением почвенно-грнтовых условий. Виды, новые для заповедника, являются обычными для района Восточного Закавказья, куда входит и заповедник.

Как видно из табл. 1, на долю 9 семейств приходится более половины видов флоры заповедника. Остальные 66 семейств объединяют 141 вид, что составляет 41,0%. Каждое семейство представлено небольшим числом видов, причем 27 из них включают лишь по 1 виду. К ним относятся водные растения — *Salvinia natans* (L.) All., *Myriophyllum spicatum* L., *Ceratophyllum demersum* L., *Callitricha verna* L.

Во флоре заповедника имеются 4 эндемичных вида. К ним относятся 3 эндемика Кавказа — *Populus hybrida* Bieb., *Plantago filliformis* C. Koch., *Taraxacum grossheimii* и 1 эндем Азербайджана — *Raphanus rostratus* DC.

В составе флоры Кызылагачского заповедника имеются и приспешники, к которым относятся *Xanthium strumarium* L., *Paspalum digitaria* Poig и др.

Анализируя флору заповедника, отметим ее смешанный характер. Распределены виды по площади заповедника неравномерно: в аквато-

рии заливов и каналов зарегистрировано всего лишь 26 видов высших растений, на суше — 320 видов. Здесь встречаются виды из разных географических областей, отличающихся своим происхождением. Этому способствует и расположение заповедника между полупустыней и влажной Ленкоранской зоной.

Ареалогический анализ показал, что во флоре заповедника представлено 7 типов ареала. Группы видов, образующие тот или иной тип ареала, далеко не равнозначны (табл. 2).

Таблица 2

Распределение видов заповедника по типам ареала
(по А. А. Гроссгейму, 1936 г.)

Тип ареала	Всего видов	Класс ареала	Всего видов
Древний	6	Гирканский	6
Бореальный	104	Голарктический	32
		Палеарктический	43
		Европейский	25
		Атлантический	5
Степной	6	Паннонский	1
		Понтический	3
		Сарматский	2
Ксерофильный	137	Средиземноморский	115
		Переднеазиатский	17
		Центрально-азиатский	5
Пустынный	15	Сахаро-иранский	2
		Туранский	13
Кавказский	1	Кавказский	1
Адвентивный	7	Адвентивный	7

Как видно из табл. 2, виды ксерофильного типа ареала занимают первое место во флоре заповедника. Здесь отмечены представители трех его классов. Наиболее многочисленную группу составляют растения средиземноморского класса. Объясняется это географическим положением заповедника, его рельефом, благодаря чему средиземноморские виды находят здесь более благоприятные условия. К ним относятся *Avena wiestii* Steud., *Polypogon maritimus* Willd., *Sphenoporus divaricatus* (Gouan) Reichb., *Briza minor* L., *Aeluropus littoralis* (Gouan) Parl., *Vulpia ciliata* Dumort., *V. myuros* (L.) C. C. Gmel., *Aegilops cylindrica* Host, *Ranunculus trachycarpus*, *Lepidium campestre* (L.) Br., *Medicago littoralis* Rohde, *Trifolium spumosum* L., *T. angustifolium* L., *T. lappaceum* L., *T. resupinatum* L., *Vicia narbonensis* L.

Из группы переднеазиатских растений наиболее заметную роль в сложении растительного покрова заповедника играют *Tamarix meyeri* Boiss., *Psylliostachys spicata* (Willd.), *Epilobium minutiflorum* Hausskpn., *Lepidium perfoliatum* L.

Широко представлен в заповеднике и бореальный тип ареала. Растения этого типа приурочены к влажным местообитаниям где они выступают в роли основных компонентов. Голарктические растения, распространенные в основном в арктических и субарктических зонах, в заповеднике представлены 32 видами. Среди голарктиков можно отметить *Phragmites australis* (Gav.) Trin., *Typha angustifolia* L., *Potamogeton lucens* L., *Scirpus lacustris* L., *Bolboschoenus maritimus* (L.).

Таблица 3

Состав жизненных форм флоры заповедника

Жизненные формы	Количество видов	В % к общему числу видов
Деревья	7	2,0
Кустарники	10	2,8
Кустарнички	1	0,3
Полукустарники	4	1,2
Полукустарнички	2	0,6
Лианы	1	0,3
Травянистые растения:		
Однолетние	183	52,9
Двулетние	11	3,1
Одно-дву-многолетние	13	3,9
Многолетние	114	32,9

Bess., *Solanum persicum* Willd. Кустарнички и полукустарнички представлены единичными видами—*Suaeda dendroides*, *Aellenia glauca* (Bieb.) Aell., *Cressa cretica* L., *Periploca graeca* L.

Во флоре Кызылагачского заповедника им. С. М. Кирова выявлено 360 видов растений, из которых 14 относятся к низшим и высшим споровым, а 346 — к сосудистым, принадлежащим к 215 родам и 64 семействам.

В современной флоре заповедника ведущая роль принадлежит растениям из семейства Poaceae, Asteraceae, Fabaceae.

Анализ показал, что в формировании современной флоры заповедника ведущую роль играют виды ксерофильного и boreального типа ареала.

Литература

1. Алиев Р. А. Очерк растительности Кызыл-Агачского заповедника им. С. М. Кирова. Изд. АН Азерб. ССР, Баку, 1954.
2. Алиев Д. А. Зарастанье Малого Кызыл-Агачского залива. «Научные доклады высшей школы. Биол. науки», № 2, 1962.
3. Гросгейм А. А. Анализ флоры Кавказа. Изд. АзФАН СССР, Баку, 1936.
4. Корчагин А. А. Видовой состав растительных сообществ и методы его изучения. В кн.: «Полевая геоботаника». Изд-во «Наука», М.—Л., т. III, 1964, стр. 39—62.
5. Прилипко Л. И. Растительность южной части Ленкоранской Мугани. Труды Бот. ин-та АзФАН СССР, т. XI, Баку, 1940, стр. 18—35.
6. Проект организации Кызыл-Агачского государственного заповедника им. С. М. Кирова. Рукопись ВГПИИ «Союзгипролесхоз», М., 1975.
7. Раменский Л. Г. Учет и описание растительности. В кн.: «Л. Г. Раменский». Изд-во «Наука», Л., 1971, стр. 57—105.
8. Рубцова А. Г. Растительный покров Кызыл-Агачского заповедника им. С. М. Кирова. Труды Бот. ин-та АзФАН СССР, т. XI, Баку, 1940, стр. 58—74.
9. Толмачев А. И. Изучение флоры при геоботанических исследованиях. В кн.: «Полевая геоботаника», т. I, Изд. АН СССР, М.—Л., 1959, стр. 369—383.
10. Флора Азербайджана, т. I—VIII. Изд. АН Азерб. ССР, Баку, 1950—1961.
11. Черепанов С. К. Свод дополнений и изменений к «Флоре СССР». Изд-во «Наука», Л., 1973.
12. Ярошенко П. Д. Геоботаника. Изд. АН СССР, М.—Л., 1961.

А. Х. Ләтифова, О. И. Іевстратов

С. М. КИРОВ АДЫНА ГЫЗЫЛАГАЧ ГОРУГУ ФЛОРАСЫНЫН ТӘҮЛИЛИ

Мәгәләдә Хәзәрин гәрб саһилнәдә јерләшән Гызылагач горугу флорасынын еўрәнилмәснәндән баһс едилүр.

Апарылыш тәдгигат нәтичесинде мүәjjән едилмишdir ки, горугда 215 чинис вә 64 фасиләй аңд 360 битки нөвү јаялмышдыр ки, бунларын да 14 нөвү ибтидан биткиләре андидр.

Горугун флорасынын әсасыны Аралыг дәнизи элементләрина мәнсуб олан ксерофил вә бореал типә аңд нөвләр тәшикли едир.

Флораның әсас тәркиби бириллик вә чохиллик от биткиләриндән ибарәтдир.

АЗӘРБАЙЧАН ССР ЕЛМЛӘР АҚАДЕМИЈАСЫНЫН ХӘБӘРЛӘРИ
Биолокија елмләри серијасы, 1984, № 1

ИЗВЕСТИЯ АКАДЕМИИ НАУК АЗЕРБАЙДЖАНСКОЙ ССР
Серия биологических наук, 1984, № 1

УДК 582.734/479.242

БОТАНИКА

Р. М. МӘММӘДОВ

ГУБА-ХАЧМАЗ ЗОНАСЫНДА БИТӘН НАДИР ВӘ ҚӨҚУ
ҚӘСИЛМӘКДӘ ОЛАН ИЛАН СОҒАНЫ НӨВЛӘРИНИН
БИОЛОЖИ ХҮСУСИЙЛӘТЛӘРИ

Мәгәләдә мүәjjән едилмишdir ки, Губа-Хачмаз зонасында јаялан надир вә қөқү қәсилимәкдә олан илан соғаны чинсинин үч нөвү битир. Тәсәррүфат ишләри илә әлагәдар бу нөвләрин ареалынын кичилмәснин сәбәбләри изаһ олунур. Өјрәннелән hәр үч нөв тәбии шәранта нисбәтен, културада даһа јахши инкишаф едир, мәһз буна көрә дә онлар декоратив битки кими бәзәк бағчылығында истифадә олунға биләр.

Занбагчичәккүлләр фәсиләсіндән олан илан соғаны (*Muscari Mill*) чинсиниң дүніјада 60, ССРИ-дә 19, Азәрбајчанда 9, Губа-Хачмаз зонасында исә 3 нөвү јаялмышдыр (1,2). Бунлар: назикничәк илан соғаны (*M.tenuiforum*), солғун илан соғаны (*M. pallens*) вә ағзычызыглы илан соғаны (*M.leucostomum*) нөвләриди. Илан соғаны нөвләри әтријјат сәнајесинде, ефир яғы алымасында, бә'зиләри исә декоратив битки кими бәзәк бағчылығында хүсуси әһәмијјәт кәсб едир.

Апардығымыз тәдгигатлар нәтичесинде мүәjjән едилмишdir ки, Губа раionунун мешәлик вә Дәвәчи раionунун дүзәнлик зонасында (Сарван, Килькилчај кәндләри әтрафында) көстәрилән илан соғаны нөвләри кениш јаялмышдыр. Лакин мүнтәзәм олараг апарылан тәсәрүфат ишләри бу нөвләрин ареалынын тәдричән кичилмәснә сәбәб олур.

Илан соғаны нөвләринин әһәмијјәтини нәзәрә аларағ hәмин биткиләрин күлтүра шәрантindә инкишафыны өјрәнмәк мәгсәдилә Дәвәчи раionу әразисинде (Дағбиличи кәндидә мәктәбин тәдрис-тәчрүбә саһәснәдә) тәчрүбәләр гојмушуг.

Тәбии шәрантдән кәтирилмиш соғанаглар әvvәлчәдән назырланмыш ләкләрдә 6—10 см дәренилкәдә әкилмишdir. Биткиләрә гуллуг, әсасен, алаг отларынын тәмизләнмәсіндән, торпағын јумшалдылмасындан, сувармадан (соғанаглар торпаға јеничә әкилдикдә) ибарәтдир. Яз аյларында Губа-Хачмаз зонасында јағынтыларын мигдары чох олдуғу үчүн бу биткиләри чох суламаг тәләб олунмур (векетасија дөврүндә бир вә ja ики дәфә суламалы). Векетасија дөврүндә hәр кв/м-дә олан биткиләрә 25 г фосфор, 15 г азот, 20 г калиум күбрәси вә 5 литр пеин ширәси верилмишdir.

Агротехники тәдбирләр hәр үч нөв үчүн еjnидир. Жалныз *M. tenuiforum* биткисинин агротехникасында чүз'и фәргли чәһәтләр вардыр. Эн башлыча фәрг ондан ибарәтдир ки, hәмин битки көлкәли мешә шәрантнә уjғунлашдығы үчүн ачыг саһәдә јахши инкишаф етмир. Суя гисмән тәләбкардыр. Она көрә дә, hәмин биткини ағач көлкәсіндә әкибекетасија дөврүндә үч дәфә сулајараг мәгсәдәуjғун җәтичәләр әлдә етмишик. Дикәр агротехники гајдалар исә ejни олмушдур.

Тәдгиг етдијимиз иевләр перспектив олдуғу үчүн һәр үчүнчү тәсвирини веририк.

Назикчىчек илан соғаны— *M. tenuiflorum* иевдән олан экин материаллары, өсасән, Губа рајонунун Шудуг кәндinin шималындан (Шаһкома яјлағындан) яғылыбы кәтирилмешdir (28.IV.1979).

Назикчىчек илан соғаны һәмин әразидә тозағачы мешәсинде шабалыды торпаг саһәсинде (1 кв.м-дә 10—16 әдәд), хәззәс соғаны (*Allium paradoxum*) илә бирликдә битир. Онун соғанаглары 15—20 см торпағын дәринлијиндә јерләшмиш, овал-јумуртавари формададыр. Јерусту һиссәси 33 см һүндүрлүкдәдир.

Назикчىчек илан соғаны тәбин шәраитдә векетасија, адәтән, февралын биринчи онкүнлүйүндә башлајыр. Илк гөңчәләр апрелин икинчи он күнлүйүндә формалашыр вә апрелин сонунда күтләви чичәкләмә башлајыр. Чичәкләмә 16—18 күн давам едир. Қөвдә үзәриндә 40—45 әдәд чичәк әмәлә кәлир. Мајын үчүнчү онкүнлүйүндә исә тохумлар јетишір вә тәдрижән төкүлмәје башлајыр. Қөвдә үзәриндә 30—35 әдәд мејвә гутуучуға олур. 1000 әдәд тохумунун чәкиси 9,4 грамдыры.

Биткиниң ярпаглары, қөвдәси вә чичәкләри чох декоративдир. Тәбин шәраитдән яғылыш тохумлары сағлам олур.

Дәвәчи рајон әразисинде култура шәраиттән битки векетасија феврал аյынын икинчи онкүнлүйүндә, чичәкләмәје исә апрелин сонунда башлајыр вә 18—22 күн давам едир. Соғанаглары 2,6 см диаметрда, 3,8 см. һүндүрлүкдәдир. Мејвә әмәлә кәтирмәјен чичәкләри яшыл-бәнөвшәји рәнкдә олур. 1000 әдәд тохумунун чәкиси 12,3 грамдыры.

Апардыгымыз мұшаһидәләр көстәрир ки, мешәләрин мәјвә едилмәси нәтижесинде ачыг саһәдә галан назикчىчек илан соғаны биткиниң ареалы кет-кедә кичилир.

Ағзычызыглы илан соғаны— *M. leucostomum* Ағзычызыглы илан соғаны биткиси Губа-Хачмаз зонасы үчүн надир иевдүр. Һәмин иев зонанын әразисинде јалныз Дәвәчи рајонунун Сарван кәндии әтрафында яғылышыры (һәр кв.м-дә 22 әдәд). Бунун соғанаглары һәмин әразидә экин саһәсинин кәнарындан яғылышыры (12.IV.1979). Биткиниң соғанчылары узуисов-овал, 9—15 см. торпағын дәринлијиндә олур. Қөвдәниң һүндүрлүйү 15—17 см олуб, чох көврәкдир.

Тәбин шәраитдә биткидә векетасија февралын ilk әввәлләринде, чичәкләмә исә апрелин биринчи онкүнлүйүндә (3—8) башлајыр. Салхым чичәк группунда, адәтән, 22—25 әдәд чичәк топланыры. Мејвә әмәлә кәтирмәјен чичәкләри парлаг мави рәнкдә олур. Апрелин сонундан е'тибарән чичәкләрдән ilk тохумлар әмәлә кәлмәје башлајыр. Мајын икинчи онкүнлүйүндә тохумлар төкүлүр. Соғанчыларынын һүндүрлүйү 2,7 см, диаметри 1,7 см, чәкиси исә 2,5 грамдыры. Ана соғанагын әтрафында 6—12 әдәд хырда соғанаглар олур.

Култура шәраиттә ағзычызыглы илан соғаны биткиси векетасија февралын орталарында (11—14) башлајыр, апрелин икинчи онкүнлүйүндә исә чичәкләјир. Тохумлар мајын биринчи онкүнлүйүнүн сонунда төкүлүр вә биткиниң јерусту һиссәси гуројур. Беләликлә, ағзычызыглы илан соғаны биткиниң векетасијасы 85—100 күн давам едир.

Култура шәраиттә ағзычызыглы илан соғаны биткиниң соғанагларынын һүндүрлүйү 3,2 см, диаметри 2,4 см, чәкиси исә 3,4 грамдыры. Биткиниң қөвдәсинин һүндүрлүйү 23—26 см олур. Адәтән, һәр бир сал-

хым чичәк' группунда 31 әдәд чичәк олур ки, онлардан да ән азы 23—27 әдәди тохум веририк. Декоратив битки кими әкиб бечәрмәк олар.

Солғун илан соғаны— *M. pallens*. Һәмин иев Дәвәчи рајонунун Сарван, Кәндоб вә Килькилчај кәндләри әтрафында яғылышыры (һәр кв.м-дә 8 әдәд). Экин материаллары Сарван кәндии әтрафындан зәмидән топланышыры (17.IV.1980). Биткиниң һүндүрлүйү 12—16 см, соғанагларынын һүндүрлүйү 2,2 см, диаметри 1,3 см, чәкиси исә 2,3 грамдыры.

Тәбин шәраитдә биткидә векетасија февралын биринчи онкүнлүйүндә, чичәкләмә исә апрелин әввәлләринде башлајыр. Биткидә 18—27 әдәд чичәк олур. Апрелин сонунда биткидә тохумлар әмәлә кәлир. Мајын ахырында исә тохумлар төкүлүр вә биткиниң јерусту һиссәси гуројур.

Култура шәраиттән битки векетасија февралын икинчи онкүнлүйүндә башлајыр. Биткиниң векетасијасы ијунун әввәлләринә گәдәр давам едир.

Қөвдәниң һүндүрлүйү 18—23 см, соғанаглар овал-јумуртавары, һүндүрлүйү 3,1 см, диаметри 1,9 см, чәкиси исә 3,2 г олур.

Солғун илан соғаны биткисиини шәраиттә көрә мұхтәлиф векетасија дөврүнү нәзәрә алараг, ондан декоратив битки кими истифадә етмәк олар.

Өтрәнилән һәр үч иев (*M. tenuiflorum*, *M. Ceucstootum*) вә *M. pallens* тәбин шәраиттә нисбәтән културада даһа яхшы инкишаф едир. Чичәк, ярпаг вә тохумлары даһа ири олур. Соғанчыларынын боју вә чәкиси сәртыры. Назикчىчек илан соғаны (*M. tenuiflorum*) биткиси дәнис сәвијјәсендән 1000—1500 м һүндүр әразидә, кәлкәли мешә шәраиттә битдији үчүн дикәр ики иевә нисбәтән векетасијасынын фазаларында бир һәфтәје гәдәр кечикмә мұшаһидә едилир. Лакин һәр үч иевүн дебир әфәттә олараг, онлардан бәзәк бағчалығында коратив әлемәтләрини нәзәрә алараг, онлардан бәзәк бағчалығында газонларында чичәкликләр салмаг үчүн истифадә олуна биләр.

Әдәбијат

1. Гроссегейм А. А. Флора Кавказа, Баку, т. II, 1940.

2. Флора Азербайджана. Баку, т. II, 1952.

Ботаника институту

Р. М. Мамедов

РЕДКИЕ И ИСЧЕЗАЮЩИЕ ВИДЫ РОДА ГАДЮЧИЙ ЛУК, ПРОИЗРАСТАЮЩИЕ В КУБА-ХАЧМАССКОЙ ЗОНЕ, И ИХ БИОЛОГИЧЕСКИЕ ОСОБЕННОСТИ

Среди представителей семейства Лилейных заметное место занимают виды рода гадючий лук. В статье затрагиваются причины их исчезновения, методы привлечения в культуру 3 видов гадючего лука и использование их в декоративных целях.

БОТАНИКА

А. А. КУЛИЕВ, Э. И. ГИГИЕНОВА, З. Р. ДЖАФАРОВ,
 Н. М. ИСМАИЛОВ, Э. М. ГУРБАНОВ

**ИССЛЕДОВАНИЕ ЖИРНОГО МАСЛА СМИРНОВИДКИ
 АРМЯНСКОЙ (*Smurgnopsis armena Schischk.*)
 ИЗ ФЛОРЫ НАХИЧЕВАНСКОЙ АССР**

Добываемые в настоящее время растительные масла еще не полностью удовлетворяют дифференцированные потребности промышленности. В связи с этим на продуктивное использование масличных растений неоднократно обращалось внимание партии и правительства.

С целью пополнения ассортимента масличного сырья перспективными растениями мы исследовали жирнокислотный состав масел семян смирновидки армянской, произрастающей в Нахичеванской АССР.

Особый интерес представляет масло семян смирновидки армянской. По содержанию жирного масла это растение мало отличается от таких известных масличных растений, как сафлор, подсолнечник, соя, артишок и др.

Объектом исследований служили семена смирновидки армянской, собранные в 1982 г. на горе Дарабогаз в окрестностях селения Кююк Шахбузского района.

Извлечение масла проводили 3—4-кратной экстракцией очищенных измельченных семян петролинейным эфиром 40—60°, методом настаивания при комнатной температуре. Экстракти объединяли, растворяли роторным испарителем под вакуумом водоструйного насоса, и выделенное жирное масло просушивали в вакуум-сушильном шкафу при 40°C.

Физико-химические показатели жирного масла изучены по следующим методикам: удельный вес, число омыления, кислотное число [3]: йодное число [1], коэффициент рефракции на рефрактометре ИТФ-22, число Поленского и число Рейхарта—Месселя [4] (табл. 1).

Физико-химические показатели жирного масла смирновидки армянской

Таблица 1

Ж. масла, %	24,71
Цвет, %	Светло-желтый
Удельный вес d_4^{20}	0,92
Коэффициент рефракции n_d^{20}	1,4920
Число омыления, мг кон/g	162,69
Кислотное число, мг кон/g	1,12
Эфирное число, мг кон/g	161,57
Подное число, % J ₉	130,5
Число Рейхарта-Месселя, %	3,2
Число Поленского, %	0,11
Содержание неомыляемых веществ, %	1,95

Для предварительного анализа состава липидов жирного масла смироописса армена петролейно-эфирные экстракты подвергали колоночной хроматографии.

Колонку заполняли силикагелем ЛС 100/160 мк. Соотношение навески масла к весу адсорбента 1:20. Системы растворителей: П. эфир: Д. эфир — 10:0, 9:1, 8, 2.

Контроль выхода фракции из колонки и после очистки их рехроматографией в тонком слое силикагеля осуществляли в соответствующих системах растворителей на стеклянных пластинках и силуфоле.

Главными компонентами масел по классам липидов оказались: углеводы, триацилглицеролы, свободные жирные кислоты, свободные стеролы и некоторые неидентифицированные компоненты, которые представляют собой сложную смесь ряда минорных компонентов: 1) углеводороды; 2) триацилглицеролы; 3) свободные жирные кислоты; 4) свободные стеролы в тонком слое силикагеля при сравнении со свидетелями.

Как сложный эфир жирных кислот, проводили ИК-спектры, в плейке см^{-1} 3010 ср., 1640 сл., $=\text{CH}=\text{C}=$, 2975 с., 2885 с., 1380 ср., $=\text{CH}_3$: 2940 с., 2865 с., 1466 ср., 730 ср., $=(\text{CH}_3)_n-$, 1740 с., 1420 ср., 1245 с., 1175 ср., —OCOR.

ПМР-спектры, ГМДС, CCl_4 , бм.д.д.: 0,86:3 $\text{CH}_3=$, 9Н, м 1,23, $=(\text{CH}_2)_n-\text{M}^+$ 1,55, $=\text{CH}_2\text{CH}_2\text{CH}=$, м 2,0 $-\text{CH}_2=\text{CH}=$, 2,24, RCH_2COOR м 2,68, $=\text{CH}_2\text{CH}_2\text{CH}\pm$, м 4,10, две группы $-\text{CH}_2-$ —OCOR(4Н), м 5,10, $=\text{CHOCOR}$, м 5,23, $=\text{CH}=\text{CH}=$, Rf—0,63 (силифол, в системе петролейный эфир — диэтиловый эфир 8:2).

На основании данных ИК-, ПМР-, спектр 2) идентифицирован как триацилглицерол.

Проводили гидролиз триацилглицеролов раствором едкого калия при комнатной температуре. Этим раствором заливали навески масла (10:1) и смесь встряхивали в течение 20—30 минут до получения прозрачного раствора калиевых мыл. Затем отгоняли метаном при температуре водяной бани 40—45° под вакуумом водостройного насоса, а оставшиеся мыла в воде растворяли. Из этого раствора трижды экстрагировали неомыляемые вещества петролейным эфиром.

Смеси жирных кислот выделяли диэтиловым эфиром. Для этого водный слой, находящийся под слоем диэтилового эфира, подкисляли 10—15% серной кислотой по метиларанджу. Выделяемые жирные кислоты трехкратно извлекали диэтиловым эфиром.

Эфирную вытяжку объединяли, промывали водой до нейтральной реакции, высушивали над сульфатом натрия, отфильтровывали, отгоняли эфир и смесь жирных кислот высушивали при 30°C в течение 2—3 часов под вакуумом.

Жирные кислоты этерифицировали диазометаном, полученные метиловые эфиры жирных кислот количественно делили методом газожидкостной хроматографии.

На рис. 1 представлена хроматограмма жирных кислот триацилглицеролов.

Пики метиловых эфиров жирных кислот идентифицировали по величине относительного времени удерживания с использованием линей-

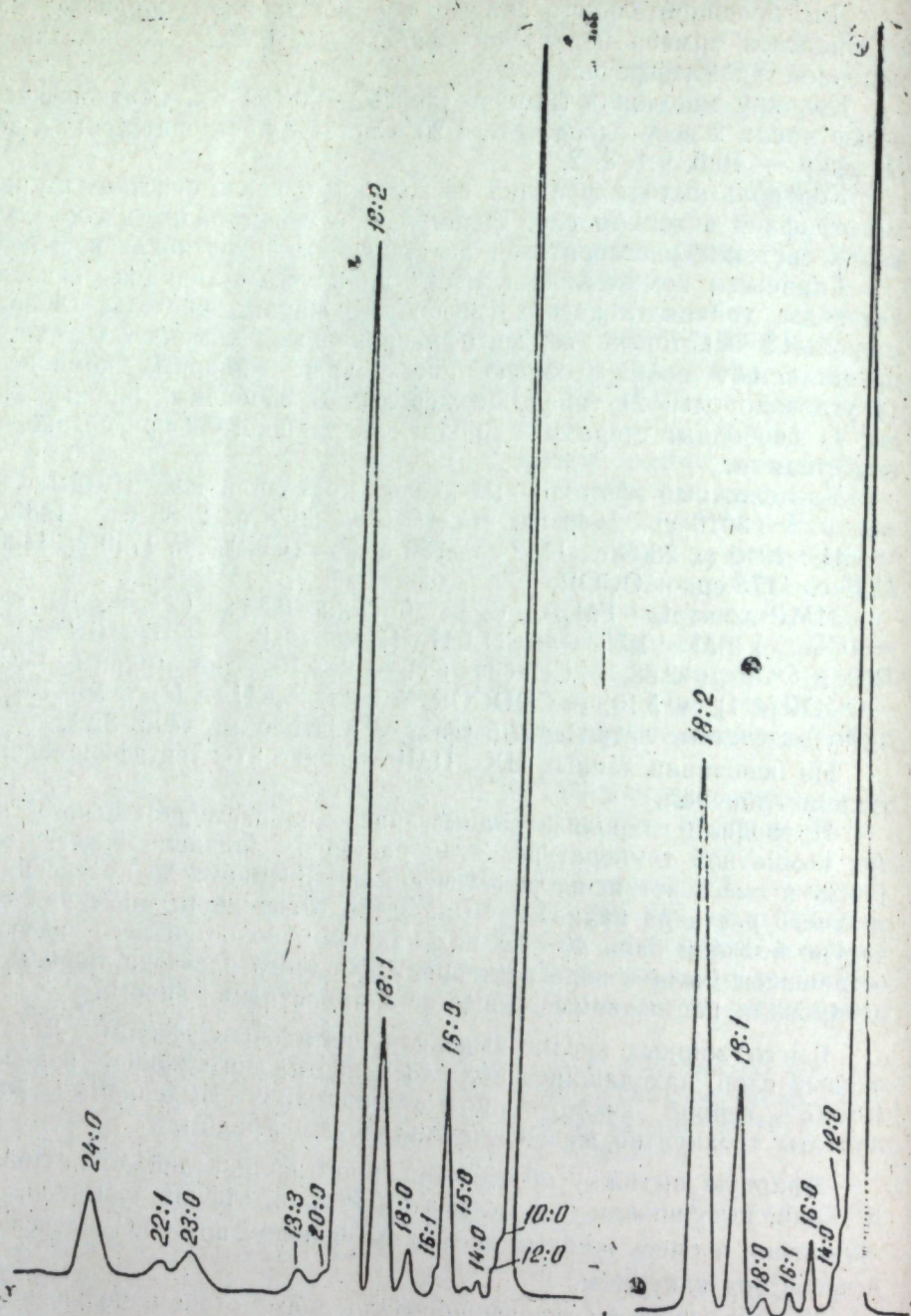


Рис. 1.

Рис. 1. ГЖХ метиловых эфиров жирных кислот триацилглицерольной смеси.
Рис. 2. ГЖХ метиловых эфиров жирных кислот моноглицеридной фракции.

йой зависимости логарифма этой величины от числа атомов углерода [2].

В результате идентификации было установлено наличие следующих кислот и проведен расчет процентного содержания их от общего количества (табл. 2).

Таблица 2

**Жирнокислотный состав триацилглицеролов и моноглицеридной
фракции жирного масла смирновидки армянской**

Кислоты	Содержание кислоты, % от суммы	
	Триацилглицеролы	Моноацилглицеролы
10:2	0,31	—
12:0	0,24	1,37
14:0	0,32	0,87
15:0	0,16	—
16:0	4,52	3,32
16:1	0,94	1,24
18:0	1,74	1,61
18:1	11,72	22,68
18:2	55,84	68,91
20:0	1,20	—
18:3	1,06	—
23:0	4,75	—
22:1	3,46	—
24:0	13,74	—
0—насыщенных	26,98	7,17
1—моноеновых	16,12	23,92
2—диеновых	55,84	68,92
3—триеновых	1,06	—
Ненасыщенных	73,02	92,83

В результате ферментативного гидролиза триацилглицеролов, проведенного с помощью панкреатической липазы (поджелудочной железы крупного рогатого скота) [5] получили моноацилглицериды, которые подвергли щелочному гидролизу. Выделенные жирные кислоты — моноацилглицеролы — перевели в метиловые эфиры соответствующих кислот с помощью диазометана.

На рис. 2 представлена газо-жидкостная хроматограмма метиловых эфиров жирных кислот моноглицеридной фракции (табл. 2).

Позиционно-видовой состав (табл. 3) триацилглицеролов рассчитывали по видоизмененному [5] методу [6].

Основные особенности жирного масла смирновидки армянской характеризуются следующими показателями:

1. В семенах смирновидки армянской, произрастающей в Шахбузском районе Нахичеванской АССР, установлено 24,71% жирного масла. Определены его физико-химические показатели.

2. В липидах семян установлено наличие углеводородов, триацилглицеролов, свободных жирных кислот и стеролов.

3. Впервые изучен жирнокислотный состав масла смирновидки армянской. Установлен позиционно-видовой состав триацилглицеролов.

Таблица 3

Позиционно-видовой состав триацилглицеролов
жирного масла смирновидки армянской

Виды триацилглицеролов	% от суммы	Виды триацилглицеролов	% от суммы
ННН	0,98	ММТ	0,09
ННМ	0,64	ДМД	5,81
ННД	2,61	ДМТ	0,37
ННТ	0,08	ТМТ	0,01
МНМ	0,11	НДН	9,38
МНД	0,86	НДМ	6,22
МНТ	0,03	НДД	25,06
ДНД	1,74	НДТ	0,81
ДНТ	0,12	МДМ	1,03
ТНТ	—	МДД	8,30
НМН	3,26	МДТ	0,26
НММ	2,16	ДДД	16,75
НМД	8,70	ДДТ	1,08
НМТ	0,28	ДТД	0,02
МММ	0,36		
ММД	2,88		

Н—насыщенных
М—моноеновых
Д—диеновых
Т—триеновых

Литература

- Арутюнян Н. С., Армиева Е. А. Лабораторный практикум по химии жиров. М., «Пищевая промышленность», 1979, с. 176.
- Берч菲尔д Г., Сторре Э. Газовая хроматография в биохимии. Изд-во «Мир», М., 1964, с. 619.
- Государственная фармакопея СССР, М., «Медицина», т. 10, 1968, с. 810.
- Ермаков А. И., Арасимович В. В., Смирнова-Иконникова М. И., Ярош А. П., Луговникова Г. М. Методы биохимического исследования растений. Л., «Колос», 1972, с. 455.
- Маркман А. Л., Черненко Т. В., Умаров А. У. Липополитический метод определения глицирированного состава жиров. «Прикладная биохимия и микробиология», т. V, 6, 5, 1969, с. 616—619.
- Coleman M. H. Further Studies on the Pancreatic Hydrolysis of Some Natural Oil Fats. The Journal of the American Oil Chemists' Society, vol. 38, 1961, N 12, p. 685—688.

Азгосуниверситет им. С. М. Кирова
Научно-исследовательский центр
Институт химии растительных веществ АН Узб. ССР

А. Э. Гулиев, Е. И. Гигиенова, З. Р. Чәфәров,
Н. М. Исмаилов, Е. М. Гурбанов

НАХЧЫВАН МССР-дә БИТӘН ЕРМӘНИ ЛӘЛӘКЛҮЛӘСИННИН
(*Smyrnopsis armena schishk*)
JAФ ТӘРКИБИНИН ӨЈРӘНИЛМӘСИ

Нахчыван МССР-дә Шаһбуз районун Күкү кәнди вә Ганлы көл этрафында яйымыш ермәни ләләклүләси биткисинин тохумунун тәркибиндә 24,71 пијли яғын олдугу мүәјҗәнләшdirилмишdir. Яғын физики вә кимјәви көстәричиләри өјранилмиш, ейни заманда тәркибиндә карбоидратларын, триасилглицерол, сәрбәст яф туршусу вә стеро-лүн олдуғу ашқар едилмишdir.

АЗЭРБАЙЧАН ССР БЛМЛӘР АКАДЕМИЯСЫНЫН ХӘБӘРЛӘРИ
Биологија елмләри серијасы, 1984, № 1

ИЗВЕСТИЯ АКАДЕМИИ НАУК АЗЕРБАЙДЖАНСКОЙ ССР
Серия биологических наук, 1984, № 1

УДК 631. 416. 631. 417

А. Н. ГЮЛЬХАМЕДОВ, О. К. МАМЕДОВ

СОДЕРЖАНИЕ БОРА В ПОЧВАХ ЦЕНТРАЛЬНОЙ БИРМЫ
(Сухая зона)

За последние 20 лет все более важное значение приобретают микроэлементы, применяемые в виде микроудобрений. Для рационального использования микроудобрений необходимо изучение валовых запасов и подвижных форм микроэлементов в почвах. Почвообразующая порода является главным источником поступления микроэлементов в почву. В результате почвообразовательных процессов идет перераспределение микроэлементов по генетическим горизонтам. Очень много различных факторов влияет на распределение микроэлементов по генетическим горизонтам [1, 2, 3]. Основными из них, кроме состава материнской породы, являются: почвенно-климатические условия, характер растительности, рельеф, pH почвы, наличие карбонатного горизонта, механический состав и т. д. Ряд исследователей объясняет накопление микроэлементов в гумусовом горизонте поднятием их корнями растений из нижних горизонтов благодаря наличию щелочной реакции и в следствие этого выпадением гидроокислов металлов из растворов, подтекающих снизу.

Часть элементов входит в состав почвенных минералов твердой фазы. Другая часть обнаруживается в поглощенном состоянии на поверхности почвенных коллоидов. Некоторые микроэлементы считаются биогенными, поэтому марганец, медь, бор, кобальт, цинк дают соединения с органическим веществом почвы и подвергаются процессу биологической аккумуляции. Под влиянием всех факторов почвообразования изменялось валовое содержание микроэлементов, а также их подвижность в почвах.

С этой точки зрения представляет определенный интерес приводимое ниже сравнение (табл. 1).

Таблица 1

Валовое содержание микроэлементов в почвах Советского Союза и основных типах почв Центральной Бирмы (мг/кг почвы)

Микроэлементы	Советский Союз (А. П. Виноградов, 1962)	Центральная Бирма (О. К. Мамедов, 1975)
Марганец	21—6400	120—877
Медь	1—140	7—38
Цинк	6—90	10—67
Кобальт	0,4—224	4,8—22,4
Бор	1—224	12—85
Молибден	0,2—7,5	0,7—6,2

Как видно из приведенных данных, пределы колебаний некоторых микроэлементов в почвах СССР намного выше, чем в почвах Сухой зоны. Такое резкое отличие содержания микроэлементов, безусловно, связано с природными условиями. Известно, что климатические условия Бирманского Союза значительно отличаются от почвенно-климатических условий СССР, особенно нужно отметить годовое количество осадков, которое намного больше в условиях тропиков.

Результаты многочисленных определений валового содержания подвижных форм и запасов бора в пахотном слое почв Сухой зоны приведены в табл. 2. Кроме того, в ней представлены сводные данные об уровнях обеспеченности почв микроэлементами.

Бор. В почвах Сухой зоны содержание валового бора колеблется в довольно широких пределах от 12 до 85 мг/кг почвы и значительно превышает кларк, который равен 10 мг/кг. Однако из этого количества в доступной форме находится всего 0,1—0,7 мг/кг почвы (0,7—1,2%).

Таблица 2
Уровни валового содержания и подвижных форм бора в основных типах почв Центральной Бирмы (в слое 0—20 см, в числителе — валовые, в знаменателе — подвижные формы, мг/кг)

Объемная масса почвы, г/см	Пределы колебаний бора, мг/кг	БОР	Среднее, мг/кг	Запас, кг/га	% от валового
1,48	12—23 0,7—0,2	Красно-бурые саванные (23 разреза) 22—37 0,3—0,5	16 0,1 29 0,3	47 0,3 85 0,9	0,6 1,0
1,46	22—37 0,3—0,5	Темные слитые саванные (43 разреза)	29	85	1,0
1,60	40—85 0,4—0,9	Коричневые (67 разрезов)	63 0,7	189 2,1	1,0
1,50	29—59 0,3—0,6	Луговые глеевые (34 разреза)	43 0,5	137 1,6	1,1
1,46	35—73 0,1—0,6	Луговые аллювиальные (97 разрезов)	54 0,4	158 1,2	0,7
1,37	15—27 0,2—0,3	Примитивные щебенистые (7 разрезов)	19 0,2	52 0,5	0,9
1,09	31—54 0,3—0,4	Желто-бурые лесные (6 разрезов)	39 0,3	85 0,7	0,8

Наибольшее количество валового бора содержат тропические коричневые почвы — 40—85 мг/кг, или в среднем 63 мг/кг почвы. Менее обеспечены бором красно-бурые саванные почвы, где содержание валового бора колеблется в пределах 12—23 мг/кг, а доступных — от 0,7 до 0,2 мг/кг, или же 0,7% от валового бора. Наиболее высокая подвижность бора имеет место в темно-слитой саванной почве (1,2% от валового).

Из основных типов почв лугово-глеевые, лугово-аллювиальные и желто-бурые почвы содержат среднее количество подвижного бора —

от 0,3 до 0,5 мг/кг почвы. В условиях тропического климата во время муссонных дождей доступный для растений бор может вымываться осадками в нижние горизонты или за пределы почвы вообще, так как он представлен в почве главным образом в виде растворимых солей борной кислоты. Красно-бурые саванные выщелоченные почвы содержат меньше растворимого бора, чем остальные почвы этой зоны.

На картосхеме содержания подвижного бора в пахотном слое почв Сухой зоны даются группировки почв по запасам подвижного бора. В группу почв, где запасы подвижного бора в пахотном слое составляют 0,1—0,2 мг/кг, вошли красно-бурые саванные и примитивные щебенистые почвы. Во вторую группу с содержанием подвижного бора 0,3—0,5 мг/кг вошли темные саванные, лугово-глеевые, лугово-аллювиальные. В группу почв, содержащих бора в пахотном слое более 0,5 мг/кг, входят только тропические саванные.

Проведенные в Центральной Бирме (Сухой зоне) агрехимические исследования показали, что по содержанию подвижных форм бора почвы этой зоны относятся в основном к группе низко и средне обеспеченных. При выращивании сельскохозяйственных культур на почвах этой зоны необходимо учитывать содержание в почвах бора и потребность растений в нем, поэтому для получения качественных урожаев необходимо вносить микроудобрения дифференцированно.

Рекомендуется внесение борных удобрений при очень низкой степени обеспеченности почв подвижным бором (<0,55 мг/кг почвы): под зерновые — 2,0; под пропашные 2,5 и под многолетние культуры — 3,0 кг/га; при средней степени обеспеченности (от 0,56 до 1,65 мг/кг почвы): под зерновые — 0,5, пропашные — 1,0 и многолетние — 1,5 кг/га, при высокой степени обеспеченности (>1,65 мг/кг почвы): под зерновые — 0,2, пропашные — 0,5 и многолетние — 0,5 кг/га.

Литература

- Веригина К. В. Агрехимический анализ почв в лабораториях МТС (для пчечноземной полосы). М., Изд-во АН СССР, 1954.
- Виноградов А. П. Среднее содержание химических элементов в важнейших типах изверженных горных пород земной коры. «Геохимия», № 7, 1962.
- Малюга Д. П. Биогеохимический метод поисков рудных месторождений. М., Изд-во АН СССР, 1963.

Институт почвоведения
и агрехимии

Э. И. Күләһмәдов, О. К. Мәммәдов

МӘРКӘЗИ БИРМАНЫ ТОРПАГЛАРЫНДА (ГУРУ ЗОНА) БОРУН МИГДАРЫ

Торпагшұнаслығ вә Агрокимја Институтунун апардығы тәдгигаттар Мәркәзи Бирма торпагларында бор елементтіннің 1 кг торпагда 12 мг-дан 85 мгға ғәдәр олдуғу, яғни 10 мг-а бәрабәр олан кларкдан үстүнлүк ташқыл етди жаңа ашқар едилмешдір.

Тәдгигаттар иетіншіндегі ажды олмушшур ки, борун үмуми мигдарының 0,7—1,2 фазын биткиннің мәнімсәжі биләчәні формададыр вә бу торпагларын экспәр һиссесін борла зәнф вә орта тә'мин едилмешдір. Одур ки, жүксөк вә кејиғіттілі мәһсүл әлде етмәк үчүн микроэлементтердің дифференциал тәтбиги вачибиди.

УДК 631.4

ПОЧВОВЕДЕНИЕ

И. Ш. ИСКЕНДЕРОВ, А. Н. ЮСИФОВ

**РАСПРОСТРАНЕНИЕ КОРКООБРАЗОВАНИЯ В ПОЧВАХ
КУРА-АРАКСИНСКОЙ НИЗМЕННОСТИ.**

Для интенсификации сельскохозяйственного производства необходимо применять научно обоснованные приемы ухода за почвой и растениями. Одной из существенных причин, влияющих на уменьшение урожайности сельскохозяйственных культур в орошаемых почвах, является коркообразование, на ликвидацию которой требуется значительное количество средств и вложений.

Изучение причин и природы коркообразования и нахождение практических путей ее преодоления позволят значительно увеличить урожай в орошаемой зоне и стимулировать плодородие почв.

Как известно, почвенной коркой называется плотный, отвердевший и растрескавшийся при высыхании поверхностный слой почвы, толщина и твердость которого зависят от климатических условий, орошения и свойств самой почвы. Вопросу познания причины раскрытия природы коркообразования почв обращено внимание многих исследователей [1—17]. Особо отмечено образование почвенной корки в связи с физико-химической характеристикой почвы и разной степенью их оккультуренности [6]. Рассмотрено улучшение свойств корковых солонцов в мелиоративных севооборотах Южного Урала, выявившее существенное усиление фитомелиорирующей роли растений (суданской травы сорго и др.) и разработаны меры борьбы с почвенной коркой [3, 6, 9]. Изучено коркообразование песчаных пустынных почв, выявившее при этом не только хорошо выраженную корку на поверхности, но и бедность их гумусом [12]. Исследованиями было установлено, что влияние гипса на рассолонцевание лугового коркового солонца более эффективна, чем CaCl_2 [7]. Гипсование значительно улучшает водопроницаемость, фильтрационную способность, увеличивает водопрочные агрегаты коркового солонца содового засоления [11]. Имеются сведения, указывающие на то, что, изучив диагностическое значение ила корочек и почвы в связи с оценкой глеообразования, можно использовать валовой химический анализ илистой фракции почвы для количественной характеристики. Было выяснено, что свойства высокогорных такыровидных почв Восточного Памира тесно зависят от минералогического состава [4].

Проводились исследования, выявившие характер коркообразования в различных почвенно-климатических условиях Кура-Араксинской низменности, в частности на орошаемых почвах Ширванской степи. В нижних бассейнах р. Ахсчай изучены причины образования почвенной корки, влияние ее на прорастание и развитие хлопчатника, а также рассматривались некоторые меры борьбы с ней [3, 5].

Изучением влияния искусственного дождевания, количества выпадающих осадков, степени увлажнения, наличия органического вещества, гранулометрического состава на коркообразование выявлено, что изменяется водопрочность микроструктур, уменьшается твердость на поверхности корки, а при применении гранулированной мульчи из порошков угля препятствует образованию плотной корки при выращивании хлопчатника [15, 17].

Нами проводятся исследования по выяснению причин возникновения почвенной корки в орошаемой зоне республики с целью возникновения почвенной корки в орошаемой зоне республики и нахождения эффективных приемов их устранения. В данной статье изложены результаты исследования по уточнению ареалов распространения коркообразования в почвах Кура-Араксинской низменности. В 1983 г. нами проводились почвенно-полевые исследования на орошаемых почвах Кура-Араксинской низменности. Первым этапом наших исследований было составление карты распространения коркующихся почв. Для этой цели, наряду с полевыми исследованиями, была использована карта генетической формы засоления почвы [1], картограмма содержания поглощенного натрия [13], минералогическая карта Кура-

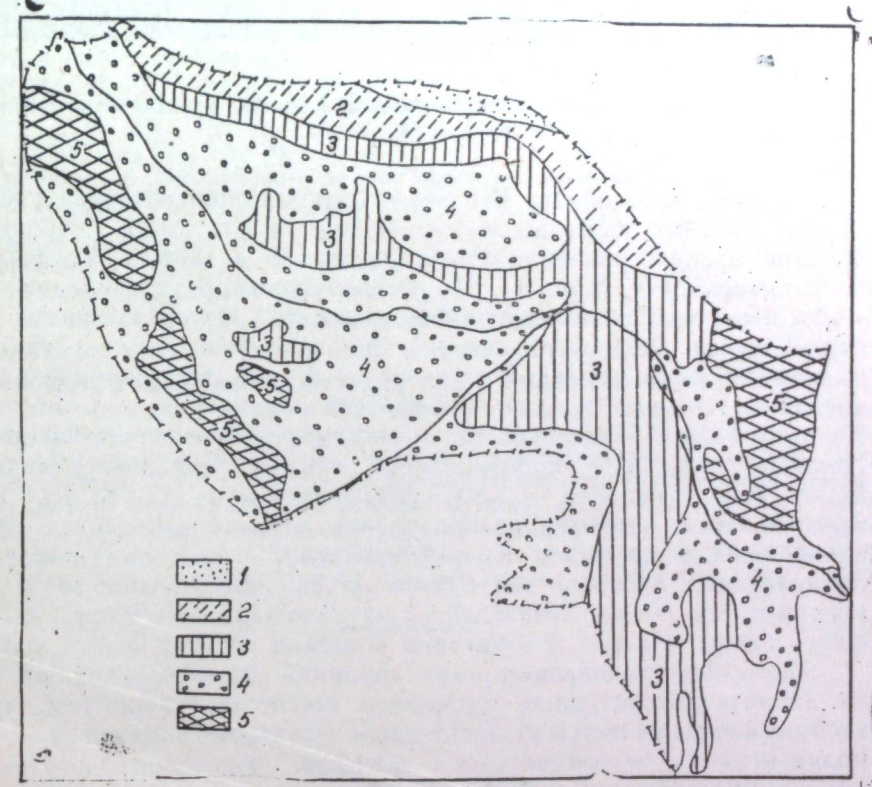


Рис. 1. Карта-схема распространения коркообразования в почвах Кура-Араксинской низменности.

1 — некоркующиеся почвы; 2 — слабокоркующиеся; 3 — среднекоркующиеся; 4 — сильнокоркующиеся; 5 — такыровидные.



Рис. 2. Почвенная корка под хлопчатником в лугово-сероземной почве Муганской степи.

Араксинской низменности [8]. На основании сопоставления указанных карт и полевых наблюдений составлена карта-схема наблюдаемых ареалов распространения коркообразования в почвах Кура-Араксинской низменности (рис. 1). По интенсивности распределения коркующие были выявлены следующие градации: некоркующиеся, слабокоркующиеся, среднекоркующиеся, сильнокоркующиеся и такировидные почвы. Произведенные расчеты площадей распространения каждой из выделенных градаций коркообразования показали, что из всей площади Кура-Араксинской низменности слабокоркующиеся почвы составляют 7,2%, среднекоркующиеся — 27,5%, сильнокоркующиеся — 51,3%, некоркующиеся — 1,2%, такировидные — 12,8%. Как показывают расчеты, характер распределения коркообразования в пределах одной зоны, в частности Кура-Араксинской низменности, неодинаков. Значительная площадь приходится на сильнокоркующиеся и среднекоркующиеся почвы, незначительную площадь занимают некоркующиеся почвы. На рис. 2 отчетливо показана общая форма корки.

На основе выявленных нами градаций коркообразования, а также анализа литературных источников можно констатировать, что коркообразование является существенным фактором, влияющим на плодородие почв, ее биологическую активность, жизнедеятельность растений и требующим дальнейшего научного исследования и определенных мер борьбы с ней.

Литература

1. Волобуев В. Р. Генетические формы засоления почв Кура-Араксинской низменности. Баку, «Элм», 1965.

2. Горбунов Н. И., Бекаревич Н. Е. Природа образования почвенной корки, меры борьбы с ней. «Почвоведение», № 4, 1951.

3. Горбунов Н. И., Бекаревич Н. Е. Почвенная корка при орошении хлопчатника. Изд-во АН СССР, № 1, 1955.

4. Гаджиев У., Сосновская В. П. Высокогорные такировидные почвы В. Памира и их минералогический состав. «Тр. Тадж. НИИ почвов.», № 21, 1980.

5. Гачаев Э. М. Корковые почвы нижнего бассейна р. Ахсучай и борьба с ними. МСХ Азерб. ССР. «Кенд Хаяты», 1967.

6. Давыдов К. Г. К вопросу об образовании поверхностной корки в связи с физико-химической характеристикой почв разной степени окультуренности. «Почвоведение», 1940, № 5.

7. Зайц О. М. Действие гипса и хлористого кальция на физико-химические свойства луговых корковых солонцов. «Вестник сельскогоспод. науки», 1974, № 1.

8. Искендеров И. Ш. Минералогический состав и физико-химические свойства почв Кура-Араксинской низменности. Баку, «Элм», 1977.

9. Изюмов А. Н. К вопросу о борьбе с почвенной коркой. «Почвоведение», 1938, № 10.

10. Константинов М. Д. Улучшение свойств корковых солонцов в мелиоративных севооборотах Южного Урала. «Вестник сельскохоз. науки», 1982, № 5.

11. Кущиаренко В. Е. Влияние химической мелиорации на водно-физические свойства коркового солонца содового гипса засоления. «Науч. тр. Омск, с-х ин-та», 1975.

12. Лавров А. П. О корковых песчаных пустынных почвах. Изд-во АН Турк. ССР, серия биол., 1965, № 5.

13. Мамедов Р. Г. Поглощенные катионы и их соотношение в почвах. Баку, «Элм», 1975.

14. Оглезнев А. К. Диагностическое значение ила корочек и почвы в связи с оценкой подзоло-и глиниобразования. «Почвоведение», 1971, № 12.

15. Negart T. W., Royle S. M. Combined effects of moisture content prior to compaction, compactive effect and rainfall quantity on soil crust strength. J. Soil Sci., 1978, № 2.

16. Tackett J. L., Pearson R. W. Some characteristics of soil crusts formed by simulated rainfall. «Soil Sci.», 1965, N. 6.

17. Sharma D. P. Effect of initial moisture content and conditions of drying and crust strength. «J. Indian Soc. Soil Sci.», 1978, N. 3.

Институт почвоведения
и агрохимии

И. Ш. Искендеров, Э. Н. Юсифов

КҮР-АРАЗ ДҮЗӘНЛИЈИНДӘ ГАЙСАГ ӘМӘЛӘ КӘТИРӘН ТОРПАГЛАРЫН ЈАҦЫЛМАСЫ

Мәгаләдә Күр-Араз дүзәнлијинде гайсаг әмәлә кәтирән тортагларың јаҦылмасы араллары шәрһ едилмишdir. Чөл тәдгигат вә камерал хәритәләшdirмә эсасында Күр-Араз дүзәнлијинде гайсаг әмәлә кәлмәје мејл көстәрән тортаглары градасијалары мүәјјәнләндирилмишdir. Тәдгигат иәтичасында айдын олур ки, дүзәнликдә јаҦылмаш тортагларын јарыдан чоху шиддәтли дәрәчәдә гайсаг әмәлә кәтирмәје мејл көстәрир. Бүтүн буилар кәләчек тәдгигатларда гайсагланманы јарадан амилләрни дүрүстәләшdirмәје вә онлара гарышы мүбаризә тәдбиrlарини елми эсасларыны арашырымага имкан варир.

ПОЧВОВЕДЕНИЕ: БОНИТИРОВКА ПОЧВ

Г. Ш. МАМЕДОВ

**АСПЕКТЫ КАРТИРОВАНИЯ КОРМОВЫХ ДОСТОИНСТВ
ПАСТБИЩ В ЦЕЛЯХ ЗЕМЕЛЬНОГО КАДАСТРА**

В связи с Продовольственной программой партии, выработанной XXVI съездом ЦК КПСС и мартовским (1982) Пленумом ЦК КП Азербайджана учет, картирование и оценка кормовых достоинств пастбищ и их нагрузка являются актуальными вопросами современности.

В Азербайджанской ССР главным источником кормов для отгонного животноводства являются естественные кормовые угодья. Несмотря на большой удельный вес этих угодий (52,8% от всей площади сельскохозяйственных угодий), продуктивность их в основном низкая и не обеспечивает растущих потребностей животноводства в кормовых травах. Это обусловлено бессистемным выпасом скота, отсутствием оценки качественного состояния пастбищ и их правильного картографирования, что приводит к угнетению и изреживанию травостоя, к низкой продуктивности естественных трав.

Растительный покров Мильской равнины подробно изучен А. А. Гроссгеймом [7, 8], Я. М. Исаевым [9], И. Н. Бейдеманом, З. Г. Беспаловой, А. Т. Рахманиной [4], Р. А. Алиевым, В. Д. Гаджиевым, Я. М. Исаевым, А. И. Майловым, Д. Г. Набили, Л. И. Прилипко [1], Р. А. Алиевым [2], Л. И. Прилипко [3]. Однако вопросы бонитировки кормовых угодий и их картирования остаются малоизученными как по всей стране, так и у нас в республике. А составление карт кормовых единиц впервые было проведено в одной из наших предыдущих работ [12].

Урожай кормовых угодий — это сложный продукт, получаемый от растений в результате определенного сочетания и взаимодействия природных свойств самого растения, экологических факторов и хозяйственной деятельности человека.

Определение урожайности кормовых угодий дает возможность правильно установить емкость пастбищ, степень обеспеченности пастбищным кормом и сеном поголовья скота в районах обследования. Выявление средней продуктивности очень сложно, так как она может сильно колебаться в зависимости от метеорологических условий того или иного года и половодья рек.

Проводимые наблюдения и собранные материалы по продуктивности кормовых угодий были сгруппированы в 10 рядов. Но в отличие от разряда по продуктивности корма И. А. Цаценкина наивысшим разрядом нами был принят не I, а X, что исходило из классов по бонитировке почв. И во избежание путаницы в работе мы считаем целесообразным наилучшим разрядом назвать десятый. Так как почвы,

Название кормовых угодий (фитоценозов)	Разряды и средняя урожайность корма, ц/га										I 1,5—0,5
	X >60	IX 60—50	VIII 50—40	VII 40—30	VI 30—20	V 20—12	IV 12—6	III 6—3	II 3—1,5	I 1,5—0,5	
Полынио-эфемеровый Эфемеровый	—	—	—	—	—	—	18,1	—	10,6	—	—
Полынио-древовидно- солниковый	—	—	—	—	—	—	—	—	8,6	—	4,4
Полынио-пересковидно- солниковый	—	—	—	—	—	—	—	—	—	—	—
Полынио-калперсово-эфемеровый Калперсово-эфемеровый с ме- тельчатой полынью	—	—	—	—	—	—	—	—	10,4	—	—
Калперсово-эфемеровый Полынио-калперсовый	—	—	—	—	—	—	—	—	—	10,2	—
Клевер-плевел (культурный вариант	—	—	—	—	—	—	—	—	13,4	12,5	—
											45,7

Разряды кормовых угодий Мильской равнины по урожайности сухой массы

Название кормовых угодий (фитоценозов)	Разряды и средняя урожайность корма, ц/га										I 1,5—0,5
	X >60	IX 60—50	VIII 50—40	VII 40—30	VI 30—20	V 20—12	IV 12—6	III 6—3	II 3—1,5	I 1,5—0,5	
Полынио-эфемеровый Эфемеровый	—	—	—	—	—	—	18,1	—	10,6	—	—
Полынио-древовидно- солниковый	—	—	—	—	—	—	—	—	8,6	—	4,4
Полынио-пересковидно- солниковый	—	—	—	—	—	—	—	—	—	—	—
Полынио-калперсово-эфемеровый Калперсово-эфемеровый с ме- тельчатой полынью	—	—	—	—	—	—	—	—	10,4	—	—
Калперсово-эфемеровый Полынио-калперсовый	—	—	—	—	—	—	—	—	—	10,2	—
Клевер-плевел (культурный вариант	—	—	—	—	—	—	—	—	13,4	12,5	—
											45,7

Таблица 1

Таблица 2

Питательная ценность кормовых растений Мильской равнины

№ № пп.	Название растений	Время взятия проб и период вегетации	Химический состав растений, %			Кормовая единица растений, кг	
			гигроско- пическая влага	протеин	жир		
1.	Плевел жесткий	18.VII 74, колош.	10,17	9,56	1,00	32,36	40,89
2.	Ковыль шовица	19.VI 74, колош.	11,41	4,31	0,61	34,01	47,60
3.	Мятлик луковичный	18.VI 74, колош.	11,41	5,06	0,98	33,35	43,49
4.	Костер японский	21.VI 74, колош.	9,37	8,06	0,82	30,17	46,14
5.	Ячмень заяцний	26.VI 74, колош.	9,40	4,19	0,90	29,34	49,04
6.	Люцерна малая ¹	18.III 58, плод.	—	21,27	4,65	17,85	42,97
7.	Люцерна посевной ²	СССР, средний	17,10	11,00	2,40	22,80	40,70
8.	Верблюжья колючка	26.VI 74, цвет.	10,21	11,19	1,21	25,79	44,28
9.	Каперсы колючие	12,16	14,44	3,19	17,61	41,56	7,32
10.	Кермек менера	28.VI 74, цвет.	10,74	12,50	0,77	13,59	49,34
11.	Полынь душистая	19.X 74, цвет.	10,34	4,38	3,50	22,32	52,49
12.	Полынь метельчатая ³	СССР, цвет.	18,40	8,40	2,30	28,70	32,80
13.	Разнотравье в зарежи	16,12	6,94	1,62	26,21	42,97	6,14
14.	Разнотравье в посеве	16,20	12,50	2,70	23,70	36,96	8,00
15.	Разнотравье в солянко- вых фитоценозах	8,96	3,38	0,60	34,96	45,47	6,63
16.	Солянка древовидная	19.X 74, цвет.	11,17	3,94	1,92	19,96	32,01
17.	Петросимония ветвистая	18.X 74, цвет.	12,89	10,69	1,03	10,13	31,73
18.	Солянка вересковидная	19.X 74, цвет.	16,04	5,06	1,20	20,10	41,30

¹ А. И. Майлова, 1965² М. Ф. Томмэ, 1964³ М. Ф. Томмэ, 1964⁴ М. Ф. Томмэ, 1964

имеющие показатели плодородия почв и тем самым дающие наивысший урожай по классам бонитета, были отнесены к X классу, это и есть почвы самого высокого качества. В нашей группировке X разряд принят как наивысший по урожайности (60 ц/га), соответствует 10-му классу бонитета (91—100 баллов) почв. Урожай в 60—50 ц/га — IX разряд, 50—40 ц/га — VIII, 40—30 ц/га — VII, 30—20 ц/га — VI, 20—12 ц/га — V, 12—6 ц/га — IV, 6—3 ц/га — III, 3—1,5 ц/га — II, 1,5—0,5 ц/га — I разряд (табл. 1).

Кормовое достоинство растений определяется их питательностью, перевариваемостью животными [10, 5, 2, 12 и др.].

Питательная ценность кормовых растений определяется их химическим составом и перевариваемостью (табл. 2). Обычно в хозяйствах единицей измерения общей питательности кормов считается условная кормовая единица. В СССР принята за стандарт кормовая единица, равная питательности 1 кг овса (150 г жира или 0,6 крахмала). Кроме того, показателем высокой питательности кормов служит также содержание перевариваемого протеина или белка.

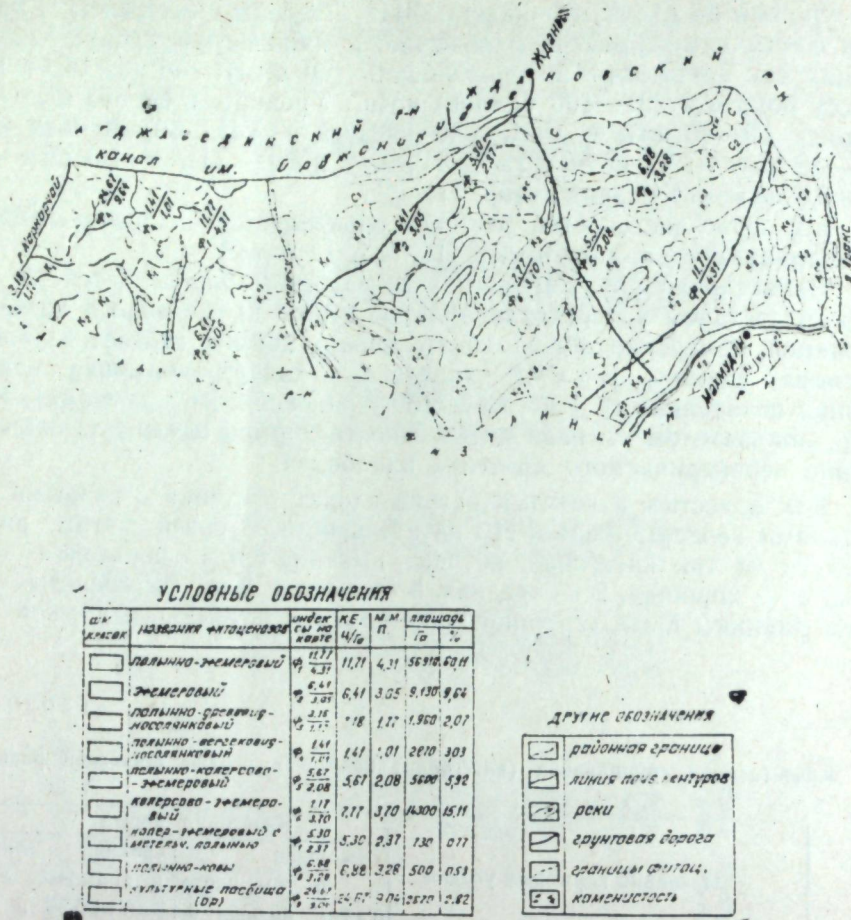
Как известно, в каждый разряд входят растения с разными показателями качества корма, его питательности. В связи с этим разряды делятся на три категории, которые выявляются по кормовым единицам: 1 — хорошая, 2 — средняя, 3 — низкая. Все фитоценозы Мильской равнины были сгруппированы по этим категориям кормов (табл. 3).

Таблица 3

Качественная группировка (категории) кормовых угодий Мильской равнины

№ № пп.	Название кормовых угодий	Категория корма		
		1-хорошая		2-средняя
		в том числе в кормовых единицах	0,45 и больше	0,45—0,35 и меньше
1.	Полынино-эфемеровые	0,65		
2.	Эфемеровые	0,61		—
3.	Полынино-древовидно- солянковые	—	0,37	
4.	Полынино-вересковидно- солянковые	—		0,32
5.	Полынино-каперсово- эфемеровые	0,55		
6.	Каперсово-эфемеровые	0,58		
7.	Каперсово-эфемеровые с метельчатой полынью	0,52		
8.	Полынино-ковыльные	0,55		
9.	Культурный вариант (клевер, плевел)	0,54	—	—

Как видно из табл. 3, например, полынино-эфемеровый фитоценоз относится к хорошей категории, а полынино-вересковидно-солянковый фитоценоз относится к низкой категории. Для наглядности достоинства отдельных фитоценозов необходимо составить карту кормовых единиц. Карттирование достоинства кормовых угодий производится по следующей продолжительности: 1) прямой учет урожайности по отдельным фитоценозам по разрядам (ц/га); 2) биохимический анализ



Карта кормовых единиц пастбищных угодий западной части Мильской равнины, по ботаническому составу и выявление достоинства по кормовым единицам отдельных фитоценозов (ц/га); 3) сгруппировать качества кормов по кормовым единицам (по категориям); 4) наконец, вышеперечисленное изобразить (отразить) на почвенной карте (рисунок).

Картограммы распределения кормовых единиц могут быть составлены прежде всего для кормовых угодий. Картографированию подлежат участки земель по указанным признакам. При этом на конкретном участке или почвенном контуре проставляется величина кормовой единицы.

Для карт кормовых единиц в легенде должны быть следующие дополнительные пункты: 1) название фитоценозов, 2) ежедневная потребность кормовых единиц на одну голову скота, 3) срок пастбища, 4) нагрузка пастбищ (количество голов скота на гектар угодья).

Такая карта научным и производственным организациям дает возможность знать названия фитоценозов, их продуктивность в кормовых единицах, нагрузку пастбищ, важных для рационального использования и проведения кадастровых работ в республике.

Литература

- Алиев Р. А., Гаджиев В. Д., Исаев Я. М., Майлова А. И., Набиев Д. Г., Прилипко Л. И. Улучшение и рациональное использование зимних и летних пастбищ Азербайджана. Изд. АН Азерб. ССР, Баку, 1965.
- Алиев Р. А. Зимние пастбища Азербайджана (на азерб. яз.). Баку, 1966.
- Андреев Н. Г. Луговое и полевое кормопроизводство. М., «Колос», 1975.
- Бейдеман И. Н., Беспалова З. Г., Рахманова А. Т. Эколого-геоботанические и агромелиоративные исследования в Кура-Араксинской низменности Закавказья. Изд. АН СССР. М.—Л., 1962.
- Гаджиев В. Д. Рекомендации по улучшению и использованию пастбищ сенокосов Азербайджанской ССР. Баку, 1966.
- Гаджиев В. Д., Исаев Я. М., Алиев Р. А., Майлова А. И., Богданов М. П. Кормовые растения сенокосов и пастбищ Азербайджана, т. II. Баку, 1969.
- Гроссгейм А. А. Геоботанический очерк Мильской степи. Изд. Наркомзема. Баку, 1930.
- Гроссгейм А. А. Растительный покров пастбищ Азербайджана и его коренные значения. Баку, 1932.
- Исаев Я. М. Полынная полупустыня зимних пастбищ Азербайджана. Тр. Ин-та ботаники АН Азерб. ССР, т. 20, 1957.
- Ларин И. В. Природные сенокосы и пастбища. М.—Л., 1969.
- Мамедов Г. Ш. Агроэкологическая характеристика и бонитировка пастбищных земель западной части Мильской равнины. Автореф. канд. дисс. Баку, 1978.
- Мамедов Г. Ш. Методы картирования при бонитировке почв для целей земельного кадастра. Материалы молодых ученых ИПиА АН Азерб. ССР, посв. 60-летию установл. советской власти в Азербайджане и образов. Компартии Азербайджана. Баку, 1978.
- Прилипко Л. И. Растительный покров Азербайджана. Изд.-во «Элм», Баку, 1970.
- Томмэ М. Ф. Корма СССР (состав и питательность). Изд.-во «Колос», М., 1964.

Институт почвоведения
и агрохимии

Г. Ш. Маммадов

ТОРПАГ КАДАСТРЫ МӘГСӘДИЛӘ ОТЛАГЛАРЫН ЈЕМЛИЛИК ДӘЈӘРЛИЛИИНИН ХӘРИТӘЛӘШДИРИЛМӘСИННИН АСПЕКТЛӘРИ

Отлагларын кејфијэтини даңа дүзкүн дәрк етмәк үчүн јем вайиди хәритәси тәртиб етмәк лазымдыр. Мәгаләдә отлагларын дәјәрлilikинин хәритәләшдирилмәсинин ашагыдағы ардычыллыгы апартымасы төвсүйә едилдір: 1) айры-айры биткиләрни мәңсүлдарлығынын еўрәнилмасы (с/га илә); 2) доминант јем биткиләрниң биокимјәви анализи вә айры-айры биткиләр үзәр үем вайидинин несабланмасы (с/га илә); 3) отлагларын кејфијётини јем вайидинә көрә груплаштырмаг (категорија көрә); 4) иңајэт, јухарыда көстәриләнләри торпаг хәритәси үзәринде экс етдирмәк:

ПОЧВОВЕДЕНИЕ

Т. А. МАМЕДОВ, С. П. АЛИЕВ

**СЕЗОННЫЕ ИЗМЕНЕНИЯ КАЧЕСТВЕННОГО СОСТАВА
ОРОСИТЕЛЬНЫХ ВОД КУРА-АРАКСИНСКОЙ НИЗМЕННОСТИ**

Изучались в динамике степень минерализации и питательные элементы поливных и речных вод Карабахской, Ширванской и Мильской равнины. Степень минерализации их колеблется в пределах 0,27—0,72 г/л.

Установлено, что на каждый гектар орошаемого поля поступает в среднем 2,14—4,30 кг аммиачного и 306—1,09 кг нитратного азота, 6,90—8,40 кг фосфора, 30,4—40,8 кг калия, 72—138 кг гумуса.

В Кура-Араксинской низменности недостаток атмосферных осадков вызывает необходимость искусственного орошения для развития земледелия. Многочисленные следы каналов и других оросительных сооружений свидетельствуют о древней культуре орошающего земледелия в Азербайджане. Существенную роль в генезисе орошаемых почв играет качество поливных вод и состав легкорастворимых солей. В Кура-Араксинской низменности материалы по исследованию качества поливных вод мы находим в работах некоторых исследователей [2, 7, 6, 1, 5 и др.]. Специальные исследования по качеству поливных вод были проделаны учеными Института почвоведения и агрохимии АН Азербайджанской ССР [8, 3, 4].

Длительное орошение привело к глубокому изменению почвенного покрова. Степень влияния орошения на состав и свойства почв данного объекта связана со многими факторами и прежде всего с качественным составом оросительных вод. Для выяснения влияния поливных вод на солевой состав и плодородие орошаемых почв нами были изучены в динамике степень минерализации, состав легкорастворимых солей и питательные элементы поливных вод.

В гидографическую сеть Карабахской равнины входят: р. Кура, канал Шихарх, Верхне-Карабахский и Ширванский каналы, в гидрографическую сеть Ширванской равнины — р. Геокчай и в Мугансую — Шаумяновский канал.

В 1977 г. степень минерализации поливных вод р. Куры, Верхне-Карабахского и Ширванского каналов составляла в среднем соответственно 0,53—0,58—0,48 г/л. В 1978 г. при третьем поливе степень минерализации поливных вод в этих же системах составляла 0,43—0,60—0,46 г/л, а в конце поливного сезона (IV полив) минерализация поливных вод увеличивается и доходит до 1,24—1,25 г/л.

В 1978 г. наблюдалось увеличение степени минерализации поливных вод, которая составляла в среднем 0,83—0,92 г/л. В среднем за 2 года количество легкорастворимых солей составляет в среднем 0,68—0,75—0,47 г/л. Поливные воды этого объекта имеют щелочную реакцию, pH 8,1—8,2 (табл. 1).

Гидрографическая сеть Карабахской научно-экспериментальной базы КНЭБ представлена бассейном р. Тертерчай и отделена от него ка-

Таблица 1

**Химический состав поливных вод
(усредненные данные, г/г)**

Место взятия проб	Плотный остаток	HCO ₃	Cl	pH
Верхне-Карабахский канал	0,75	0,15	0,03	8,2
Река Кура	0,68	0,18	0,03	8,2
Река Геокчай	0,65	0,17	0,02	8,4
Шаумяновский канал	0,72	0,22	0,07	8,4
Ширванский канал	0,47	0,18	0,07	8,2
Канал Шихарх	0,27	0,17	0,01	8,3
Казиянархский канал	0,456	0,169	0,04	8,1

**Поступление веществ на орошаемую территорию
с поливными водами в кг/га при оросительной норме 6000 м³/га**

Верхне-Карабахский канал	450	906	231
Ширванский канал	2808	1140	459
Канал Шихарх	1632	996	48
Река Геокчай	3642	1041	111
Шаумяновский канал	4320	1302	438

налом Шихарх. Вода этих источников слабо минерализована (в среднем 0,3 г/л). Реакция воды щелочная (pH 8,3).

Степень минерализации поливной воды р. Геокчай (объект — Уджарский опорный пункт ИПиА АН Азербайджанской ССР) в 1977 г. составляла в среднем 0,45 г/л, а в 1978 г. увеличилась до 0,76 г/л. Таким образом, за два года минерализация поливных вод составила в среднем 0,68 г/л. Поливная вода р. Геокчай имеет щелочную реакцию (pH 8,4).

Степень минерализации поливной воды Шаумяновского канала (Муганская опытно-мелиоративная станция) составляла в среднем в 1977 г. 0,46 г/л, в 1978 г. она увеличилась и достигла 0,98 г/л. В среднем за два года концентрация солей в поливной воде этого объекта составляла 0,72 г/л. Поливная вода Шаумяновского канала щелочная (pH 8,5). По степени минерализации поливные воды каналов им. Шаумяна и Шихарх имеют определенные различия. Из этого можно сделать вывод, что воды канала Шихарх (КНЭБ) слабо минерализованы—0,3—0,5 г/л. По составу солей они преимущественно гидрокарбонатны, относительно богаты кальцием.

Поливные воды оросительных систем Муганской опытно-мелиоративной станции, источником орошения которой является канал им. Шаумяна, имеют степень минерализации больше (в среднем 0,4—0,7 г/л), чем воды канала Шихарх.

Степень минерализации поливных вод Казиянархского канала (1981 г.) составляет в среднем 0,46 г/л.

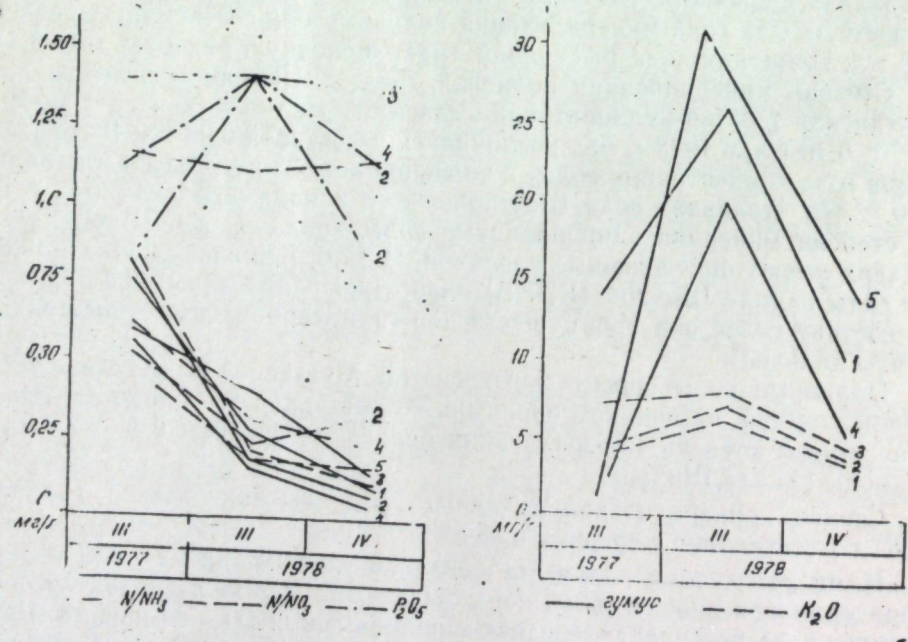
Нами рассчитано количество солей, поступающих на один гектар территории при оросительной норме 6000 м³/га. На каждый гектар орошающего поля поступает в среднем с поливными водами из канала Шихарх, Верхне-Карабахского и Ширванского каналов соответственно 1632—2808—450 кг солей. Из источника орошения канала им. Шаумяна на каждый гектар орошающего поля с оросительными водами поступает в среднем 4320 кг солей.

Многовековой опыт орошения показывает, что воду, содержащую менее 1 г/л солей, можно с уверенностью применять для полива сельскохозяйственных культур в условиях нормального дренажа, поскольку она не приводит к засолению почв после испарения. При хороших условиях естественного дренажа и нормальной технике орошения, такая вода поддерживает высокий уровень плодородия.

Нами для выяснения качества поливных вод в динамике изучены: азот нитратный и аммиачный, воднорастворимый гумус, фосфор и калий. В программу наших исследований входит также расчет содержания питательных элементов, приносимых ежегодно поливными водами на каждый гектар орошающего поля.

В 1977 г. в конце поливного сезона (в третьем поливе) воды р. Куры, Верхне-Карабахского и Ширванского каналов содержали 0,77—0,78 г/л аммиачного, 0,54—1,45 мг/л нитратного азота, 0,85—1,70 мг/л воднорастворимого фосфора, 4,22—3,61 мг/л калия и 14—15 мг/л гумуса, а воды р. Геокчай и Шаумяновского канала содержат в среднем 0,58—0,59 мг/л аммиачного и 0,87 мг/л нитратного азота, 1,15—1,40 мг/л воднорастворимого фосфора, 3,61—7,23 мг/л калия.

В 1978 г. поливные воды канала Шихарх, р. Куры, Верхне-Карабахского и Ширванского каналов содержали в конце поливного сезона (III полив) соответственно 0,21—0,19—0,29—0,39 мг/л аммиачного, 0,33—0,25—0,33—0,35 мг/л нитратного азота, 1,40—1,4—1,15 мг/л воднорастворимого фосфора, 4,58—7,23—6, 27—6,51 мг/л калия, 3—26—12 мг/л воднорастворимого гумуса. При четвертом поливе в большинстве случаев наблюдается резкое понижение указанных показателей (рисунок).



Закономерности изменения питательных элементов в поливных водах Кура-Араксинской пизменности.

1 — Верхне-Карабахский канал, 2 — река Кура; 3 — Ширванский канал; 4 — река Гекчай; 5 — Шаумяновский канал.

Поливные воды р. Геокчай (Ширванской равнины) и Шаумяновского канала (Муганская степь) содержали 0,19—0,39 мг/л аммиачного, 0,25—0,20 мг/л нитратного азота, 1,15—1,40 мг/л фосфора, 6,51—8,19 мг/л калия, 20—30 мг/л воднорастворимого гумуса. Показатели pH водной суспензии указывают на щелочную реакцию, 7,4—8,6.

В 1977 г. по сравнению с 1978 г. наблюдается увеличение в поливных водах аммиачного и нитратного азота, воднорастворимого гумуса и калия. Воднорастворимый фосфор почти не изменяется.

Поливные воды канала Шихарх, р. Куры, Верхне-Карабахского и Ширванского каналов содержали в среднем 0,21—0,46—0,49—0,58 мг/л аммиачного, 0,33—0,42—0,43—0,9 мг/л нитратного азота, 1,40—1,06—1,13—1,42 мг/л воднорастворимого фосфора, 4,58—4,82—4,58—5,06 мг/л воднорастворимого калия, 25,5—16,0—13,0 мг/л воднорастворимого гумуса.

Поливные воды р. Геокчай и Шаумяновского канала содержали в среднем 0,36—0,72 мг/л аммиачного, 0,51—0,18 мг/л нитратного азота, 1,15—1,40 мг/л воднорастворимого гумуса.

Если сравнить эти два объекта — Карабахскую равнину (КНЭБ) и Муганскую равнину (МОМС), то можно сделать вывод, что воды оросительных систем первого объекта богаты нитратным азотом по сравнению со вторым. В свою очередь поливные воды Муганской равнины богаты аммиачным азотом и воднорастворимым гумусом. С поливными водами канала Шихарх Верхне-Карабахского и Ширванского каналов на каждый гектар орошающей территории ежегодно приносится в среднем 1,28—1,96—3,49 кг аммиачного, 1,96—2,57—5,42 кг нитратного азота, 8,40—6,78—8,52 кг фосфора, 27,5—27,5—30,4 кг калия и 96—97 кг гумуса (табл. 2).

Таблица 2

Питательные элементы поливных вод (усредненные величины, мг/л)

Место взятия проб	N-NH ₃	N-NO ₃	P ₂ O ₅ воднорастворимый	K ₂ O воднорастворимый	Гумус воднорастворимый
Верхне-Карабахский канал	0,49	0,43	1,13	4,58	16,0
Ширванский канал	0,58	0,90	1,42	5,06	13,0
Шаумяновский канал	0,72	0,18	1,40	6,80	23,0
Канал Шихарх	0,21	0,33	1,40	4,58	—
Река Геокчай	0,36	0,51	1,15	5,06	12,0
Казилярхский канал	0,13	0,46	0,61	2,71	26,8

Поступление веществ на орошающую территорию с поливными водами в кг/га при оросительной норме 6000 м³/га

Верхне-Карабахский канал	2,96	2,57	6,78	27,5	96
Ширванский канал	3,49	5,42	8,52	37,4	78
Шаумяновский канал	4,39	1,09	8,40	40,8	138
Канал Шихарх	1,28	1,96	8,40	27,5	—
Река Геокчай	2,14	3,06	6,90	30,4	72

С поливными водами р. Геокчай Ширванской равнины и Шаумяновского канала Муганской равнины на каждый гектар орошающего поля поступает в среднем 2,14—4,30 кг аммиачного и 3,06—1,09 нитратного азота, 8,40—10,92 мг/л фосфора, 27,5—30,4 кг калия и 96—97 кг гумуса.

ратного азота, 6,90—8,4 кг фосфора, 30,3—40,8 кг калия, 72—138 кг гумуса.

Питательные элементы Казиинархского канала составляют в среднем (1981 г.) 0,13 мг/л аммиачного и 0,49 мг/л нитратного азота, 0,61 мг/л воднорастворимого фосфора, 2,71 мг/л воднорастворимого калия. Показатели pH (8,1) водной суспензии указывают на щелочную реакцию.

В целом полученные данные дают количественную оценку поступления питательных элементов с поливными водами и потерей их из почвы с фильтрующимися водами, что необходимо иметь при установлении баланса питательных элементов на орошаемых серо-коричневых лугово-сероземных почвах.

Литература

1. Абдуев М. Р., Нагиев П. Ю. Изменение солевого режима почв в условиях оросительной системы им. Орджоникидзе Мильской степи. «ДАН Азерб. ССР», т. XXII, № 7, стр. 272. Изд-во АН Азерб. ССР, 1966.
2. Агаев Б. М. Солевой состав вод артезианских скважин, кягрисов и Карабахской степи в связи с использованием их для орошения. Изд-во АН Азерб. ССР, № 6, 1958.
3. Бабаев М. П., Мамедова Т. А. Качество поливных вод и ирригационных иносолов Мильско-Карабахского оазиса. «Почвоведение», № 11, стр. 92—97, М., 1977.
4. Бабаев М. П., Мамедова Т. А., Алиев С. П. Особенности миграции веществ в орошаемых серо-коричневых почвах Карабахской равнины. «Изв. АН Азерб. ССР», № 4, стр. 27—31, 1982.
5. Гасанов В. Г. Состав и сезонные изменения минерализации речных, грунтовых и родниковых (Карасу) вод поймы р. Куры (в пределах Кировабад-Казахского массива). «Изв. АН Азерб. ССР», № 3, стр. 65—71. Изд-во «Элм», 1972.
6. Мамедов Р. Г. Солевой состав речных, грунтовых, кягрисовых и колодезных вод Приаркениской зоны. «Изв. АН Азерб. ССР», 1965, № 2.
7. Рустамов С. Г. Реки Азербайджанской ССР и их гидрологические особенности. Баку, 1970.
8. Салаев М. Э., Бабаев М. П. История орошающего земледелия и некоторые особенности культурного почвообразования в древних оазисах Кура-Аракениской низменности. Тезисы докладов Всесоюзной научной конференции по изучению систем земледелия. М., 1973.

Институт почвоведения
и агрохимии

Т. А. Мамедов, С. П. Элиев

КҮР-АРАЗ ДҮЗӘНЛИЖИННИ СУВАРМА СУЛАРЫНЫН КЕЙФИЙДІ ТӘРКИБИНИН МӨВСҮМИ ДӘЖИШМӘСИ

Мөвсүми олар Гарабаг, Ширван вә Мил дүзәнлижинни суварма суларынын дузлашма дәрәчәси вә гида маддәләри өјрәнилмишdir. Оларын дузлашма дәрәчәси 0,27—0,72 г/л арасында тәрәддүд едир.

Мүэйжән едилмишdir ки, һәр hektaр суварылан саһәjә орта несаба 2,14—4,30 кг аммиак вә 3,06—1,09 кг нитрат азоту, 6,90—8,40 кг фосфор, 30,4—40,8 кг калиум, 72—138 һумус кәтирилмишdir,

АЗӘРБАЙЧАН ССР ЕЛМЛӘР АКАДЕМИЈАСЫНЫН ХӘБӘРЛӘРИ
Биология елмләри сериясы, 1984, № 1

ИЗВЕСТИЯ АКАДЕМИИ НАУК АЗЕРБАЙДЖАНСКОЙ ССР
Серия биологических наук, 1984, № 1

УДК 576.890.19

ПАРАЗИТОЛОГИЯ

Д. М. ИСАЗАДӘ

АЗӘРБАЙЧАН ССРДИ АЧЫНОҮР ДҮЗҮНДӘ ГОУНЛАРЫН ЕЖЕРИЯ ФАУНАСЫ

Мәгаләдә беш ил мүддәтидә Ачыноүр дүзүндә гаракүл вә јерли гоунларда апaryмыш тәдгигат ишләриниң иәтичәләри верилмишdir. Мүэйжән олумышдур ки, бу гоунларда ежерија чинсендән 7 нөв коксidi паразитлик едир (*Eimeria ahsata*, *E. bacuensis*, *E. crandallis*, *E. faurei*, *E. intricata*, *E. ovis*, *E. parva*).

Бу коксидиләрни осиста вә спорларынын бүзү морфологи әlamәтләри республиканын башга рајонларында яйлымыш нөвләрдән фәргләнир.

Азәрбајчанды илк дәфә гоунларда ежерија чинсеннi ики нөвүнү (*E. faurei*, *E. intricata*) кечмиш Газах гәзасында Н. А. Богаевленски вә онун әмәкдашлары [1] ашкар етмишләр. В. И. Йакимов [4]. Зурнабад вә Желендорф яшәйш мәнтә-гәләрнән әразисиндә (иңдике Хашлар раionу) гоунларда беш нөв гејд етмишdir. (E. aetula, E. faurei, E. gallozo, E. intricata, E. ninaohlyakimovae).

М. Э. Мусаев, М. Э. Мәммәдов [5]: Губа—Хачмаз зонасында гоунларда 7 нөв (E. arloingi, E. crandallis, E. faurei, E. ganulosa, E. ninaohlyakimovae E. parva, E. ahsata) тапшылшлар.

Бу мәгаләдә 1976—1980-чи илләрдә Ачыноүр дүзүндәки Шәки колхозларасы гоунчулуг бирлигинде вә Шәки раionунун М. Ф. Ахундов адына колхозунда 1861 баш гоундан, о чүмләдән 1075 баш гаракүл вә 789 баш јерли гоунлардан топланмыш матерналларын тәдгигинин иәтичәләри верилмишdir.

Нөвләри тә'јин едәркән ежеријаларын дар саһиб спесификлиji әсас көтүрүлмүш вә М. Э. Мусаев [2] тәрәфиндән ирәли сүрүлмүш принцип рәhәр тутулыштур.

Тәдгигат иәтичәсindә гаракүл вә јерли гоунларда 7 нөв ежерија мүэйжән едилмишdir: E. ahsata, E. bacuensis, E. crandallis, E. faurei, E. intricata, E. ovis, E. parva.

Иң ики групп гоунларда тапылмыш ejni нөв коксidi осисталарынын морфологи әlamәтләri ejni олдугуна көрә биз ашағыда бунларын үмуми характеристикасыны веририк. Апардыгымыз тәдгигатлар иәтичәсindә мүэйжән олумышдур ки, гаракүл вә јерли гоунларын осиста вә спорлары өлчүларында көрә бир-бириндән фәргләнир (чәдвәл).

Азәрбајчанды өјрәнилмиш вә алдыгымыз дәлилләрә әсасән һәмин иөвләрин осисталарыны мугајисә едәk. Лакин осиста вә спорларын өлчүләrinde фәрг олдугу учун бу мә'лumatlar гаракүл вә јерли чинс гоунлар учун айры-айры верилмишdir.

Алдыгымыз мә'лumatlары биз әvvәllәr Azәrbaјchanda өјрәнилмиш мұвағиғи нөвләрин осисталары илә мугајисәli шәкилдә веририк.

E. ahsata Honess 1942. 23 саһибдән чәми 93 спорлашмыш осиста, о чүмләдән 8 баш гаракүл гоунундан 58, 15 баш јерли гоундан исә 35 осиста тәдгиг едилмишdir.

Ачыноүр дүзүндә вә Губа—Хачмаз зонасында сахланылан гоунлардан тапылмыш E. ahsata осисталарынын морфологи әlamәtләri демәк олар ки, ejnidir. Фәрг анчаг ондан ибәрәтдир ки, бизим материалларда әксәр осисталарда гүтб дәнәчији вә спорлар арасында һәмиша галыг маддә мушаһидә едилir, осисталарын өзләri, форма индексләri дә иисбәтән бир гәдәр кичикdir.

1.	Оосистанның морфологиялық алмасатлары	<i>E. alisata</i>	<i>E. crandallii</i>
2.	Оосистанның форма вә ранкы	Овал, узунсон-еллис-пары, дартымшы, сарылтыл	Овал, дартымшы-еллисвары, сарылтыл-тәнбөйін Икиконтурулу, намар
3.	Оосистанның өртүйү,	Икиконтурулу, намар, 2 мкм.	Икиконтурулу, намар, намар.
4.	Оосистанның елчүсү (орта гүмәттә), мкм-лә	Г. 33,1±0,42× 23,9±0,46 J. 31,81±0,26× 20,24±0,46 Г. 1,403±0,013 J. 1,43±0,014	Г. 25,74±0,21× 19,16±0,21 J. 28,95±0,18× 19,5±0,16 Г. 1,57±0,012 J. 1,52±0,012
5.	Оосистанның узуи, енниң индекси.	—	—
6.	Гүбдә данәнчүү	Бар	Бар
7.	Микропилл	—	Бар
8.	Папатычының елчүсү, мкм-лә	Вар. Бар 4-8×2	Вар. Бар 6,0-8,0×2,0
9.	Дәйрмамдыктың диаметри	—	—
10.	Оосистанның галыгын маддасы	Бар Нөвдә айры гранула шаклинде	Бар Нөх
11.	Споруның формасы	Овал Г. 12,44±0,19X 7,39±0,23	Овал Г. 10,85±0,12X 8,25±0,07
12.	Споруның елчүсү (орта гүмәттә), мкм-лә	J. 12,94±0,16X 7,68±0,21	J. 11,37±0,14X 8,36±0,10
13.	Спорда галыгын мадда	—	—
14.	Спорда Штилдіев чиеси	Веркульвары Г. 5,0×3,0 J. 5,5×3,4	Пахлававары Г. 4,5×3,5 J. 5,0×3,0
15.	Спорозоиддин форма вә елчүсү (орта гүмәттә) мкм-лә	—	—

Чаңдаудын арбы			
1	<i>E. faurei</i>	<i>E. intricata</i>	<i>E. ninaeckohuakimovaе</i>
2.	Овал, ачын сары, бозумтул,	Еллисвары, сары-нарыны, тәнбөйін Чоконтурулу, көпделген хөтвары, енди, 3-4 мкм.	Дәйрмам, гыска, елли-песвары, болумтул Икиконтурулу, намар
3.	Икиконтурулу, намар,	Г. 33,82±0,79× 24,32±0,71 J. 33,69±0,42× 23,04±0,44	Г. 23,36±0,12× 19,78±0,13 J. 22,2±0,14X 17,96±0,13
4.	Г. 26,39±0,29 18,48±0,20 J. 29,63±0,28× 22,08±0,25	Г. 1,41±0,02 J. 1,53±0,04	Г. 1,38±0,032 J. 1,49±0,015
5.	—	Тез-тез раст кэлтіншір	—
6.	Бағын раст каллнір	Бар Бар 4-6X3	Бар Бар Бар
7.	Вар. 2-4	—	(Аз-аз налда)
8.	Бар	—	Бар
9.	—	—	Бар
10.	Бар	—	Бар
11.	Архудвары	—	Бар
12.	Г. 10,23±0,15X 6,03±0,10 J. 12,97±0,14× 9,23±0,10	Г. 14,07±0,38X 8,48±0,06 J. 3,0±0,27X 8,03±0,23	Г. 8,43±0,08X 5,55±0,06 J. 8,83±0,11X 4,56±0,06
13.	—	—	Бар
14.	Вар.	—	Бар
15.	Веркульвары Г. 5,0×3,0 J. 5,14×3,43	Веркульвары, пахлававары Г. 7,0×4,33 J. 6,13×3,75	Веркульвары, пахлававары Г. 4,5×3,0 J. 3,63×2,0

Гейд: Г — гаралкүл гојуну.
J — жерлі гојун.

E. bacuensis Musajev, [2] (синоним *E. arloingi*), Marotel, 1905, Martin, 1909. 63 баш гојундан 340 спорлашмыш оосиста өјрәнилмишdir (32 баш гаракүл гојунундан, 187, 31 баш јерли чинсдән исә 153 оосиста).

Нәр ики груп гојунлардан өлчүлмүш оосисталарын морфологи эла. мәтләри, форма индексләри вә һәмчинин гаракүл гојунларынын оосиста вә спорларынын өлчүләри Губа-Хачмаз зонасында әлдә едилмиш көстә. ричиләрлә тамамилә уйғун кәлир. Јерли чинс гојунларын оосисталарынын өлчүләри исә мугајисә едиләнләрдән бир гәдәр бөйүкдүр.

E. crandallis Honess, 1942. 46 баш гојундан 178 спорлашмыш оосиста өлчүлмүшдүр (27 баш гаракүл гојунундан 144, 18 баш јерли чинсдән исә 64 оосиста).

Ачыноһур дүзүндә топланмыш *E. crandallis* оосисталарынын әксәр морфологи әламәтләри Губа-Хачмаз зонасында оосисталара уйғун кәлир [3]. Фәрг анчаг ондан ибарәтдир ки, бизим материалларда бә'зән ичәрисиндә 3—5 гутб дәнәчији олан оосисталара тәсадүф едилir. Бу гутб дәнәчикләри оосисталарын мухталиф јерләриндә јерләшир.

E. faurei (Moussi et Morotel, 1902) Martin, 1909. 37 баш гојундан 188 спорлашмыш оосиста өлчүлмүшдүр. (20 баш гаракүл гојунундан 92, 17 баш јерли чинсдән 96 оосиста). Бу оосисталарын рәнкләри вә өртујүн гурулушу В. Л. Йакимов [4] вә М. Э. Мусајев, М. Э. Мәммәдовынын [3] вердији мә'луматлара уйғун кәлир. Лакин бунлар Йакимовун өјрәндии оосисталардан кичик олмасы вә тәк-тәк һалда гутб дәнәчијинин вә папагчығын олмасы илә фәргләнир. Губа-Хачмаз зонасы материалларындан исә оосиста өртујүн галынылығы вә бә'зән микропил яхынылығында гутб дәнәчијинин олмасы илә фәргләнир. Гаракүл гојунлары оосисталарынын өлчүләри Губа-Хачмаз зонасында оосисталарынын өлчүләриндән бөյүк, јерли чинс гојунларын оосисталарындан кичикдир.

E. intricata Spiegl, 1925. 17 баш гојундан 69 спорлашмыш оосиста тәдгиг едилмишdir (6 баш гаракүлдән 22 оосиста, 11 баш јерли чинс гојундан 47 оосиста).

E. intricata оосисталарынын гурулушу Йакимовун [4] мә'луматлары илә уйғун кәлир. Фәрг анчаг ондан ибарәтдир ки, бизим материалларда оосисталарын өлчүләри хејли кичикдир вә онларда бә'зән гутб дәнәчији мушаһидә едилir.

E. ovis Musajev, [2] (синоним *E. pinaekohlyakimovae*, Yakimoff e Rastegaleff, 1930). 105 саһибдән 506 спорлашмыш оосиста өјрәнилмишdir (58 гаракүлдән 327, 48 јерли чинс гојундан 233 оосиста). Бу оосисталары Йакимовун [4] Ханлар рајону әразисиндә топладығы *E. pinaekohlyakimovae* оосисталары илә мугајисә етдикдә көрүрүк ки, бунлар морфологи чәһәтчә уйғундуру, фәрг анчаг бизим оосисталарын бир гәдәр кичик олмасы илә өртујүн рәнкиндә вә бә'зиләриндә гутб дәнәчијинин олмасынадыр.

Ачыноһур дүзүндә өјрәнилмиш *E. pinaekohlyakimovae* оосисталары Губа-Хачмаз зонасында өјрәнилмиш *E. pinaekohlyakimovae* оосисталарындан оосиста өртујүнүн рәнкинә, оосиста вә спорларын өлчүләрина форма индексинин чох кичик мигјасда дәжишмәсінә вә бә'зән гутб дәнәчијинин олмасына кәрә фәргләнир.

E. parva Kotlan, Mocsy Vajala, 1929. 22 баш гојундан 111 спорлашмыш оосиста өлчүлмүшдүр (10 баш гаракүл гојунундан 42, 12 баш јерли чинсдән 69 оосиста). Ачыноһур дүзүндән топланмыш *E. parva* оосисталары илә Губа-Хачмаз зонасында өјрәнилмиш оосисталар арасында

көзә чарпаҹаг фәрг јохдур. Аңчаг Ачыноһур дүзүндәки гојунлардан топланмыш оосисталарда бә'зән гутб дәнәчијә раст кәлнир. Оосиста вә спорларын өлчүләри исә Губа-Хачмаз зонасында оосисталардан бир гәдәр кичикдир.

Нәтичә

1. Ачыноһур дүзүндә гаракүл вә јерли чинс гојунларда 7 нөв ејмерија паразитлик едир: *E. ahsata*, *E. bacuensis*, *E. crandallis*, *E. faurei*, *E. intricata*, *E. pinaekohlyakimovae*, *E. parva*.

2. Гаракүл вә јерли чинс гојунларда, еләчә дә Азәрбајҹанын мұхталиф тәбии зоналарында тапылмыш гојунларын ејни нөв ејмерија оосисталары бир-бириндән өлчүләри илә фәргләнир.

Әдәбијат

1. Богоявленский Н. А., Карленко С. Н., Шхиян Г. К. К вопросу о кокцидионосительстве у овец Казахского уезда (в Азербайджане). «Русск. журн. тропич. мед.», 1929, I.

2. Мусаев М. А. Специфичность кокцидий к хозяевам и некоторые вопросы их таксономии. «Изв. АН Азерб. ССР, серия биол. наука», № 2, 1970.

3. Мусаев М. А., Мамедова М. А. Видовой состав кокцидий овец в Куба-Хачмасской зоне Азербайджанской ССР. «Изв. АН Азерб. ССР, серия биол. наука», 1980, № 1.

4. Якимов В. Л. Кокцидиоз мелкого рогатого скота в Азербайджане. Тр. Азерб. вет. НИИ, сб. I, вып. I. Баку, 1934.

Д. М. Иса-заде

ФАУНА ЭПМЕРИИ ОВЕЦ В АДЖИНОУРСКОЙ СТЕПИ АЗЕРБАЙДЖАНСКОЙ ССР

В статье приводятся результаты исследований на кокцидионосительство караульских овец и овец местной породы в Аджиноурской степи Азербайджанской ССР.

В результате исследований было выявлено семь видов кокцидий из рода *Eimeria*, *E. ahsata*, *E. bacuensis*, *E. crandallis*, *E. faurei*, *E. intricata*, *E. pinaekohlyakimovae*, *E. parva*.

ГИДРОБИОЛОГИЯ

С. И. МАМЕДОВА

К ФАУНЕ ОЛИГОХЕТ ВОДОЕМОВ
ШЕКИ-ЗАКАТАЛЬСКОЙ ЗОНЫ АЗЕРБАЙДЖАНА

Фауна олигохет водоемах Шеки-Закатальской зоны представлена 24 видами, относящимися к 3 семействам и 12 родам, из которых 12 видов отмечаются впервые для пресных водоемов Азербайджана и 2 — как новые для пресноводной фауны Кавказа. По видовому разнообразию на 1-м месте стоят водоемы Закатальского форелевого хозяйства — 15 видов, на 2-м — разливы родника Карабулаг — 14 видов, и на 3-м — Джалафарабадское водохранилище — 13 видов.

Фауна олигохет водоемов Азербайджана изучена слабо. В книге «Животный мир Азербайджана» А. Н. Державиным [1] указывается всего 8 видов пресноводных олигохет. Позже А. Г. Касымовым [2] для Нижней Куры и Мингечаурского водохранилища отмечается 15 видов. В озерах северо-восточного склона Малого Кавказа Р. А. Сафаровым [5], А. Г. Касымовым, Н. Б. Талыбовым [4] было найдено 6 видов олигохет. В работе А. Г. Касымова [3] «Пресноводная фауна Кавказа» для пресноводных водоемов Азербайджана отмечено 18 видов олигохет.

В основу данной работы положены материалы, собранные в 1981—1982 гг. в реках, озерах, родниках и временных водоемах Шеки-Закатальской зоны республики. Всего было обработано около 140 проб, собранных из 23 водоемов различного типа. Сбор червей производился с помощью скребка и сачка. Собранные пробы промывались через сито (газ № 21). Кроме того, олигохеты собирались с поверхности камней и водной растительности. Для обнаружения мелких видов пробы рассматривались под бинокуляром МБС-1. Определение видовой принадлежности исследованных червей проводилось при помощи определителя О. В. Чекановской [6].

Литературные сведения о фауне олигохет водоемов этой зоны весьма бедны. Они ограничиваются лишь данными А. Г. Касымова (1965), которым для р. Агричай указано 2 вида олигохет — *Pristina longiseta* (Ehr.) и *Ophidonais serpentina* (Mull.).

Проведенные исследования в водоемах Шеки-Закатальской зоны показали, что фауна олигохет в них представлена 24 видами, относящимися к 3 семействам и 12 родам (табл. 1), из которых 12 видов отмечаются впервые для пресных водоемов республики. Это 6 видов из сем. *Tubificidae* (*L. helveticus*, *P. bavaricus*, *P. ferox*, *P. albicola*, *A. plurisetosa*, *A. pigueti*), 5 видов из сем. *Naididae* (*N. simplex*, *N. elinguis*, *N. pardalis*, *D. digitata*, *S. appendiculata*) и 1 вид из сем. *Enchytraeidae* — *E. albidus*, который разводят в большом количестве на лососевых и осетровых заводах республики как живой корм для молоди рыб, однако он не указан для пресных вод Азербайджана. Из указанных выше видов *S. appendiculata* и *D. digitata* отмечаются впервые для фауны Кавказа.

Таблица 1

Видовой состав и распределение олигохет по различным водоемам Шеки-Закатальской зоны

РЕКИ	РОДНИКИ			ОЗЕРА			Джафар- абадск. водо-ше					
	Агри- чай	Тала- чай	Кара- чай	Кара- булаг	Кырх булаг	Оба- булаг						
Название видов	2	3	4	5	6	7	8	9	10	11	12	13
<i>Cem. Niadidae</i>												
<i>Nais simplex</i> Piguet												
<i>N. communis</i> Piguet												
<i>N. elinguis</i> Müller												
<i>N. pardalis</i> Piguet												
<i>N. sp.</i>												
<i>Stenaria lacustris</i> L.												
<i>Dero digitata</i> (Müller)												
<i>Slavina appendiculata</i> (Udek.)												
<i>Pristina rosea</i> (Piguet)												
<i>P. longiseta</i> Ehr.												
<i>Cem. Tubificidae</i>												
<i>Limnodrilus hoffmeisteri</i> C. Ia. P.												
<i>L. udekemianus</i> C. Ia. P.												
<i>L. claparedensis</i> Ratzl.												
<i>L. helvetica</i> Piguet												
<i>Potamothrix hammoniensis</i> (Mich.)												
<i>P. bavaricus</i> Oesch.												
<i>P. sp.</i>												
<i>Peloscolex ferox</i> (Eisen.)												
<i>L. helvetica</i> tubifex (Müller)												
<i>T. fmn. sp.</i>												
<i>Psammoryctides albicola</i> (Mich.)												
<i>Aulodrilus pigueti</i> Kovalev.												
<i>A. plurisetosa</i> (Piguet)												
<i>Cem. Enchytraeidae</i>												
<i>Enchytraeus albidus</i> H. Nelle												
Bero												

Среди исследованных водоемов по видовому разнообразию на 1-м месте стоят водоемы Закатальского форелевого хозяйства — 15 видов, на 2-м — разливы родника Карабулаг — 14 видов, на 3-м — Джадарабадское водохранилище — 13 видов. В руслах горных рек обнаружить олигохеты не удалось, так как в них наблюдается высокая скорость течения и мутность воды, что отрицательно влияет на фауну олигохет.

Из табл. 2 видно, что наибольшее развитие олигохет наблюдается в роднике Карабулаг — 807 экз./м², а наименьшее — в оз. Аджиноур — 87 экз./м², что объясняется высокой соленостью его воды (свыше 40‰).

Таблица 2

Численность олигохет в водоемах
Шеки-Закатальской зоны в 1981—1982 гг. (экз./м²)

Водоемы	Весна	Осень	Среднее
Р. Талачай	107	466	286
Р. Каракай	160	393	276
Родн. Карабулаг	600	1015	807
Родн. Наинбулаг	510	728	619
Оз. Мусагель	125	210	167
Оз. Аджиноур	75	100	87
Оз. Шимшак	125	170	147
Джафарабад- ское водохр.-ще	156	562	359

Надо отметить, что фауна олигохет водоемов Шеки-Закатальской зоны большей частью состоит из лимнобионтов, которые в зависимости от субстрата образуют экологические группы пелобионтов и фитобионтов. К пелобионтам можно отнести *S. appendiculata*, *L. hoffmeisteri*, *L. udekemianus*, *L. claparedeanus*, *P. hammonensis*, *P. ferox*, *T. tubifex*, *P. albicola*, *A. piggeti*, *A. pluriseta*; к фитобионтам — *N. simplex*, *S. lacustris*, *P. longiseta*; псаммопелофилам — *D. digitata* и фитофеофилам — *P. rosea*.

Из списка представленных видов выделяются обитатели пресных и солоноватых вод — *N. communis*, *N. elinguis*, *S. lacustris*, *P. hammonensis*, *P. bavaricus*, *P. ferox*, *P. albicola*, *E. albidus*.

В зоогеографическом отношении олигохеты водоемов Шеки-Закатальской зоны в основном представлены видами с широким ареалом, выходящими за пределы Голарктики, — *N. pardalis*, *S. lacustris*, *L. udekemianus*, *L. claparedeanus*, *L. hoffmeisteri*, *T. tubifex*, *E. albidus* и космополитами — *N. communis*, *N. elinguis*, *D. digitata*, *S. appendiculata* и др., составляющими около половины всех найденных видов. Из палеарктических видов можно отметить 9 видов: *P. rosea*, *P. longiseta*, *L. helveticus*, *P. hammonensis*, *P. bavaricus*, *P. ferox*, *P. albicola*, *A. piggeti*, *A. pluriseta*, из голарктических — *N. simplex*.

В целом можно отметить, что водоемы Шеки-Закатальской зоны характеризуются разнообразием видового состава фауны олигохет, за исключением горных речек и родников, в которых низкая температура, высокое течение и мутность воды отрицательно влияют на развитие в них фауны олигохет.

Литература

- Державин А. Н. 1951. Малощетинковые черви Oligochaeta. В кн.: «Животный мир Азербайджана». Изд. АН Азерб. ССР, Баку.
- Касымов А. Г. 1965. Гидрофауна Нижней Куры и Мингечаурского водохранилища. Изд. АН Азерб. ССР, Баку.
- Касымов А. Г. 1972. Пресноводная фауна Кавказа. Изд-во «Элм», Баку.
- Касымов А. Г., Талыбов Н. Б. 1980. Гидробиологическая характеристика озер северо-восточного склона Малого Кавказа. В сб.: «Биология озер и водохранилищ Азер-иа». Изд-во «Элм», Баку.
- Сафаров Р. А. Донная фауна озер северо-восточного склона Малого Кавказа. Канд. дисс., Баку.
- Чекановская О. В. 1962. Водные малощетинковые черви фауны СССР. Изд. АН СССР, М.—Л.

Институт зоологии

С. И. Маммадова

АЗЭРБАЙЧАНЫН ШЭКИ-ЗАГАТАЛА ЗОНАСЫ СУ ҺӨВЗӘЛӘРИНИН
ОЛИГОХЕТ ФАУНАСЫНА ДАИР

Шеки-Загатала зонасынын су һөвзәләриндә 3 фәсиләјә, 12 чинсә анд олан 24 иөв азгыллы гурдлар тапылмышдыр. Бүнлардан 12 иөвү Азэрбајчан, 2 иөвү исә Гафгаз үчүн илк дафә гејд олунур.

Нөн тәркибииниң мұхтәлифијиинә көрә биринчи юри Загатала гызылхаллы балығ тәсәррүфатынын су һөвзәләри (15 иөв), иккінчи юри Гарабулаг булагы (14 иөв), үчүнчү юри исә Җәфәрабад су анбары (13 иөв) тутур.

Тә'жин олунмуш азгыллы гурдларын 16 иөвү псаммо-пелофил, 6 иөвү исә фитофилдир, Азгыллы гурдларын жүксөк инкишафы Гарабулаг (807 әдәл/м²) және Наинбулагда (619 әдәл/м²) гејд едилмишdir.

УДК 577.472/28/

З. І. ЭБДУРРЭЙМАНОВА

БИОЛОГИЯ
БИОЛОГИЧЕСКИХ НАУК

ДЭВЭЧИ ЛИМАНЫНЫН МАКРОЗООБЕНТОСУНУН МИГДАР ТЭРКИБИННИН МӨВСҮМЛӘР ҮЗРЭ ДӘЈИШМӘСИ

Дэвэчи лиманы Дэвэчи шэһәри јахынлығында, Орта Хөзәрин гәрб саһилиндә јерләшмишdir. Онун саһасы 1600 ha-дыр [2]. Соң иләр лиманда сујун сәвијјәсийин кәскин сурэтдә ашафы дүшмәси вә су биткиләринин һәддиндән артыг инкишаф етмәси мүшәнидә олунур. Бу сәбәбдән дә тәдгиг олунан су сәтнинин кичилмәси вә сујун физики-кимҗәви режиминин писләшмәси баш вермишdir.

Назыркы ишдә эсас мәгсәд Дэвэчи лиманынын бентик һејванларынын мигдар тэркибинин мөвсүмләр үзрэ дәјишишмәсийин өјрәнилмәсidiр. Бентос нүмүнәләри 1979—1980-чи илләрдә лиманын шimal вә чәнуб һиссәләrinдән тор кәфкир вә Петерсен дикбөтүрән чиазы илә топланмышдыр. Һәр бир стансијадан 2 нүмүнә көтүрүлмүшdir. Нүмүнәләр В. И. Жадинин методу илә ишләнмишdir [1].

Дэвэчи лиманында чәми 117 нөв вә формада диг һејваны тапылышдыр. Бунлардан 83 нөв вә форма 1979-чу илдә, 71 нөв вә форма, исә 1980-чи илдә гејдә алымышдыр.

Бентосда нөвләрин максимал сајы јај мөвсүмүнә тәсадүф едир. Беки, 1979-чу илдә бу мөвсүмдә 41 нөв, 1980-чи илдә исә 44 нөв гејд олумышдыр. Гыш мөвсүмүндә 18—28, баһарда 34, пајызыда исә 20—25 нөв тапылышдыр.

Нөвләринин сајына көрә, бентосда биринчи јери бөчәк сүрфәләри (30 нөв), икинчи јери хирономид сүрфәләри (26 форма), үчүнчү јери исә азгыллы гурдлар (15 нөв) тутмушлар.

Бентик һејванларынын мигдар тэркиби илләр үзрэ мүхтәлиф олумышдур (1-чи чәдвәл). Бентофаунанын јүксәк көстәричиләри гыш вә баһарда, ашафы көстәричиләри пајызыда гејд едилмишdir. Гыш бентосу ири-өлчүлү азгыллы гурдлар вә молјускларын үстүнлүк тәшкил етмәси илә дикәр мөвсүмләрдән фәргләнир. Бу мөвсүмдә молјускларын биокутләси үмуми биокутләнин 29,7%-ни, олигохетләрники исә 29%-ни тәшкил етг/м²) вә хирономид сүрфәләри (0,68 г/м²) ижнәчә сүрфәләри (0,21 г/м²) вә хирономид сүрфәләри (0,68 г/м²) јүксәк инкишафа малик олышлар.

Баһар мөвсүмүндә дә доминантлыг едән груплар азгыллы гурдлар вә молјусклар олумышдур. Онлар бирликдә үмуми биокутләнин 83,97%-ни тәшкил етмишләр. Гышла мугајисәдә баһарда молјускларын биокутләсийин даһа јүксәк олмасы гејд олумышдур. Бу да чохалмадан сонра баһарда јени фәрдләрин мејдана кәлмәси илә изаһ олuna биләр.

Јај мөвсүмүндә бентосун биокутләси гыша нисбәтән 2,1 дәфә, пајызыда исә 4,4 дәфә ашафы дүшмүшдур. Бу ашафы дүшмә наллары сујун физики-кимҗәви режиминин писләшмәси илә әлагәдар олумышдур, чунки

Дэвэчи лиманынын макрообентосунун 1979-чу илдә мөвсүмләр үзрэ дәјишишмәсі

Груплар	Гыш	Баһар	Jaj	Пајыз	Орта	1-чи чәдвәл
Oligochaeta	61	368	3	—	—	108
	1,395	1,245	0,005	—	—	0,661
Hirudinea	2	—	—	—	—	1
	0,02	—	—	—	—	0,005
Isopoda	53	6	39	21	—	30
	0,69	0,03	0,04	0,328	—	0,272
Hydracarina	1	13	13	2	—	7
	0,002	0,018	0,005	0,003	—	0,007
Odonata	4	2	—	6	—	3
	0,21	0,002	—	0,024	—	0,059
Ephemeroptera	10	—	—	—	—	3
	0,06	—	—	—	—	0,015
Trichoptera	2	—	—	—	—	1
	0,013	—	—	—	—	0,003
Hemiptera	12	2	15	5	—	8
	0,19	0,002	0,637	0,015	—	0,211
Coleoptera	4	2	2	2	—	3
	0,004	0,004	0,001	0,001	—	0,003
Diptera	15	15	17	10	—	14
	0,094	0,104	0,06	0,025	—	0,071
Chironomidae	360	80	232	165	—	202
	0,68	0,071	0,102	0,261	—	0,278
Heleidae	30	127	49	5	—	55
	0,024	0,378	0,951	0,025	—	0,344
Mollusca	50	23	36	12	—	30
	1,43	1,945	0,540	0,453	—	1,092
Чәми	612	638	406	228	—	471
	4,812	3,799	2,341	1,135	—	3,021

яјда лимана сујун дахил олмасы тамамилә дајаныр, буна көрә дә паяјыда сујун сәвијјәси азалыр.

1980-чи илдә бентосун орта биокутләси 0,969 г/м² олумышдур. (2-чи чәдвәл). Бу биокутлә 1979-чу илдәкинә нисбәтән 3,1 дәфә аздыр. Бу ил Дэвэчи лиманы үчүн азсулу ил олумышдур, белә ки, лиманын бир чох јерләриндә суда һәлл олумыш оксикенин мигдары 1,8 мг/л-ә гәдәр азалмыш, бә'зи јерләрдә исә (чәнуб һиссәдә) тамамилә мүшәнидә олумышдыр. Оксикенин ашафы олдуғу јерләрдә оксикен азлығына давам кәтирән нөвләрдән Ch. f. 1. plitosus -а тәсадүф едилмишdir.

Бентик һејванларын әң јүксәк инкишафы 1980-чи илин баһарында лимана чохлу мигдарда су дахил олдуғу вахт гејд олумышдур. Белә ки, бу мөвсүмдә үмуми биокутлә 1,718 г/м² олумышдур, бунун да 45,6%-ни иjnәчә сүрфәләри, 43,4%-ни исә молјусклар тәшкил етмишdir. Яјда да бентосун әсас күтләсими иjnәчә сүрфәләри вә молјусклар вермишләр. Пајызыда бентофаунанын биокутләсими азалмасы баш вермишdir ки, бу да, әсасен, бир чох организмләрин һәјат дөврләринин гурттармасы вә бә'зи һәшәратларын учуб кетмәси илә изаһ олунур. Бу илдә хирономид сүрфәләринин јахши инкишафы гејд олумышдур, онларын биокутләси 0,052-дән 0,151 г/м²-ә гәдәр дәјишишdir. Сајына көрә да хирономилләр доминантлыг едән груп олумышдур.

Макрообентосда үстүнлүк тәшкил едән нөвләрин дә мөвсүмләр үзрэ мигдар тэркибинин дәјишишмәсі мүхтәлиф олумышдур. 1979-чу илдә бентосун әсасыны 8 нөв, 1980-чи илдә исә 4 нөв тәшкил етмишdir. Үмүмijjәтлә, зообентосда 10 доминант нөв олумышдур, бунларын чоху (90%) бүтүн фәсилләрдә тәсадүф олумышдур.

Дэвэчи лиманынын макрообентосунун 1980-чи илдэ мөвсүмлэр
үзрэ дэжишмэс

2-ий чэдэвэл

Групплар	Гыш	Баён	Jaј	Пајыз	Орта
Oligochaeta	65	—	—	23	22
Hirudinea	0,225	—	—	0,043	0,067
Isopoda	—	0,001	—	—	1
Hydracarina	10	9	—	11	0,001
Hydracarina	0,09	0,014	—	0,051	7
Odonata	1	4	4	—	0,038
Odonata	0,005	0,009	0,009	—	2
Ephemeroptera	—	6	11	—	0,006
Hemiptera	—	0,783	0,520	—	4
Coleoptera	—	—	23	—	0,326
Diptera	—	8	0,084	—	0,021
Chironomidae	40	104	39	4	3
Heleidae	0,151	0,147	0,052	53	0,001
Mollusca	71	—	—	59	0,063
—	0,139	—	—	10	0,103
—	12	21	11	12	20
ЧЭМИ	0,297	0,745	0,218	12	0,04
—	199	157	102	14	0,345
—	0,907	1,718	0,928	117	0,969
—	—	—	—	144	—

1979-чу илдэ олигохетлэрдэн *Tubifex tubifex* даха јүксэк инкишафа малик олмушдур, орта биокутлэ 0,737 г/м²-э чатмышдыр. Дикэр нөвлэрийн биокутлэс: *E. Isenia rosea*—0,286 г/м², *Asellus aquaticus*—0,272 г/м², *Corixa dentipes*—0,152 г/м², *Cricotopus ex eg. silvestris*—0,246 г/м², *Culicoides*—0,344 г/м², *Radix auricularia m. lagotis*—0,833 г/м², *Planorbis*—0,252 г/м² олмушдур. Саяна көрэ доминант организмлэр *T. tubifex* (352 эдэд/м²), *C. ex. silvestris* (356 эдэд/м²), *Culicoides* 12 эдэд/м² олмушдур. Дикэр нөвлэрийн сајы исэ 2-дэн 53 эдэд/м² арасында дэжишишдир. Онларын сајы гыш вэ баёнда максимал олмушдур.

1980-чи илдэ биокутлэж көрэ үстүнлүк тәшкүл едэн нөвлэр: *Coenagrion scitulum* (0,16 г/м²), *Cricotonus ex gr. silvestris* (0,062 г/м²), *Radix auricularia m. lagotis* (0,109 г/м²), *Planorbis planordis* (0,326 г/м²), сајына көрэ исэ үстүнлүк тәшкүл едэн нөв *Ch. f. l. pluto* олмушдур.

1979-чу илдэ бентик нејванларын јүксэк инкишафы лиманын чанубийн сиссэсийнде мушаңидэ едилмишдир. Бурада орта биокутлэ 3,098 г/м², сајы исэ 427 эдэд/м² олмушдур. Үстүнлүк тәшкүл едэн организмлэр изоподлар (0,127 г/м²), иjnечэлэр (0,117 г/м²), хирономидлэр (0,378 г/м²), неленлэр (0,603 г/м²), молјусклар (1,609 г/м²) олмушдур.

1979-чу илдэ Лиманын шимал һиссэсийнде орта биокутлэ 2,95 г/м² гејд едилмишдир. Биокутлэнийн јүксэк көстэрчилэри гышда вэ баёнда (4,62 г/м² вэ 3,65 г/м² мушаңидэ олумушдур). Jaјда вэ пајызда исэ мувағиг олараг 1,79 г/м² вэ 1,74 г/м² олмушдур. Бу һиссэдэ доминант групплар су тахтабитилэри (0,31 г/м²), хирономидлэр (0,178 г/м²) вэ молјусклар (0,575 г/м²) несаб едилмишдир.

1980-чи илдэ бентосун јүксэк инкишафы лиманы шимал һиссэсийнде мушаңидэ олумушдур. Бурда бентосун ѡрта биокутлэс 1,106 г/м²-э, сајы исэ 133 эдэд/м²-э чатмышдыр. Мөвсүмлэр үзрэ биокутлэ гышда—0,812 г/м², баёнда—2,206 г/м², jaјда—1,023 г/м², пајызда—0,38 г/м² олмушдур. Биокутлэж көрэ доминант групплар иjnечэ сүрфэлэри (0,487 г/м²) вэ молјусклар (0,33 г/м²) олмушлар.

Нэмийн илдэ лиманын чануб һиссэсийнде орта биокутлэ 0,832 г/м², о чумлэдэн гышда—1,0 г/м², баёнда—1,23 г/м², jaјда—0,84 г/м² вэ пајызда—0,272 г/м² олумушдур. Зообентосун эсасыны иjnечэ сүрфэлэри (0,162 г/м²), хирономидлэр (0,15 г/м²) вэ мелјусклар тәшкүл етмишлэр.

Чохиллик мушаңидэлэрин тэдгиги көстэррү ки, 1980-чи илдэ 1963-чу илэ нисбэтэн бентосун мэхсүлдарлыгы, демэк олар ки, 4,5 дэфэ ашагы дүшмүшдүр (3-чу чэдэвэл).

3-ЧУ ЧЭДВЭЛ

Дэвэчи лиманынын бентосуну чохиллик дэжишмэс

Иллэр	Биокутлэ	Мүэллиф
1959	1,12	А. Н. Гасымов (1972)
1963	4,41	"—"
1964	7,38	"—"
1967	2,08	"—"
1979	3,02	Бизим мэдүуматымыз
1980	0,97	"—"

Биздэн эввэлки-иллэрдэ апарылан тэдгигатларын иэтчэлэри көстэррү ки, бу иллэрдэ бентик нејванларын јүксэк биокутлэс гыш вэ баён мөвсүмүнэ тэсадүф етмишдир. Устүнлүк тәшкүл едэн нөвлэрийн тэркиби исэ дэжишмэнишдир. Бу иллэрдэ дэ бентосун эсасыны *R. auricularia m. lagotis*, *P. planorbis*, *A. aquaticus* вэ *Culicoides* тәшкүл етмишдир. 1967-чи илдэ исэ бу нөвлэрэ *Ps. ex gr. psilopteris* да элавэ олумушдур.

Дэвэчи лиманында бентосун мэхсүлдарлыгынын јүксэлдилмэсийн үчүн бэ'зи балыгчылыг-мелиорасия ишлэрийн апарылмасы вачибдир. Лиманы суулашдырылмасы, сэрт су биткилэри илэ мубаризэ, лимана битки илэ гидаланан балыгларын кэтирилмэсийн, лиманы Хэзэрдээнизи илэ бирлэшидэрийн шлүзүн ишини тэнзимлэмэк эсас мэсэлэлдээн биридир.

Эдэбијжат

- Жадин В. И. 1956. Методика изучения донной фауны водоемов и экологии донных беспозвоночных. В кн.: «Жизнь пресных вод СССР». М.-Л., т. IV, ч. I.
- Касымов А. Г. 1972. Пресноводная фауна Кавказа. Изд-во «Элм», Баку,

Зоологија институту

Э. Ю. Абдурахманова

СЕЗОННЫЕ ИЗМЕНЕНИЯ КОЛИЧЕСТВЕННОГО СОСТАВА
МАКРОЗООБЕНТОСА ДИВИЧИНСКОГО ЛИМАНА

Исследование донной фауны Дивичинского лимана за 1979—1980 гг. показали, что количественное развитие зообентоса по годам было неодинаково. Так, среднегодовая биомасса бентических животных в 1979 г. составляла 3,021 г/м² (при чис-

ленности 417 экз./м²), а в 1980 г. — 0,969 г./м² (при численности 144 экз./м²). Высокие показатели бентофауны были отмечены в 1979 г. зимой (4,812 г./м²) и весной (3,799 г./м²), а в 1980 г. — весной (1,718 г./м²).

Наибольшее развитие бентофауны наблюдалось в 1979 г. на южном участке (3,098 г./м² при численности 427 экз./м²), а в 1980 г. — на северном, где среднегодовая биомасса составляла 1,106 г./м², а численность — 133 экз./м².

Для увеличения продуктивности зообентоса Дивичинского лимана необходимо проведение рыбоводно-мелiorативных работ, а в первую очередь — обводнение и борьба с жесткой водной растительностью.

АЗЭРБАЙЧАН ССР ЕЛМЛЭР АКАДЕМИЯСЫНЫН ХЭБЭРЛЭРИ
Биология елмлэри сериясы, 1984, № 1

ИЗВЕСТИЯ АКАДЕМИИ НАУК АЗЕРБАЙДЖАНСКОЙ ССР
Серия биологических наук, 1984, № 1

УДК 634:38.581.154

ГЕНЕТИКА

М. О. АЛИЕВ, Д. С. ЭЮБОВА

ИЗМЕНЧИВОСТЬ ПАРАМЕТРА СОПЛОДИЙ И ЛИСТЬЕВ РАЗНОПЛОИДНЫХ ФОРМ ШЕЛКОВИЦЫ

Изучение наследования изменчивости параметра соплодий, листьев и содержания сахара 7 диплоидов, 15 триплоидов и 11 тетраплоидов показало, что закономерность в основном сохраняется между исходными родительскими сортами и полученными от них разнопloidными гибридами первого поколения в сочетании с химическими мутагенами.

С 1971 г. по настоящее время нами широко используются различные химические мутагены: колхицин, НММ, ЭМС, ДЭМС в сочетании с гибридизацией у разнопloidных форм шелковицы. При обработке химическими мутагенами генеративных мужских и женских органов (пыльца, пестик и семяпочки) в период скрещивания родительских форм из семян нами было получено определенное количество разнопloidных новых форм шелковицы на Апшеронской экспериментальной базе Института. Для изучения наследования изменчивости селекционных разнопloidных форм шелковицы были взяты 7 диплоидов, 15 триплоидов и 11 тетраплоидов (табл. 1). Изучались средний вес, длина и ширина плодоножки соплодий и листа. Определялось содержание сахара в свежих созревших соплодиях и проводилась биометрическая обработка. Определение числа хромосом производилось на временных препаратах в соматических клетках листочков с использованием фиксатора по методу Карниа (6:3:1). Окрашивание временных препаратов производилось ацетокармином.

1. Изучение изменчивости диплоидных форм шелковицы

Результаты изучения 7 диплоидных форм шелковицы показали, что большим средним весом соплодий в первой группе отличаются растения, полученные у гибридов в потомстве Катлама×Севильтут. Последующие места занимают растения, полученные в потомстве Севильтут×Севильтут. Последнее место занимает в потомстве Сыхгезтут×Севильтут форма СП 1—18. Изучение изменчивости параметра соплодий показало, что закономерность по среднему весу свежих созревших соплодий полностью сохраняется между исходными материнскими диплоидными сортами и полученными от них гибридами первого поколения в сочетании с химическими мутагенами. По проценту содержания сахара в соплодиях между исходными материнскими диплоидами и полученными от них гибридами наблюдаются незначительные колебания. Однако у сорта Катлама самое низкое содержание сахара в соплодиях также было отмечено в гибридных потомствах этого сорта. Высокий процент сахара в соплодиях (21,0%) наблюдается у формы 1—54 (Севильтут×Севильтут). Соплодия у этой формы малосемянные, завязываются партенокарпически. Соплодия малосочные и их можно

Таблица 1

Изменчивость параметра соплодий и листьев селекционных форм разнопloidной плодовой тулы

ФОРМЫ	Соплодия						Лист	
	п	ср. вес, г	д×ш—плодоножка, см	д×ш—стебелька, см	стебелька, см	ср. вес г	д×ш—черешок, см	
КС 1-54 КС 8-4 КС 9-9 СП 1-18 СП 1-41 СП 4-3 СП 5-37	(Севильгут×Севильгут) (Кинрну×Севильгут) (Севильгут×Севильгут) (Сыхгезгут×Севильгут) (Сыхгезгут×Популции) (Кагтаматут×Севильгут) (Кагтаматут×Севильгут)	2,40 2,45 2,60 1,62 1,52 2,67 2,32	4,90×1,20—1,00 3,60×1,33—0,73 3,43×1,30—0,73 3,37×1,10—0,90 3,53×1,60—0,40 3,67×1,30—0,77 2,93×1,53—0,50	21,0 16,0 16,0 18,0 17,0 15,5 16,7	2,07 2,50 4,67 3,00 2,33 1,95 2,33	16,6×9,9—3,70 18,2×10,8—4,40 20,3×15,1—3,53 21,4×12,2—3,43 15,4×11,6—2,83 18,3×10,4—4,40 19,1×11,4—4,30		
М		2,23 2,22 3,91 2,05 3,60 4,00 3,35 3,35 1,82 4,10 3,32 1-11 1-47 1-15 1-30	3,63×1,33—0,72 0,26×0,06—0,08 4,27×1,43—1,13 3,17×1,20—0,93 3,50×1,77—0,80 4,60×1,30—1,17 4,10×1,37—0,77 4,10×1,37—0,77 2,53×1,33—0,50 3,73×1,67—0,60 4,37×1,37—1,04 4,66×1,60—1,17 4,07×1,83—0,87 4,02×1,42—0,56 4,30×1,57—0,73	17,2 0,76 15,0 23,7 20,0 15,0 4,43 16,0 18,0 11,6 15,0 11,6 17,0 16,0 16,0 20,3×12,8—4,13 11,4×7,50—2,47	2,69 0,37 3,67 1,70 2,07 4,43 2,43 1,66 2,00 2,79 5,50 3,17 5,17 1,03	18,4×1,6—3,80 0,83×0,86—0,11 20,6×10,8—4,70 15,9×10,0—3,80 17,1×9,8—3,50 22,9×13,7—4,07 17,5×11,8—3,70 13,1×9,6—3,03 16,1×10,4—2,80 17,1×11,5—2,23 28,1×16,6—4,93 10,3×13,0—4,07 20,3×12,8—4,13 11,4×7,50—2,47		
Среднее		m ±	(Апперониут×Севильгут) (Сыхгезгут×Хатирратут) (Кагтамаут×Хатирратут) (Арангут×Севильгут) (АзТ 58—4×Севильгут) (Севильгут×Хатирратут) (Сыхгезгут×Хатирратут) Моруггут×Хатирратут Арангут×Севильгут Кагтамаут×Севильгут Моруггут×Тегерантут Моруггут×Севильгут					

Приложение Табл. I

		M_{m+}	M_{m-}
СП 2-18	Катлама \times АзТ 58-10	3,40	3,37 \times 1,40-0,63
СП 2-19	Катлама \times АзТ 58-10	3,42	3,39 \times 1,42-0,65
СП 2-21	АзТ 58-34 \times Севильтут Среднее	3,41	3,35 \times 1,42-0,66
СП 1-45	Терапантут \times Хатираратут	4,00	3,83 \times 1,48-0,81
СП 1-46	Арантут \times Мексулутут	4,80	3,53 \times 1,57-0,67
СП 5-16	АзТ 58-4 \times АзТ 58-10	6,50	4,77 \times 1,83-1,03
СП 1-7	Арантут \times АзТ 58-10	6,00	5,00 \times 1,63-0,80
СП 1-8	Апшеронтут \times АзТ 58-10	4,55	4,17 \times 1,77-0,70
СП 1-31	Апшеронтут \times Хатира	4,58	4,19 \times 1,80-0,70
СП 1-33	Апшеронтут \times Мексулутут	4,57	4,33 \times 1,53-1,00
СП 1-45	Арантут \times Хатираратут	4,85	4,23 \times 1,87-0,63
СП 1-46	Арантут \times Хатираратут	4,90	4,25 \times 1,90-0,65
СП 2-23	Арантут \times АзТ 58-2	5,40	4,25 \times 1,74-0,77
СП 4-42	АзТ 58-4 \times Хатираратут Среднее	4,88	4,21 \times 1,68-0,80
СП 0,18		0,16 \times 0,04-0,03	0,11
СП 22,4	\times 17,1-3,57	5,00	22,4 \times 17,1-3,57
СП 22,5	\times 17,2-3,50	5,03	22,5 \times 17,2-3,50
СП 22,0	\times 17,6-3,50	5,02	22,0 \times 17,6-3,50
СП 18,5	\times 12,6-3,60	3,38	18,5 \times 12,6-3,60
СП 1,32	\times 0,58-0,17	0,30	1,32 \times 0,58-0,17
СП 16,6	\times 11,6-2,93	2,33	16,6 \times 11,6-2,93
СП 20,1	\times 13,0-3,97	2,67	20,1 \times 13,0-3,97
СП 26,6	\times 17,0-5,75	7,75	26,6 \times 17,0-5,75
СП 23,0	\times 15,3-3,93	5,07	23,0 \times 15,3-3,93
СП 23,0	\times 16,0-3,95	5,10	23,0 \times 16,0-3,95
СП 18,5	\times 12,5-4,00	3,51	18,5 \times 12,5-4,00
СП 18,8	\times 12,0-4,00	3,50	18,8 \times 12,0-4,00
СП 17,9	\times 11,3-4,17	2,73	17,9 \times 11,3-4,17
СП 20,2	\times 13,3-4,08	2,75	20,2 \times 13,3-4,08
СП 18,1	\times 13,0-4,00	3,52	18,1 \times 13,0-4,00
СП 20,1	\times 13,3-4,09	3,88	20,1 \times 13,3-4,09
СП 0,95	\times 0,54-0,26	0,47	0,95 \times 0,54-0,26

использовать для кишмишных изделий. Последующие места по проценту содержания сахара в соплодиях занимают растения, полученные в потомстве Сыхгезтут×Севильтут и Сыхгезтут×Популяция. По проценту содержания сахара в соплодиях между исходными материнскими диплоидами и полученными от них гибридами наблюдается положительная корреляция (рис. 1).

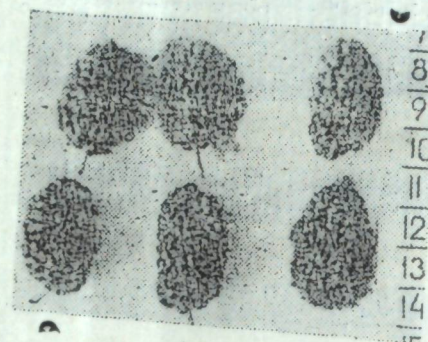


Рис. 1. Форма КС 8—4 (Кинри×Севильтут) 2n=28.

Изучение изменчивости параметра листа у 7 гибридов диплоидных форм шелковицы показало, что большим средним весом отличаются в потомстве форма КС 9—9 — 4,67 г. Кроме того, там, где принимает участие в качестве отцовского компонента Севильтут, также наблюдается увеличение параметра листа. По-видимому, у Севильтут имеются доминирующие гены, способствующие увеличению параметра листа, которые при гибридизации передаются потомству гибридных поколений. Севильтут получен при колхинизации семян у районированного сорта Закиртут, отличавшегося урожаем листа среди испытанных сортов кормовой шелковицы. Здесь наблюдается наследственное явление передачи новому поколению урожая листа.

Изучение ряда других показателей Севильтут — высокой урожайности листа, образования большого количества ростовых побегов на дереве, нежных темно-зеленых листьев и поздней листопадности дерева — даёт нам основание рекомендовать Севильтут как исходный материал для широкого использования в проведении генетико-селекционных исследований.

2. Изучение изменчивости триплоидных форм шелковицы

Целью исследования является подбор исходных диплоидных и тетраплоидных родительских форм для получения высокопродуктивных триплоидных форм шелковицы. Использование тетраплоидных форм в качестве материнского или отцовского родителя дает возможность, по усмотрению селекционера, брать два генома от одного и один от другого. При этом появляется возможность управлять доминированием отдельных признаков.

Изучение изменчивости триплоидных гибридов показало, что по параметрам соплодий по среднему весу положительно отличается потомство комбинаций Сыхгезтут×Хатиратут ($2n \times 4n$), Арантут×Севильтут ($4n \times 2n$), Катлама×Мехсуллут ($2n \times 4n$), Апперонтут×Севильтут ($4n \times 2n$) (табл. 1). По проценту содержания сахара в соплодиях

положительно отличаются триплоиды, полученные при комбинации Сыхгезтут×Хатиратут ($2n \times 4n$), Севильтут×Хатиратут ($2n \times 4n$).

У триплоидных форм, полученных при участии в качестве отцовского тетраплоида Хатиратут, часто наблюдается высокий процент сахара в соплодиях. У формы КС п/п ряд лет наблюдается повторное плодоношение, два урожая в год, как весной, так и осенью. По-видимому, это обстоятельство оказывает отрицательное влияние на процесс накопления сахара при созревании соплодий. Кроме того, эта форма отличается ранним созреванием соплодий. Изучение изменчивости параметра листа триплоидов показало, что лучшие результаты достигнуты при комбинации Арантут×Севильтут ($4n \times 2n$), Морухтут×Мехсуллут ($2n \times 4n$), АзТ-58234×Севильтут ($4n \times 2n$) и Катлама×АзТ 58—10 ($2n \times 4n$). Здесь также при участии мужских диплоидов Севильтут, тетраплоидов Мехсуллут и АзТ 58—10 в потомстве у триплоидов в основном наблюдаются большие параметры листа. Поэтому названные мужские формы рекомендуются для использования в селекционных исследованиях в связи с получением больших параметров листа у триплоидных форм шелковицы (рис. 2, 3).

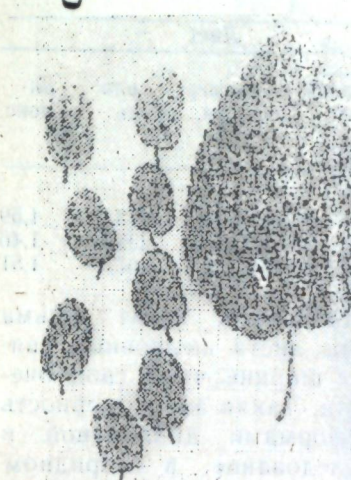


Рис. 2.

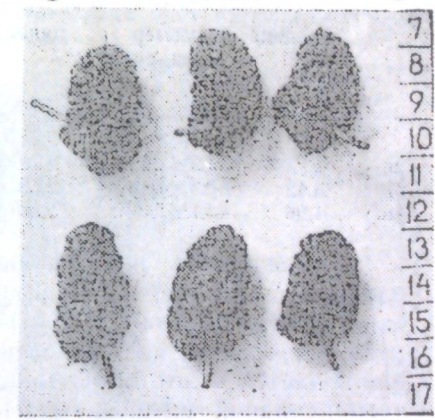


Рис. 3.

Рис. 2. Форма КС 5—54 (Катлама×Хатиратут). $2n \times 4n = 3n$
Рис. 3. Форма СП 1—11 (Арантут×популяция). $4n \times 2n = 3n$

3. Изучение изменчивости тетраплоидных форм шелковицы

Скрещивание аутотетраплоидов между собой позволило получить в большом количестве аллотетраплоидные формы, имеющие важное значение в селекции этой ценистой культуры.

Результаты изучения параметра соплодий и листа аллотетраплоидной гибридной шелковицы свидетельствуют о большой индивидуальной изменчивости по указанным показателям. Большим весом соплодий у отобранных форм в варианте Арантут × Мехсуллут отличаются АзТ 58—4×АзТ 58—10, Арантут×Азербайджанту, Арантут×Хатиратут.

Содержание сахара в соплодиях у указанных тетраплоидов колеблется в незначительной степени — от 15,2% до 16,0%. Изучение параметра листа показало, что положительными показателями отличаются тетраплоиды, полученные в потомстве АзТ 58—4×АзТ 58—10, Арантут×АзТ 58—10, Апперонтут×АзТ 58—10. Особенно большой параметр листа наблюдается у тетраплоидов, полученных в результате исходных комбинаций АзТ 58—4 × АзТ 58—10, и мы считаем целесообразным их использование в дальнейших селекционных исследованиях. Сравнительная характеристика, среднее число по изменчивости параметра соплодий, листа и содержание сахара у всех изученных диплоидных, триплоидных форм шелковицы представлены в табл. 2. Тетраплоиды имеют больший вес соплодий по сравнению с диплоидами на 123,3%. Триплоиды занимают промежуточные места между диплоидом и тетраплоидом. По показателям индекса и содержания сахара в соплодиях по мере повышения пloidности растений от диплоида до тетраплоидного уровня наблюдается их уменьшение.

Таблица 2

Среднее число по изменчивости некоторых показателей разнопloidных форм шелковицы

п	Соплодия				Лист			
	средний вес, г	размер дхш, см	индекс	сахар, %	средний вес г	размер дхш, см	площадь	индекс
2п	2,23	3,63×1,33	2,72	17,2	2,69	18,4×11,6	213,4	1,59
3п	3,42	3,83×1,48	2,58	16,3	3,38	18,5×12,6	233,1	1,46
4п	4,98	4,21×1,68	2,50	15,7	3,88	20,1×13,3	267,3	1,51

Изменчивость листа шелковицы при полипloidии носит весьма сложный характер. Причина изменения формы листа шелковицы связана с уменьшением у них отношения длины к ширине, что в свою очередь оказывается на уменьшении индекса листа. Такая закономерность наблюдается в потомстве между исходными формами диплоидной и тетраплоидной шелковицы. Проведенное исследование в гибридном потомстве между исходными формами показало, что форма листа тесно связана с отношением его параметров. По мере повышения пloidности от диплоидного до тетраплоидного уровня у гибридов наблюдается увеличение параметра листа. В этом отношении триплоиды занимают промежуточное место. По показателям параметра соплодий, листа и индекса выявленная закономерность между исходными разнопloidными в основном сохраняется в гибридном потомстве соответственно по пloidностям растений (рис. 4, 5, 6).

4. Дегустационная оценка селекционных форм разнопloidной плодовой тузы

7 июля 1982 г. в отделе генетики и селекции шелковицы Института генетики и селекции АН Азербайджанской ССР проводилась дегустация свежих созревших соплодий — 2 диплоидных, 4 триплоидных и 5 тетраплоидных форм плодовой тузы. Авторитетное жюри продегустировало представленные нами созревшие соплодия (табл. 3).

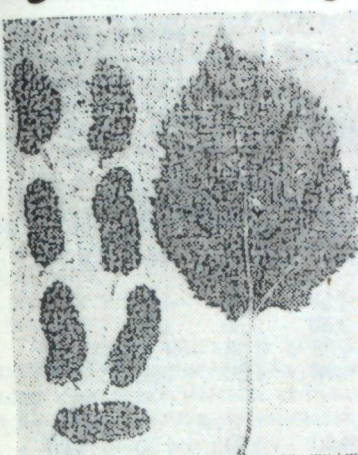


Рис. 4.



Рис. 5.

Рис. 4. Форма КС 5—16 (АзТ—58—4 × АзТ 58—10) 4n×4n=4n
Рис. 5. Форма СП 1—31 (Апперонтут × Хатиратут). 4n×4n=4n.

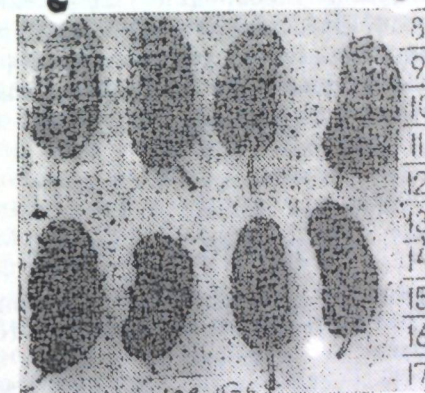


Рис. 6. Форма КС 5—65 (Апперонтут×АзТ 58—10) 4n×4n=4n

В дегустации соплодий по пятибалльной системе проводилась оценка 6 показателей и результаты представлены в табл. 3. Все испытанные новые формы плодовой тузы отличаются ранним созреванием соплодий, так как 7 июля совпало с началом массового созревания соплодий. Дегустация была проведена на неделю раньше срока в связи с тем, что сохранить плоды на деревьях практически не было возможности. В течение недели до 15 июня соплодия указанных форм могли накопить больше сахара и других биоактивных веществ и улучшить внешний и товарный вид. Несмотря на это, 4 балла получили формы 1—37 (2п), КС 5—47, КС 5—75, КС 6—73 (3п), КС 1—45, КС 1—46 и КС 5—72 (4п). Потенциальная возможность у этих форм

Таблица 3

Результаты дегустационной оценки селекционных
форм разнопloidной туты

Формы		Внешний вид	Окраска	Вкус	Аромат	Консистенция	Общая оценка	Ср. балл
КС 1-16		3,80	светло-фиолет.		3,80	3,40	3,80	3,80
КС 1-37		3,60	светло-фиолет.		4,30	4,60	3,70	3,72
КС 5-47		3,60	фиолет. темно-		4,50	3,40	4,00	4,20
КС 5-54		4,10	фиолет.		3,60	3,50	3,90	4,02
КС 5-75		4,66	черные		4,28	4,30	3,80	3,80
КС 6-73		4,50	черные		4,16	4,50	4,20	4,18
		4,20						4,33
КС 1-45		4,92	фиолет.					
КС 1-46			белые		4,50	4,00	4,20	4,20
КС 5-16		3,94	черные		4,10	3,80	3,92	4,22
КС 5-72		4,44	черные		4,20	4,20	3,90	4,13
			черные		4,20	4,20	4,10	3,96
КС 6-12		3,70	светло-фиолет.		4,10	3,60	3,80	4,00
								3,84

очень велика: урожайность соплодий, содержание сахара и биоактивных веществ, вкусовые качества, внешний вид, приятная разнообразная окраска и блестящий вид соплодий. Раннее созревание соплодий дает возможность обеспечить население свежими ягодами, вареньем, соком и другими пищевыми продуктами.

Институт генетики
и селекции

М. О. Элиев, Д. С. Эллубова

МУХТАЛИФ ПЛОИДЛИ ТУТ БИТКИЛЭРИНИН МЕЙВЭ ВӘ ЙАРПАГЛАРЫНЫН ПАРАМЕТРЛЭРИНИН ДӘЛШІШКЕНЛИЖІ

Тәдгигатда 7 диплоид, 15 триплоид вә 11 тетраплоидләрнің һамаш мәјвәләри, йарпаглары вә шәкәрии мигдары еңгизилмешdir. Нәтижәдә мүәйҗән олумышшур ки, ғану-ва онлардан алымыш 1-чи насыл мұхталиф плойдли һибридләр арасында сақланылып,

АЗЭРБАЙЧАН ССР ЕЛМЛӘР АКАДЕМИЯСЫНЫН ХӘБӘРЛӘРИ

Биология елмләри сериясы, 1984, № 1

ИЗВЕСТИЯ АКАДЕМИИ НАУК АЗЕРБАЙДЖАНСКОЙ ССР

Серия биологических наук, 1984, № 1

УДК 612. 822+612.65

ФИЗИОЛОГИЯ ЧЕЛОВЕКА И ЖИВОТНЫХ

Ш. К. ТАГИЕВ, Н. Д. ИБРАГИМОВА, Э. Х. ГАДЖИЕВА

ВЫЗВАННЫЕ ПОТЕНЦИАЛЫ ОРБИТАЛЬНОЙ И СЕНСОМОТОРНОЙ ОБЛАСТЕЙ КОРЫ ПРИ ЭЛЕКТРИЧЕСКОЙ СТИМУЛЯЦИИ ВИСЦЕРО-СОМАТИЧЕСКИХ НЕРВОВ В ОНТОГЕНЕЗЕ

В острых опытах на котятах с первых дней рождения до 30-дневного возраста изучалась функциональная зрелость орбитальной и сенсомоторной проекционных зон коры при электрической стимуляции висцерального и соматического нервов в норме и на фоне аппликации аминазина и ГАМК.

Показано, что у котят с первых дней рождения до 30-дневного возраста ВП сенсомоторной зоны в норме имели более сложную конфигурацию по сравнению с орбитальной. Аппликация аминазина и ГАМК приводила к неоднозначному эффекту в зависимости от возраста животных.

Развивающийся мозг является очень удобной моделью для исследования происхождения сложных структурно-функциональных отношений в различных отделах центральной нервной системы. Онтогенетическое развитие вызванных потенциалов (ВП) коры головного мозга представляет собой ту естественную модель, которая позволяет анализировать процесс их постепенного усложнения от наиболее простого феномена, имеющего место в коре новорожденного, до сложного многофункционального потенциала взрослого животного.

Из данных отечественных и зарубежных авторов [1-8, 15-20] известно, что различные поля в процессе онтогенеза созревают в разное время, что обуславливает избирательное, ускоренное созревание жизненно важных функциональных систем.

Многообразное назначение орбитальной области коры головного мозга, ее полисенсорность и склонность данных литературы о степени функциональной зрелости ее в процессе онтогенеза привлекло наше внимание к этой области мозга.

Цель настоящего исследования — сравнительное изучение функционального созревания орбитальной и сенсомоторной проекционных зон коры при электрической стимуляции висцерального и соматического нервов у котят в раннем постнатальном онтогенезе в норме и на фоне действия фармакологических веществ.

МЕТОДИКА

Исследования проводились в условиях острых опытов на 38 котятах с первых дней рождения до месячного возраста, наркотизированных нембуталом (40—80 мг/кг интраперитонеально). Способ эвтанатии — наркотический. Основные методические приемы электрофизиологии экспериментов на котятках описаны нами ранее [9]. Действие фармакологических веществ на ВП изучалось путем аппликации

0,5%-ных растворов аминазина и ГАМК в пункт отведения потенциала. Раздражению подвергались центральные концы шейного отдела блуждающего и плечевого нервов (контрлатерально) серебряными электродами типа «пенал» с межэлектродным расстоянием 3 мм. На блуждающий нерв наносилась серия прямоугольных импульсов, состоящая из трех ударов с длительностью каждого 1—2 мс, частотой 100, а иногда — 500 Гц, напряжением 8 В, а на плечевой нерв наносился одиночный прямоугольный импульс.

Опыты проводились на котятах 3 возрастных групп: 1—5-й день; 9—10-й день; 20—30-й день после рождения, ВП отводились с фокуса максимальной активностью (ФМА) изучаемых проекционных зон.

Запись производилась одновременно на чернилопишущем 8-канальном электроэнцефалографе «Медикор» и двухлучевом осциллографе С1—18. Раздражение нервов производилось при помощи электрического стимулятора ЭСУ-1.

РЕЗУЛЬТАТЫ ИССЛЕДОВАНИЯ И ИХ ОБСУЖДЕНИЕ

В результате проведенных исследований показано, что у животных 1—5-дневного возраста с орбитальной и сенсомоторной проекционными зонами коры при электростимуляции контрлатеральных блуждающего и плечевого нервов напряжением 8 В регистрировались высокочастотные (250—400 мкВ) вызванные потенциалы негативной полярности с одинаковыми латентными периодами (ЛП) (30—40 мс) и длительностью фаз (25—30 мс) потенциала (рис. 1).

Для данной возрастной группы животных была характерна первичная позитивность ответа, амплитудные характеристики которой в сенсомоторной области доходили до 80 мкВ, превышающей таковые в орбитальной области почти в два раза. Временные же характеристики этой фазы в обеих проекционных зонах совпадали.

Известно, что на ранних этапах постнатального онтогенеза уже имеется значительное, но еще не определенное функциональное развитие подкорковых структур, регулирующих проведение афферентных импульсов. Данные многих авторов [3] указывают на низкую функциональную лабильность всех нейронов ЦНС в этот период. В свете изложенного для выяснения степени функциональной зрелости орбитальной и сенсомоторной областей коры у животных различного периода постнатального онтогенеза исследовалась чувствительность этих проекционных зон к аминазину и ГАМК.

Аппликация аминазином в пункт отведения ВП у котят 1—5-дневного возраста приводила к неоднозначному эффекту (рис. 1а). В некоторых случаях наблюдалось изменение амплитудных и временных характеристик ВП, незначительное удлинение ЛП (до 45 мс по сравнению с 30—35 мс в норме), полное исчезновение позитивности ответа и резкое уменьшение их амплитудных характеристик, что особенно было выражено в сенсомоторной области, а в других аппликация не оказывала существенного влияния на изучаемые показатели.

Эти факты могут свидетельствовать, по-видимому, о том, что сенсомоторная проекционная зона в этом возрасте более чувствительна к аминазину, чем орбитальная.

Аппликация ГАМК у этих котят приводила к отчетливому извращению полярности ВП изучаемых проекционных областей коры

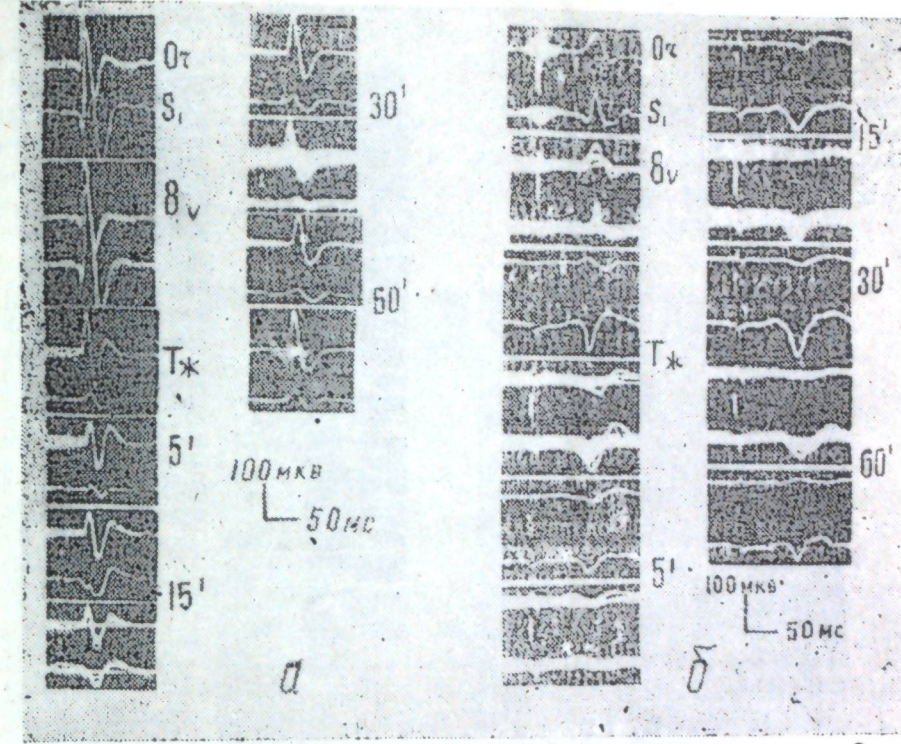


Рис. 1. ВП орбитальной и сенсомоторной областей коры в ответ на электрическое раздражение блуждающего и плечевого нервов (контрлатерально) у котят 1—5-дневного возраста в норме и на фоне аппликации 0,5%-ного раствора аминазина (а) и ГАМК (б).

Обозначения справа:

O_r — орбитальная область коры;
 S_1 — сенсомоторная область коры.

Интенсивность раздражающего тока и время по минутам — с момента аппликации фармакологического вещества. Виден артефакт раздражения.

(рис. 1б) с некоторым удлинением ЛП ответов и уменьшением амплитудных характеристик его. Максимальный эффект действия ГАМК отмечался в орбитальной проекционной зоне на 15—30-й минуте и характеризовался почти полным сглаживанием амплитуды ответа. В сенсомоторной же зоне максимальное угнетение амплитудных характеристик отмечалось на 5-й минуте с момента аппликации.

У котят 9—10-го дневного возраста фоновые ВП в обеих проекционных зонах при электростимуляции соответствующих нервов напряжением 8 В были аналогичны предыдущим (рис. 2). Однако ЛП ответа в этот возрастной период укорачивался почти в 2 раза с одновременным уменьшением амплитуды негативной волны.

Аппликация аминазином у котят данного возраста, так же как у предыдущих, всегда приводила к существенным изменениям ВП обеих проекционных зон (рис. 2а), тогда как аппликация ГАМК сопровождалась

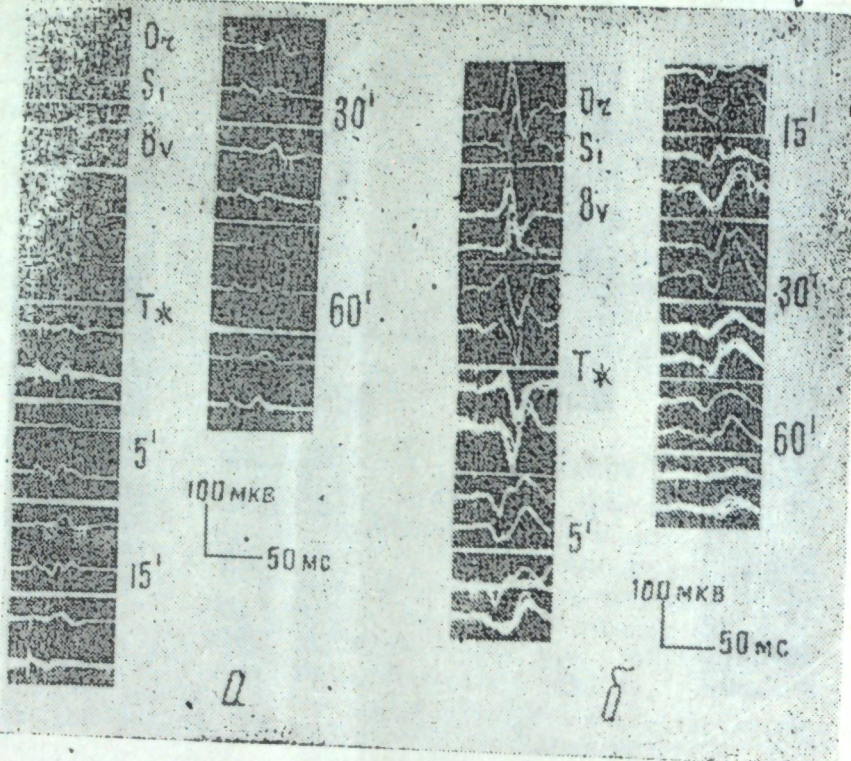


Рис. 2. ВП орбитальной и сенсомоторной областей коры в ответ на электрическое раздражение блуждающего и плечевого нервов (контрлатерально) у котят 9–10-дневного возраста в норме и на фоне аппликации 0,5%-ным раствором аминазина (а) и ГАМК (б).

Обозначения те же, что и на рис. 1.

ждалась ярко выраженной инверсией ВП изучаемых проекционных зон коры в первые же минуты с момента действия вещества (рис. 2б).

У котят 20–30-дневного возраста в изучаемых проекционных зонах при электростимуляции блуждающего и плечевого нервов напряжением 8 В регистрировались типичные, стабильные, двухфазные позитивно-негативные потенциалы, по временным параметрам и конфигурации более близкие к таковым у взрослых животных (рис. 3). ЛП в обеих проекционных зонах составлял 25 мс.

Аппликация аминазином у этих животных вызывала отчетливо выраженное удлинение временных и уменьшение амплитудных характеристик ВП (рис. 3а).

При аппликации ГАМК амплитуда как первичного позитивного, так и негативного компонентов орбитальной и сенсомоторной областей коры значительно увеличивалась (рис. 3б), однако при стабильности ЛП и длительности фаз потенциала полярность его по сравнению с предыдущими возрастными группами не изменялась.

Полученные данные о возрастной динамике формирования биоэлектрической активности мозга в постнатальном онтогенезе на электрическое раздражение блуждающего и плечевого нервов в орби-

тальной и сенсомоторной областях коры совпадают с результатами исследований, проведенных рядом авторов [1–6, 8–12], посвященных формированию ВП в других проекционных зонах коры головного мозга при раздражении соответствующих нервов.

Известно, что в основе действия аминазина на ЦНС лежит угнетающее влияние его на окислительно-восстановительные процессы и развитие гипоксии в нервной ткани. Аминазин воздействует первично на нейроны ретикулярной формации ствола, угнетая их функциональную активность и снижая тем самым поток аfferентных импульсов в

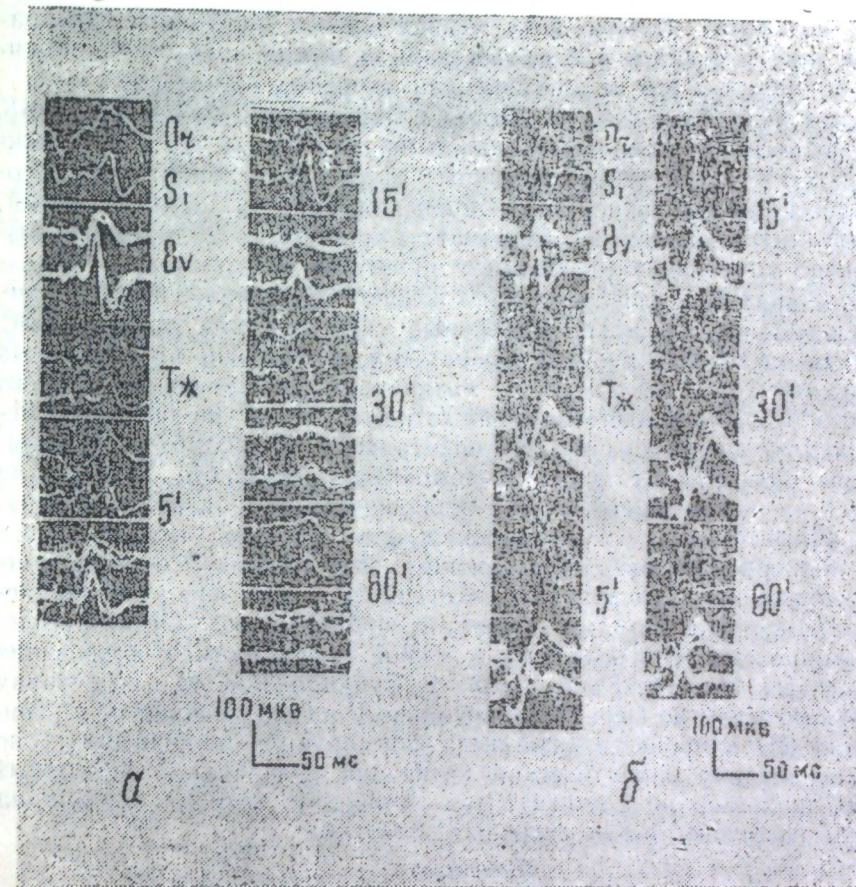


Рис. 3. ВП орбитальной и сенсомоторной областей коры в ответ на электрическое раздражение блуждающего и плечевого нервов (контрлатерально) у котят 20-дневного возраста в норме и на фоне аппликации 0,5%-ным раствором аминазина (а) и ГАМК (б).

Обозначения те же, что и на рис. 1.

коре больших полушарий. Это приводит к снижению функциональной активности корковых клеток. Эффект действия аминазина зависит не от его концентрации в тканях, а от чувствительности субстрата к нему. Низкая чувствительность к аминазину низших и новорожденных животных свидетельствует не об отсутствии адренергических структур

в мозговой ткани у этих животных, а связано с низкой чувствительностью данных структур к аминазину.

На ранних этапах онтогенеза первыми созревают адренергические механизмы, которые участвуют в наиболее ранних функциональных проявлениях плода и новорожденного и в осуществлении первых интегративных функций плода, реализуя контроль ранних эмбриональных движений [7, 12].

Аппликация ГАМК в наших исследованиях вызывала выраженный эффект на ВП изучаемых проекционных зон — высокоамплитудный отрицательный первичный потенциал у новорожденных котят инвертировал свой знак и превращался в довольно выраженный положительный потенциал. Однако хотя отрицательный потенциал превращался в положительный, латентный период ответа и другие временные характеристики его не претерпевали заметных изменений.

Исходя из данных литературы об избирательном действии ГАМК на аксодендритические синапсы, можно предположить, что у новорожденных котят отрицательный первичный ответ орбитальной коры эксодендритического (поверхностного) происхождения, а положительный, регистрируемый в наших исследованиях стабильно, с 20-дневного возраста, аксосоматического (глубинного) происхождения.

Аппликация фармакологических веществ позволила выявить химическую индивидуальность различных синаптических организаций, определяющих тот или иной компонент ВП на поверхности изучаемых проекционных зон коры у котят в различные периоды постнатального онтогенеза. Следовательно, полученные нами данные по онтогенетическому анализу формирования ВП орбитальной и сенсомоторной областей коры показали, что каждый компонент вызванного потенциала возникает на определенной стадии индивидуального развития и отражает морфологическую и функциональную зрелость определенного канала подкоркового пути афферентного возбуждения. Сопоставление двух проекционных зон показало, что соматическая зона в функциональном созревании заметно опережает орбитальную. Онтогенетическое формирование ВП находится в тесной зависимости от созревания морфологического субстрата коры и функционального созревания центральных путей по мере индивидуального развития животных. Конфигурация ВП в процессе онтогенеза формируется, по-видимому, по мере исследования синаптической активации различных нейронных структур, пока они не достигнут той активации, которая характерна для коры головного мозга взрослых животных.

Литература

1. Анохин П. К. «Физиол. ж. СССР», 1964, т. 50, № 7, с. 773.
2. Ата-Мурадова Ф. А. Функцион. нейрохимия ЦНС. Мат., I Всесоюзн. симп. Изд. АН Азерб. ССР, Баку, 1966, с. 21.
3. Баклаваджян О. Г., Адамян Ф. А. «Эволюц. нейрофизиология и нейрохимия», 1967, с. 106.
4. Баклаваджян О. Г., Адамян Ф. А., Аветисян З. А. «Нейрофизиология», т. 15, № 3, 1973, с. 253.
5. Максимова Е. В. «Высшая первая деятельность», 1974, т. 24, № 2, с. 370.
6. Максимова Е. В. «Высшая первая деятельность», 1976, т. 26, № 2, с. 390.
7. Раевская В. В. Мат. VI Всес. конф. по электрофиз. ЦНС, 1971, Л., с. 219.
8. Фербер Д. П. Функцион. созревание мозга в раннем онтогенезе. Изд-во «Просвещение», М., 1969.
9. Тагиев Ш. К., Ибрагимова Н. Д. «Высшая первая деятельность», 1981, т. 31, № 1, с. 113.

10. Черников Ф. Р. Автореф. дисс. на соиск. ученой степени канд. мед. наук М., 1976.
11. Малаховская Д. Б. Эволюцион. нейрофизиология и нейрохимия. 1967, с. 138.
12. Шулейкина К. В. В кн.: «Системная организация пищевого поведения». М., 1971.
13. Foley J. O., Du Bois F. S. J. Compar. Neurol., v. 67, 1937, p. 49.
14. Grossman Ch. Arch. Neurol. Psychiat., v. 74, 1955, p. 186.
15. Meyerson B., Persson H. E. Nature, v. 221, 1969, N 5187, p. 1248.
16. Mollier M. E., Vander Loos H. Ergebn. Anat. Entwickl. Les., v. 42, 1970, p. 1.
17. Paintal A. S. Physiol. Rev., 1973, Suppl., 394, p. 5.
18. Persson H. E. Acta Physiol. Scand., 1973, Suppl., 394, p. 5.

Институт физиологии

Ш. К. Тагиев, Н. Д. Ибрагимова, Е. Х. Ыачыева

ОНТОГЕНЕЗДӘ ВИССЕРАЛ ВӘ СОМАТИК СИНИРЛӘРИН ГЫЧЫГЛАНДЫРЫЛМАСЫ ЗАМАНЫ ОРБИТАЛ ВӘ СЕНСОМАТОР САНӘЛӘРДӘН АЛЫНАН ЯРАДЫЛМЫШ ПОТЕНСИАЛЛАР

Пишикләрдә дөгулан күндән 30-чу күнә гәдәр виссерал вә соматик синирләрин нормада, аминазин вә Гамма Амин яғ түршусу (ГАЖТ) аппликасијасы фонунда электрикли гычыгландырылмасы заманы беин габыгының орбитал вә сенсомотор зонасының функционал жетишкәнлиji өјрәнилмешdir.

Сүбүт едилмишdir ки, пишикләрдә дөгулан күндән 20-чи күнә гәдәр нормада, орбитал зонаja иисбатән сенсомотор зонадан алышан потенсиаллар даһа мүрәккәб гурулушту олур. Аминазин аппликасијасындан соңра өјрәнилән бу саһәләрин потенсиалларында бә'зән әһәмијјәтсiz дәјишиклик мүшәнидә едилсә дә, эксәриjjätт hallarda heç bir дәјишиклик иәзәрә чармыр.

ГАЖТ-ын аппликасијасы исә һәр ики проекцион зонаны потенсиалларының гүтбләринн-дәјишилмәсина сәбәб олур.

Беләлилкә, ики проекцион зонаны мүгајисәси көстәрир ки, соматик зонаны функционал жетишмәсін вахты орбитал зонаны әһәмијјәтли дәрачәдә габаглајыр.

УДК 577.391.539:125.5:591:434

ФИЗИОЛОГИЯ ЧЕЛОВЕКА И ЖИВОТНЫХ

Т. В. АЛИЕВ, Р. А. БАБАЕВ, М. И. ДЖАБАРОВ

ИЗУЧЕНИЕ РАДИОПРОТЕКТОРНЫХ СВОЙСТВ НЕКОТОРЫХ НАПРАВЛЕННО-СИНТЕЗИРОВАННЫХ СОЕДИНЕНИЙ

Целью настоящих исследований являлось выявление наиболее эффективного радиопротекторного препарата среди многочисленных направленно-синтезированных соединений селена.

На экспериментальном материале показан процент выживаемости и средняя продолжительность жизни, а также состояние периферической крови животных, получивших различные селенсодержащие соединения на фоне ионизирующего излучения.

В последнее время синтезирован ряд полифункциональных селенорганических соединений, отличающихся меньшей токсичностью и большей эффективностью по сравнению с неорганическими соединениями селена. Эти вещества отличаются также высокой фармакологической активностью, способностью нормализовать изменения в мембранном аппарате клеток при ряде патологий, а также возможностью их использования в качестве средств, тормозящих развитие патологических процессов при канцерогенезе и лучевом поражении.

Установлено, что при некоторых патологических состояниях, таких как дистрофическое поражение органов и тканей, токсический гепатит, поражение организма ионизирующей радиацией и старение, интенсивно протекают процессы окисления липидов, что ведет к нарушению физико-химической структуры плазматических мембран клеток и субклеточных органелл [5]. При всех этих состояниях соединения селена проявляют значительную антиоксидантную активность, предупреждая изменения в клеточных мембранных, сохраняя тем самым жизнеспособность клеток [3, 10, 11].

Дальнейшие исследования в этом плане представляют интерес для отбора более эффективно и селективно действующих средств среди множества вновь синтезированных соединений селена. В этой связи несомненный интерес представляют вновь синтезированные вещества — селенсемикарбазид, хлоргидрат-1-фенилселено-4-фенил-4-гексаметилен иминобутил-2; фенилселен-2-фенилбутил-2-тетрагидро-1,4 оксазин хлоргидрат; фенилселенпропанол-2-циклогексамин хлоргидрат и селенсемикарбазон олениновой кислоты, у которых изучались нами радиозащитные свойства.

Для сравнения также были подвергнуты испытаниям четыре соединения, полученные на кафедре фармацевтической химии Рязанского медицинского института им. И. П. Павлова А. А. Пурканом. Выбор этих веществ связан прежде всего с тем, что некоторые из них при предварительных испытаниях показали себя как соединения, обладающие радиозащитной активностью.

Известно, что в настоящее время наиболее удовлетворительные результаты при лечении злокачественных новообразований получаются при комбинированном лечении — рентгенотерапии с химиотерапией. С этой точки зрения выявление радиопротекторных свойств направленно-синтезированных соединений имеет одновременно большое значение и в лечении злокачественных новообразований, так как из-за отсутствия достаточно надежных радиопротекторов не представляется возможным подвергать локализованную опухоль облучению, не повреждая при этом целостного организма.

В работе были изучены направленно-синтезированные соединения, содержащие в своем составе селен.

Прежде всего были произведены опыты по выявлению оптимальных нетоксических доз испытуемых соединений. После выявления оптимальных доз были проведены исследования по выявлению радиозащитных свойств. В опытах были использованы 123 белые беспородные крысы (самцы) массой 180—200 г. Животные были разбиты на 12 групп по 10 особей в каждой.

Общее однократное облучение животных производили на аппарате РУМ-17 при следующих условиях: напряжение 180 кВ, сила тока 15 мА, кожно-фокусное расстояние — 30 см без тубуса, фильтры 0,5 мм Cu+1 мм Al, мощность дозы — 0,86 г/мин, суммарная доза облучения — 6,9 г.

Животным каждой группы (10-я группа — контроль) за 40 мин. до облучения вводили внутривенно (ВБ) испытуемые соединения, указанные в табл. 1. Эффективность изучаемых препаратов учитывали по проценту выживаемости животных к 30-м суткам и по средней продолжительности жизни. Все приведенные данные обработаны статистически [7, 8].

Результаты исследований отражены в таблице.

В результате проведенных исследований было выявлено, что из всех предложенных нам соединений наиболее значительный радиозащитный эффект оказывают: селенсемикарбазид; хлоргидрат-1-фенилселен-4-фенил-4-гексаметилениминобутил-2.

В опытах с применением селенсемикарбазида, помимо определения радиозащитных свойств, велись также наблюдения за состоянием животных, изменением их общей массы, веса печени и селезенки, состоянием периферической крови. Все павшие животные подвергались вскрытию.

К 15-му дню после облучения в контрольной группе пали все животные. Что же касается опытной группы, то селенсемикарбазид, введенный крысам внутривенно за 40 мин. до облучения дозой 6,9 г, оказывал устойчивый радиозащитный эффект (50% защиты по сравнению с контролем).

При исследовании течения острой лучевой болезни внутривенное и даже подкожное введение селенсемикарбазида перед облучением облегчает тяжесть лучевого поражения, повышает выживаемость животных по сравнению с контрольной группой. Так, на третий день после облучения в подопытной группе выживаемость животных составляла в среднем 86,6%, в контрольной — 83,3%, на седьмой день в разгар лучевого поражения — соответственно 66,6% и 55,5%, к двенадцатому дню после облучения — 13,3% и 10%. Отмечалось положительное влияние селенсемикарбазида на течение острой лучевой болезни.

тельное влияние селенсемикарбазида на форменные элементы периферической крови. Так, например, количество лейкоцитов в 1 мм^3 крови на третий день после облучения в подопытной группе доходило в среднем до 1300, в контрольной — до 500, на седьмой день — соответственно до 1200 и 450. У подопытных крыс, выживших к двенадцатому дню после облучения, лейкоцитов в периферической крови было 2700, тогда как в контроле — 1300.

Достаточно четкий положительный эффект наблюдался при внутрибрюшинном введении селенсемикарбазида через час после облучения. На седьмой день результаты, полученные по выживаемости животных, оказались равными 73,9% (в контроле — 54,5%), содержание лейкоцитов в 1 мм^3 крови поднялось до 3810 (в контроле 1300). На двенадцатый день после облучения выживаемость была равна 14,4% против контроля, составляющего 10%.

Более убедительные данные получены при одновременном внутрибрюшинном и подкожном введении селенсемикарбазида через час после облучения животных. В этом случае выживаемость животных к двенадцатому дню после облучения составила 27,5% (в контроле 1%). Лейкоцитов в 1 мм^3 определялось до 4810 (в контроле — 1300). Необходимо отметить, что все контрольные животные погибли к двенадцатому дню после радиационного облучения с резкими явлениями острого лучевого поражения.

При исследовании препарата хлоргидрат-1-фенилселено-4-фенил-4-гексаметилиминобутил-2 было выявлено, что при его введении внутрибрюшинно за 40 мин. до облучения в дозе 195 мг/кг соединение оказывало ярко выраженный радиозащитный эффект в 60% случаев при 100% гибели контрольных животных. Средняя продолжительность жизни составляла у подопытных животных $25,6 \pm 1,99$ дня. Неоднократно проведенные исследования показали, что указанное соединение является также и мощным антиоксидантом [4].

Одновременно с указанными соединениями подвергались изучению также соединения: фенилселен-4-фенилбутин-2-тетрагидро-1,4-оксазин хлоргидрат; фенилселенпропанол-2-циклогексиламин хлоргидрат, синтезированные в Институте хлорорганического синтеза им. Ю. Г. Мамедалиева АН Азербайджанской ССР, а также селенсемикарбазид олеиновой кислоты. Эти соединения оказались эффективными в качестве радиопротекторного препарата, оказывая защитное действие в 30% и 20% случаев соответственно при 100%-ной гибели контрольных животных. Интересно подчеркнуть, что средняя продолжительность жизни животных после облучения летальной дозы 6,9 г приблизительно равна для фенилселен-4-фенилбутин-2-тетрагидро-1,4-оксазин хлоргидрата $24,0 \pm 1,7$. Что же касается селенсемикарбазона олеиновой кислоты, то это соединение в применяемой дозе не оказалось радиозащитного эффекта.

Второй этап данной работы заключался в выявлении возможных радиозащитных свойств препаратов, также синтезированных на кафедре фармхимии Рязанского медицинского института, содержащих в своем составе селен. Неоднократные опыты, проведенные с указанными соединениями, не дали обнадеживающего эффекта. К 30-м суткам опыта животные всех исследованных четырех групп пали. При вскрытии были обнаружены изменения в паренхиматозных органах, что является свидетельством того, что хотя эти соединения и не оказывают

Испытанные соединения

№ п.п.	Название соединений	Химическая формула	Примененная доза, мг/кг	Блокире- моctь, %	P	Средняя про- должитель- ность жизни, сутки	P	
1	Контроль					12,4 ± 0,6	—	
1.	Селенсемикарбазид	$\text{NH}_2=\text{N}-\overset{\text{Se}}{\underset{ }{\text{C}}}-\text{NH}_3$	4	50	0,001	25,8 ±	0,001	
2.	Хлоргидрат-1-фенилсе- лен-4-фенил-4-гексаме- тилиминобутил		1,05	6)	0,02	25,6 ± 1,99	0,01	
3.	Фенилселен-4-фенилбу- тин-2тетрагидро-1,4-ок- сазин-хлоргидрат		120	20	0,02	24,0 ± 1,7	0,5	
4.	Фенилселенопропанол-2- циклогексиламин-хло- гидрат		60	30	0,05	24,6 ± 1,54	0,5	

1	2	3	4	5	6	7	8
5. Селенсемикарбазон олеиновой кислоты		Se $\text{NH}_2=\text{NH}-\text{C}(\text{Se})-\text{NH}_2-\text{CH}_2-(\text{CH}_2)_7\text{CH}\equiv\text{C}-(\text{CH}_2)_7-\text{COOH}$	100	0	-	$8,0 \pm 1,4$	0,01
6. 8-оксипиридин-9-селенсемикарбазон		$\text{O}_2\text{N}-\text{C}(\text{Se})-\text{C}_6\text{H}_4-\text{NH}-\text{N}=\text{C}(=\text{Se})-\text{CH}_2-\text{C}(=\text{O})-$	40	0	-	$15,1 \pm 2,17$	0,2
7. Соль 4-нитробензол-1-селеназол-1-гидразид		$\text{O}-\text{NH}-\text{C}(\text{Se})-\text{C}_6\text{H}_4-\text{NH}-\text{N}=\text{C}(=\text{Se})-\text{CH}_2-\text{C}(=\text{O})-$	25	0	-	$11,0 \pm 1,71$	0,5
8. 4-оксиселеноэзол-2-ацетоксифенол-6дизаид		$\text{O}-\text{NH}-\text{C}(\text{Se})-\text{C}_6\text{H}_4-\text{NH}-\text{N}=\text{C}(=\text{Se})-\text{CH}_2-\text{HBr}-\text{C}(=\text{O})-\text{OCH}_3$	20	0	-	$6,9 \pm 0,02$	0,002
9. Оксиселеноэзол диметилоксид		$\text{O}-\text{NH}-\text{C}(\text{Se})-\text{C}_6\text{H}_4-\text{NH}-\text{N}=\text{C}(=\text{Se})-\text{CH}_2-\text{OCH}_3$	35	0	-	$14,6 \pm 2,03$	0,5

радиопротекторной эффективности, но в определенной степени проявляют радиосенсибилизирующее свойство.

Согласно имеющимся данным литературы [1], некоторые соединения селена, в частности селенат натрия, селенит натрия и селенофен, обладают определенным радиозащитным действием. По-видимому, это действие объясняется тем, что антиокислители, представителем которых является селен, разрывают цепь реакций образования свободных радикалов и препятствуют разрушению клеточных органелл [9]. Некоторые авторы отмечают, что соединения селена обладают своеобразным механизмом действия, вызывая стабилизацию плазматических мембран—ядерных и внутриклеточных, и способствуют тем самым увеличению количества рибосом в ядре и на эндоплазматической сети, повышению содержания гликогена в клетках.

Проведенные в последнее время многочисленные исследования по изучению ферментативной активности лактатдегидрогеназы и ее изоферментов у облученных животных, получавших селенсемикарбазид, показали, что на ранних стадиях развития лучевой болезни значительно усиливаются окислительные процессы в различных тканях и органах животных, а введение селенсемикарбазида и хлоргидрат-1-фенилселено-4-фенил-4-гексаметиленимобутин-2 предотвращает быстрое нарушение функции митохондрий и других органелл клеток.

Литература

1. Абдуллаев Г. Б., Гасанов Г. Г., Мехтиев М. А., Джазаров А. И., Мазанов Д. М., Бабаев Р. А. и др. ДАН Азерб. ССР, т. XXIX, № 3, с. 12–17, 1973
2. Абдуллаев Г. Б., Мехтиев М. А., Садыхов С. Т., Гаузер Е. Г., Насирова Ф. Т., Мазанов Д. М., Бабаев Р. А. Тезисы докладов Республиканской конференции «Биохимия витамина Е и селена и их применение в медицине и животноводстве» Киев, «Наукова думка», 1973.
3. Абдуллаев Г. Б., Мехтиев М. А., Рагимов Р. Н. Селен в биологии. Материалы II научной конференции. Баку, 1976.
4. Абдуллаев Г. Б., Ахмедов И. М., Раджабов Д. Т., Гусейнов М. М., Алиев А. Ю. и др. Авторское свидетельство СССР, № 694500, Бюллетень изобретений № 40, с. 88, 1979.
5. Владимиров Ю. А., Арчаков А. И. Перекисное окисление липидов в биологических мембранных. М., 1972.
6. Кудрин А. Н., Чернышева Л. Ф. Селен в биологии. Материалы I Республиканской конференции. Баку, «Элм», 1974.
7. Плохинский Н. А. Биометрия. Новосибирск, СО АН СССР, 1961.
8. Рокицкий П. Ф. Биологическая статистика. Минск, 1973.
9. Тарусов Б. Н., Иванов И. И., Петрусович Ю. М. Сверхслабые свечения в биологических системах. М., МГУ, 1967.
10. Earnsworth Christopher. Biochim. et Biophys. Acta, N 2, 552, 281–287, 1979.
11. Wiesner Berschneider, Willer S. Arch. exp. Veterinarmed., N 2, 299, 1007–1011, 1979.

Институт физиологии
Азгосуниверситет им. С. М. Кирова

Т. В. Элиев, Р. А. Бабаев, М. И. Чаббаров

МӘГСӘДЈӨНЛҮ СИНТЕЗ ОЛУМУШ БИР СЫРА МАДДӘЛӘРИН ШҰАЛЕЙНІШІНДЕ ТӘ'СИРИ

Ренткен шұаларының тә'сирінә мә'руз галмыш тәчрүбә һејванлары үзәріндеги истиғаметті синтез олумыш бир сыра селенли маддәләрін шұа алејінен тә'сирі өјрәнілмішидір.

Мүәжжін еділмішидір ки, мәгсәдјөнлү синтез олумасына бақмајараг, тәдгиг еділән 9 маддәдән жалызы икисі бу вә ja дикәр сөвијідә истанғилән еффект көстәрир ки, (30% вә 20%) бу да өз-өзлүйнде е'тибарлы нағылда саяла билмәз.

ФИЗИОЛОГИЯ ЧЕЛОВЕКА И ЖИВОТНЫХ

Ф. Б. АСКЕРОВ, С. А. АЛЕКПЕРОВА

МОРФОЛОГИЧЕСКИЕ ИЗМЕНЕНИЯ В СТРУКТУРАХ
ГИПОТАЛАМУСА ПРИ РАЗЛИЧНЫХ УРОВНЯХ
ПИТЬЕВОЙ МОТИВАЦИИ

В результате ранее проведенных нами морфологических и гистохимических исследований по изучению отдельных структур гипоталамуса при различных сроках лишения животных воды было установлено, что водная депривация (ВД) приводит к определенным морфоцитохимическим изменениям в отдельных образованиях гипоталамуса, причем в зависимости от уровня питьевой мотивации, т. е. степени обезвоживания организма водой, в регуляторные процессы вовлекаются различные ядра гипоталамуса [1, 2, 5].

В связи с этим, учитывая важность морфогистохимического подхода для оценки функционального состояния и нейрохимической специфиности нервных клеток, представляется актуальным и важным изучение морфологических и гистохимических особенностей различных ядер гипоталамуса у предварительно воднодепривированных животных на фоне различных сроков насыщения их водой, что позволит провести изучение по выяснению восстановительных возможностей исследованных структур, степени их восстановления в зависимости как от сроков обезвоживания организма, так и от сроков последующего восстановления питьевого режима, что в свою очередь, возможно, обеспечит еще одно экспериментальное подтверждение высказанных нами в ранее проведенных исследованиях предположений об участии отдельных ядер гипоталамуса в регуляции водно-солевого обмена.

В данной работе ставилась цель изучить морфологические изменения, а именно состояние нисслевского вещества, в ядрах гипоталамуса у предварительно воднодепривированных животных на фоне различных сроков их насыщения водой.

Работа проведена на белых крысах линии Вистар одинакового веса и возраста. В каждой группе было исследовано 10 крыс. Контрольная группа животных получала пищу и воду. Одна группа опытных животных лишалась приема воды в течение одних суток, затем они принимали воду и их забивали в разные сроки насыщения водой — через 1,3 и 5 дней. Другая группа лишалась приема воды в течение 3 суток, а затем насыщалась водой и забивалась в течение 1, 3, 7 и 20 дней. Материал для исследования взят после декапитации животных. Животные во время декапитации находились под нембуталовым наркозом. Мозг целиком фиксировали в жидкости Карниуза, проводили по обезвоживающим средам, заливали в парафин. Полученные на микротоме фронтальные срезы толщиной 7 мкм депарафинировали в ксиоле, проводили по спиртам нисходящей крепости, промывали в воде, окрашивали 0,1%-ным раствором крезил-виоллета (фирма Мерк, ФРГ). Подогревание препаратов проводили на спиртовке весьма осто-

рожно до появления первых пузырьков на предметном стекле. Затем срезы сполоскивали водой в течение 1—2 минут, дифференцировали 96° спиртом, просветляли в ксиоле и заключали в бальзам.

Объектом исследования являлись латеральная преоптическая область (LPO), супраоптическое (SO), паравентрикулярное (PV), латеральное (HL), вентромедиальное (VM), латеральное мамиллярное (ML) и медиальное мамиллярное (MM) ядра гипоталамуса.

На препаратах, полученных от контрольной группы животных, при исследовании под световым микроскопом «Ампливал» нейроны и глиальные клетки — астроциты, олигодендроциты, микроглия — насыщены нисслевским веществом, которое равномерно распределено по всей цитоплазме в виде глыбок или зерен синевато-фиолетового цвета.

После 1-суточной ВД среди изучаемых ядер в LPO, HL и SO наблюдалась выраженные морфологические изменения — набухание клеточного тела, центральный тигролиз, передвижение нисслевского вещества к периферии. Восстановление питьевого режима в течение 24 часов таким животным характеризовалось сохранением вышеописанной морфологической картины в этих ядрах, что свидетельствует о том, что 1-суточное насыщение водой недостаточно для восстановления морфологии в нейронных организациях этих ядер гипоталамуса (рис. 1, 2). Следует отметить, что в эти сроки восстановления симптомы «первичного раздражения» наблюдались в отдельных нейронах VM ядра, что свидетельствует о том, что, по-видимому, это ядро более чувствительно к состоянию насыщения организма водой. Это подтверждается литературными данными [7], свидетельствующими о взаимосвязи формы агрегации нисслевского вещества и потоками афферентной импульсации, поступающей по специфическим путям к соответствующим нейронным ансамблям, которые ответственны за первичное восприятие.



Рис. 1.

Рис. 1. Морфологические изменения в супраоптическом ядре гипоталамуса у суточно насыщенных воднодепривированных животных. Окраска по Нисслю. Ув. 90×10.



Рис. 2.

Рис. 2. Морфологические изменения в латеральном ядре гипоталамуса у суточно насыщенных воднодепривированных животных. Окраска по Нисслю. Ув. 90×10.

При продолжении приема воды после 3-суточного насыщения организма водой наблюдалось восстановление нормальной морфологической картины в отдельных нейронах LPO, SO ядер гипоталамуса в этих ядрах по сравнению с другими областями (HL) гипоталамуса

можно связать с тем, что, очевидно, эти группы нейронов тесно связа-



Рис. 3.

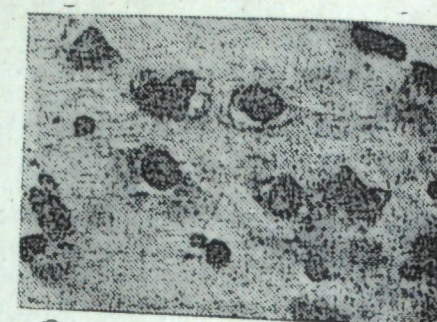


Рис. 4.

Рис. 3. Морфологические изменения в супраоптическом ядре гипоталамуса у трех суточно насыщенных воднодепривированных животных. Окраска по Нисслю. Ув. 90×10.

Рис. 4. Морфологические изменения в латеральной преоптической области у трех суточно насыщенных в однодепривированных животных. Окраска по Нисслю. Ув. 90×10.

ны с осмотическим давлением (осморецепторы) и их восстановление более необходимо. В литературе имеются данные о том, что осмотическая часть переднего гипоталамуса сильно развита и лучше снабжена кровью [9].

После 3-суточной ВД почти во всех исследуемых ядрах гипоталамуса наблюдались выраженные морфологические изменения. При насыщении организма водой в течение 1 суток среди изучаемых структур гипоталамуса только в единичных нейронах SO ядра происходят восстановительные процессы, что объясняется тем, что если после дегидратации организма активность нейросекреторной деятельности этих образований подавляется, то насыщение водой тут же вызывает повышение нейросекреторной деятельности определенных групп нейронов этого ядра. Это хорошо согласуется, с рядом литературных данных [4, 8], согласно которым при дегидратации организма наблюдается повышение количества нейросекрета.

При продолжении приема воды после 3-суточного насыщения организма водой наблюдалось восстановление морфологической картины в отдельных нейронах LPO, SO и PV. Относительно раннее восстановление структурно-метаболических компонентов среди изучаемых образований в некоторых нейронах PV, SO, LPO ядер можно связать с тем, что передний гипоталамус лучше обеспечен капиллярной системой, чем средний и задний гипоталамус [6] (рис. 5).

Позднее восстановление нейронных организаций VM и HL ядер (после 7 и 20 суток) можно объяснить тем, что эти ядра тесно связаны с регуляцией пищевого поведения животных и, по-видимому, при ВД (3 суток) по сравнению с нейронными организациями SO, PV и LPO ядер более глубокие изменения происходят в нуклеопротеинах VM и HL ядер и потому восстановление морфологической картины в этих ядрах протекает медленнее (рис. 6). Можно это объяснить и тем, что количество глиальных клеток, особенно астроцитов, после 2–3 суток ВД в LPO, SO, PV ядрах увеличивается, а в VM и HL составляет



Рис. 5. Морфологические изменения в паравентрикулярном ядре гипоталамуса у трех суточно насыщенных воднодепривированных животных. Окраска по Нисслю. Ув. 90×10.

137,9 и 100% по сравнению с контрольными животными [3], поэтому восстановление морфологической картины в этих ядрах задерживается.

Таким образом, в результате проведенных морфологических исследований установлено, что у воднодепривированных животных насыщение организма водой приводит к восстановительным, репаративным процессам в нейронных организациях отдельных образований гипоталамуса, причем степень восстановления гипоталамических структур зависит как от уровня дефицита воды в организме, так и от сроков насыщения ее водой.



Рис. 6. Морфологические изменения в латеральном ядре гипоталамуса у семи суточно насыщенных воднодепривированных животных. Окраска по Нисслю. Ув. 90×10.

Наблюдаемое нами более раннее проявление восстановительных процессов среди изучаемых структур в нейронных организациях LPO, SO и PV ядер гипоталамуса свидетельствует о том, что среди гипоталамических образований более чувствительны к механизмам насыщения организма водой именно эти структуры. Это указывает в свою очередь на функциональную тесную связь указанных ядер гипоталамуса с механизмом насыщения.

Литература

1. Аскеров Ф. Б., Алекперова С. А. «Изв. АН Азерб. ССР», 6, 105–108, 1978.
2. Алекперова С. А. Материалы II конференции молодых физиологов Закавказья. Баку, 5, 1979.
3. Алекперова С. А., Аскеров Ф. Б. «Изв. АН Азерб. ССР», 5, 1981.
4. Войткевич А. А., Овчинникова Г. А. Бюлл. эксперим. биол. и мед., 53, 1, 93–97, 1962.

5. Гасанов Г. Г., Алекперова С. А., Андерс В. Н., Аскеров Ф. Б. «Ж. невропатологии и психиатрии им. С. С. Корсакова», 80, 7, 1081—1084, 1980.
6. Поповиченко Н. В. В кн.: «Роль гипоталамической нейросекреторной системы в приспособительных реакциях организма». Киев, 1973.
7. Коган А. Б. В кн.: «Функциональная организация нейронных механизмов мозга». Л., «Медицина», 1979.
8. Ушаповская Л. Н. В кн.: «Физиология и биохимия ядер мозга», 24—30, 1971.
9. Euler U. S. Adrenergic neurotransmitter functions. Science, 174, 202—206, 1971.

Институт физиологии

Ф. Б. Эскеров, С. Э. Элекбэрова

СУ ТЭЛЭБАТЫНЫН МУХТАЛИФ СЭВИЈЈЭЛЭРИНДЭ ҮНПОТАЛАМУСУН АЙРЫ-АЙРЫ НҮВЭЛЭРИНДЭ КЕДЭН МОРФОЛОЖИ ДЭЈИШИКЛИКЛЭР

Тэчүүбэлэр аг сичувуллар үзэрийдэ сусузлугун мухталиф мэрхэлэлэрийдэ вэ су тэлэбатыны бэрпасы дөврүндэ апарылмышдыр.

Апардыхымыз тэдгигатларын иэтничеснэ мүэжжэн едилмишдир ки, һэм сусузлуг вэ һэм дэ онун бэрпасы үнпotalamusun мухталиф нэвлэрийдэ неуронларын морфологи дэјишикликлэрийн сэбэб олур. Бүнларын дэрэчэс су тэлэбатынын сэвијјэснидэн асы-лыдыр.

Сусузлугун бэрпасы заманы өүрэнилэн үнпotalamик нүвэлэр ичэрийнде морфоложи дэјишикликлэрийн илк дафэ латерал преоптик, супраоптик вэ паравентрикулјар нүвэлэрийнда мушаңида олумасы организмдэ сусузлугун бэрпасы механизми илэ һэмийн нүвэлэрийн сых функционал элагэдэ олдугууну вэ сусузлуг тэлэбатынына даха һэссас од-дугууну иебат едир.

АЗЭРБАЙЧАН ССР ЕЛМЛЭР АКАДЕМИЯСЫНЫН ХЭБЭРЛЭРИ
Биологија елмлэри серијасы, 1984, № 1

ИЗВЕСТИЯ АКАДЕМИИ НАУК АЗЕРБАЙДЖАНСКОЙ ССР
Серия биологических наук, 1984, № 1

УДК 612.591+592.147.4

ФИЗИОЛОГИЯ ЧЕЛОВЕКА И ЖИВОТНЫХ

М. Г. АЛИЕВ, Н. И. АХМЕДОВА

ГИПОТАЛАМИЧЕСКИЙ МОНОАМИНЕРГИЧЕСКИЙ МЕХАНИЗМ ДЕЙСТВИЯ ОКСИТОЦИНА НА СИНТЕЗ И СЕКРЕЦИЮ ГИПОФИЗАРНОГО ПРОЛАКТИНА

Экспериментально доказано, что экзогенно вводимый окситоцин свое действие на образование и секрецию ПРЛ осуществляется через гипоталамическуюmonoаминергическую систему. Под его действием блокируется дофаминергическая и стимулирующая систему. Серотонинергическая система гипоталамуса, что в свою очередь ведет к повышению образования ПРЛ в аденогипофизе и секреции его в кровь.

Пролактин (ПРЛ) является основным гормоном, регулирующим секрецию молока, а окситоцин составляет конечное звено рефлекса молокоотдачи. В теоретическом и особенно практическом аспекте важно выяснить роль окситоцина в осуществлении взаимосвязи между молокоотдачей и секрецией молока. Одним из многих предполагаемых эффектов окситоцина на секрецию молока является его возможное влияние на освобождение ПРЛ [1]. Окситоцин, по-видимому, действительно является пусковым или по крайней мере одним из пусковых факторов в механизме освобождения ПРЛ. Однако этот вопрос и особенно гипоталамо-гипофизарные механизмы действия окситоцина на синтез и секрецию ПРЛ требуют специальных исследований.

На основе анализа литературных данных можно заключить, что катехоламины, в частности дофамин (ДА), через медиобазальный гипоталамус замедляют синтез и секрецию ПРЛ [2—4]. Серотонинсодержащие структуры гипоталамуса стимулируют образование и секрецию ПРЛ [5]. Поэтому изучение влияния окситоцина на содержание нейроаминов в гипоталамусе представляет большой интерес, так как эти исследования позволяют раскрыть гипоталамические механизмы влияния окситоцина на синтез и секрецию ПРЛ.

Вышеизложенное явилось основанием для изучения метаболизма нейроаминов в гипоталамусе под влиянием окситоцина.

Опыты проведены на 24 крысях-самках линии Вистар массой 180—220 г. Они были разделены на 4 группы: 1-я контрольная (фон), остальные животные были разделены с учетом времени после введения окситоцина: 2-я — через 30 минут, 3-я — 60 минут и 4-я группа — через 120 минут после инъекции. Кровь для анализа брали из суборбитального синуса, а крыс декапитировали гильотиной. Окситоцин вводили однократно внутримышечно в дозе 0,028 ед/кг массы тела.

Крысы находились на обычном рационе в идентичных условиях. После инъекции окситоцина все группы животных декапитировали гильотиной. Гипоталамус и гипофиз извлекали сразу же после декапитации (на льду) и взвешивали на торсионных весах с точностью до 0,1 мг.

Таблица 1

Влияние окситоцина на содержание дофамина, норадреналина, серотонина и 5-ОИУК (нг/г) в гипоталамусе ($n=6$)

Группа животных	Условия опыта	Статистические показатели	Дофамин	Норадреналин	Серотонин	5-ОИУК
1 Фон		$M \pm m$	589 ± 65,4 100 $M \pm m$ $M \pm m$	812 ± 39,67 100 $M \pm m$ $<0,01$	592 ± 39,97 100 $M \pm m$ $941 \pm 41,66$	885 ± 22,45 100 $M \pm m$ $995 \pm 33,99$
2 Через 30 минут		$P(2-1)$	352 ± 28,79 60,4 $M \pm m$	588 ± 37,94 72,4 $<0,001$	158,9 $M \pm m$	112,4 $M \pm m$
3 Через 60 минут		$P(3-1)$ $P(3-2)$	435 ± 44,10 73,8 $>0,5$	757 ± 43,95 93,2 $>0,5$	774 ± 36,86 130,7 $<0,01$	1056 ± 44,48 119,3 $<0,05$
4 Через 120 минут		$P(4-1)$ $P(4-2)$ $P(4-3)$	572 ± 43,34 97,1 $>0,5$	795 ± 73,85 97,9 $>0,5$	679 ± 21,93 114,7 $>0,1$	1136 ± 44,32 128,4 $>0,1$
					$<0,05$	$>0,05$
					$<0,05$	$>0,2$

Содержание катехолминов (дофамин — ДА, норадреналин — НА), серотонина (С) и 5-оксигидроксусной кислоты (5-ОИУК) в гипоталамусе определяли флуориметрически по Когану и др. [6] на спектрофлуориметре МРГ — 4 «Хитачи».

Содержание ПРЛ и соматотропного гормона (СТГ) в аденогипофизе определяли микрометодом электрофореза на полиакриламидном геле с последующей спектрофотометрией на СФ—4А при длине волны 610 нм [7].

Концентрацию ПРЛ в плазме крови определяли радиоиммунологическим методом. Радиоактивность подсчитывали на автоматическом гамма-сцинтилляционном спектрометре «ULTROGAMMA» фирмы «LKB» (Швеция).

Полученные цифровые данные обработаны методом биологической статистики [8].

Сравнительный анализ полученных данных показывает, что под влиянием окситоцина происходят закономерные изменения в содержанииmonoаминов в гипоталамусе (табл. 1). Через 30 минут после введения окситоцина содержание ДА и НА в гипоталамусе по сравнению с величиной фона резко снижается на 39,6% ($p<0,01$) и 27,6% ($p<0,001$) соответственно. При этом содержание С в гипоталамусе значительно повышается (до 58,9%) ($p<0,001$). В соответствии с изменением содержания С в гипоталамусе уровень его метаболита 5-ОИУК увеличивается на 12,4% ($p<0,05$). Блокирование образования катехоламинов (ДА, НА), усиление метаболизма С и 5-ОИУК в гипоталамусе после действия окситоцина способствует стимуляции синтеза и секреции ПРЛ в аденогипофизе (табл. 2).

Таблица 2

Изменение уровня содержания ПРЛ и СТГ в аденогипофизе и ПРЛ в крови в разные сроки после введения окситоцина

Группа животных	Условия опыта	Статистические показатели	В аденогипофизе, МЕД		В крови, нг/мл ПРЛ
			ПРЛ	СТГ	
1	Фон	$M \pm m$	0,670 ± 0,0690 100 $M \pm m$ $n=6$	0,452 ± 0,17 100 $M \pm m$ $n=6$	1,43 ± 0,08 100 $M \pm m$ $n=6$
2	Через 30 минут	$P(2-1)$	1,275 ± 0,048 190,3 $<0,001$ $n=4$	0,393 ± 0,043 87 $>0,5$ $n=5$	2,14 ± 0,03 149,6 $M \pm m$ $n=10$
3	Через 60 минут	$P(3-1)$ $P(3-2)$	1,023 ± 0,082 152,7 $<0,001$ $n=6$	0,415 ± 0,031 91,8 $>0,5$ $n=6$	1,77 ± 0,12 123,8 $M \pm m$ $n=16$
4	Через 120 минут	$P(4-1)$ $P(4-2)$ $P(4-3)$	0,720 ± 0,185 107,5 $>0,05$ $>0,01$ $n=5$	0,503 ± 0,022 111,3 $>0,5$ $>0,05$ $n=4$	1,74 ± 0,11 121,7 $M \pm m$ $n=14$

Содержание ПРЛ в аденогипофизе спустя 30 минут после введения окситоцина увеличивается на 90,3% ($p < 0,01$) по сравнению с показателем фона. При этом концентрация циркулирующего в крови ПРЛ повышается на 49,6% ($p < 0,01$).

Весьма характерные изменения в изучаемых показателях наблюдаются и на 60-минуте после введения окситоцина. Однако степень действия окситоцина на метаболизмmonoаминов в гипоталамусе, а также содержание ПРЛ в аденогипофизе и в крови меньше по сравнению с 30-й минутой после инъекции.

На 120-й минуте после введения окситоцина обнаружено достоверное изменение лишь в показателях С и 5-ОИУК в гипоталамусе, ПРЛ в аденогипофизе и в крови. Однако блокирующее влияние окситоцина на образование катехоламинов в гипоталамусе отсутствует.

Анализ полученных результатов свидетельствует о том, что максимальный пролактинстимулирующий эффект окситоцина наблюдается в первые 30 минут после его введения. В последующие сроки действие окситоцина уменьшается.

Закономерность направленных изменений в содержании monoаминов в гипоталамусе, а также образование и секреция ПРЛ в аденогипофизе под влиянием окситоцина свидетельствуют о непосредственном влиянии его на гормонообразовательную функцию передней доли гипофиза.

Анализы полученных результатов и литературных данных дают основание полагать, что на фоне окситоцина повышение синтеза и секреции ПРЛ является результатом стимуляции серотонинергической системы и ингибции катехоламинов в гипоталамусе. В последующих исследованиях следует отдифференцировать роль каждой из этих систем в механизме действия окситоцина на секрецию ПРЛ.

Изложенное позволяет считать, что окситоцин стимулирует серотонинергические системы, ингибирует образование катехоламинов в гипоталамусе и способствует биосинтезу секреции ПРЛ в аденогипофизе. Полученные данные находят свое подтверждение в исследованиях, проводимых сотрудниками нашей лаборатории, в которых установлено, что monoaminергические системы гипоталамуса играют активную роль в контроле гормонообразовательной функции гипофиза, в частности синтеза и секреции гипофизарного ПРЛ — основного лактогенного гормона [9, 10, 11].

Установленный факт влияния окситоцина на синтез и секрецию ПРЛ проливает свет на механизмы взаимодействия двух функций молочной железы — секреции молока и молокоотдачи. Это важно для решения практических вопросов физиологии лактации.

Литература

1. Pitzel L., Dusnec K., Kreikenbaum K., Oertzen H. D., König A. «Exp. Brain Res.», 1981, 43, N 2, pp. 213–216.
2. Tolis G., Friesen H. G. Recent stud. Hypothalamic Funct., Basel e.a. 1974, pp. 134–146.
3. Blaké C. A. «Endocrinology», 1976, v. 98, pp. 99–104.
4. Ben-Jonathan N., Neil M. A., Ardsogast L., Ygia A. «Endocrinology», 1980, v. 106, N 3, pp. 690–696.
5. Carthwale T. L., Hagen T. C. «Neuroendocrinology», 1979, v. 29, N 3, pp. 215–220.
6. Коган М. Б., Нечаев Н. В. «Лаб. дело», 1979, 5, с. 301–303.

7. Курц М., Надь И., Баронян П. «Пробл. эндокринол.», 1969, № 5, с. 65–71.
8. Рокицкий П. Ф. Биологическая статистика. Минск, 1973, с. 320.
9. Алиев М. Г. Тезисы докл. XIV съезда Всесоюзного физиологического общества им. И. П. Павлова, Баку, 1983, т. I, с. 450.
10. Исмаилов Ю. Б. Гипоталамо-гипофизарный, механизм лактогенного эффекта препаратов бутерофеонового ряда разной продолжительности действия, Автoref. канд. дисс. Баку, 1982.
11. Рагимова Ш. А. «Изв. АН Азерб. ССР, серия биол. наук», 1983, № 1.

Институт физиологии

М. Ի. Әлијев, Н. И. Әһмәдова

ОКСИТОСИННИН ТӘ'СИРИНДӘН ҮИПОФИЗАР ПРОЛАКТИНИН ЭМӘЛЭ ҚӘЛМӘСИ ВӘ СЕКРЕСИЈАСЫНЫН ҮИПОТАЛАМО-ҮИПОФИЗАР МЕХАНИЗМИ

Үипоталамусда дофамин (ДА), норадреналин (НА), серотонин (С) ва 5-оксигидротирозинкипроксид (5-ОИСТ), үиփофиздә вә ган зәрдабында пролактинин (ПРЛ) мигдарына окситосинин тә'сири өјрәнилмишdir. Тәчрутәләр Вистар хәттindән олан сичо-вуллар үзәриндә апарылымышдыр. Окситосин күндә бир дәфә һәр кг чакијә 0,023 мкг/кг вагинидә әзәлә дахилина вурулмушшур. Мүәйјән едилемишdir ки, окситосин үипоталамусун серотонинергик системини стимулјасыја, катехоламик системи исә блокада едир. Окситосинин тә'сириндән нејроаминләриң үипоталамусда метаболизминин белә дәжишмәси ПРЛ-ин аденоүиփофиздә мигдарынын вә онун гана секресијасынын мұвағығ вуролараг 90,3% вә 49,6% јүксәлмәсінә сәбәп олур. Йүксәк дәжишикликләр окситосини вурдуган 30 вә 60 дәгигә соңра мүшәнидә олунур.

Белә иәтичәјә қалмәк олар ки, екзокен окситосин үиփофизар ПРЛ-ин синтез вә секресијасына вә тә'сирини үипоталамусда monoaminләриң метаболизмини дәжишилдirmәк жолу ила көстәрир.

УДК 612.822.3+612.827

ФИЗИОЛОГИЯ ЧЕЛОВЕКА И ЖИВОТНЫХ

Т. М. ИСМАИЛОВ

ВЛИЯНИЕ ЭТАНОЛА НА ИМПУЛЬСНУЮ АКТИВНОСТЬ
КЛЕТОК ПУРКИНЬЕ МОЗЖЕЧКА КОШЕК

В работе проведено исследование действия этанола на импульсную активность клеток Пуркинье мозжечка кошек. Установлено, что средние дозы этанола значительно повышают частоту разрядов клеток Пуркинье.

Одним из характерных признаков острого алкогольного отравления является нарушение статики и координации движений, очень сходное с симптомами мозжечковой атаксии. В связи с этим можно предположить, что одним из мест приложения действия этанола является ключевой элемент мозжечка — клетка Пуркинье (КП), поскольку она является его единственным выходным элементом, на котором конвергируют все известные афферентные модальности. Из анализа немногочисленных работ, имеющихся в литературе, можно сделать вывод о том, что действие этанола в большинстве случаев проявляется в увеличении частоты разрядов КП мозжечка. Причем у крыс этот эффект наблюдался при внутривенных инъекциях этанола [12], при введении его через пищеварительный тракт [10], а также при прямом действии этанола на нейроны мозжечка в культуре ткани [11]. В то же время при исследовании импульсной активности нейронов коры мозжечка кошек было отмечено уменьшение частоты разрядов после внутривенных инъекций этанола [5].

Учитывая противоречивость приведенных данных, мы решили провести систематическое исследование действия этанола на импульсную активность клеток Пуркинье мозжечка кошек.

Опыты проводились на взрослых кошках, наркотизированных смесью нембутала с хлоралозой в соотношении 3:1 (45 мг/кг и 15 мг/кг соответственно). Хирургические процедуры заключались в открытии мозжечка, трахеотомии и установке канюли в бедренную вену для введения этанола. Этanol вводился внутривенно в дозах 0,8—1,5 мл/96 алк/кг, разбавленных до концентрации 30% физиологическим раствором, в течение 1—1,5 мин. Контрольным животным вводился физиологический раствор в том же объеме и с той же скоростью. Регистрация клеток Пуркинье производилась внеклеточно при помощи стеклянных микроэлектродов, заполненных 3 М раствором хлористого натрия с диаметром кончика 1—2 мкм и сопротивлением — 2—6 Мом. Все опыты проведены на идентифицированных клетках Пуркинье. Основным критерием идентификации было одновременное наличие в картине разряда КП сложных и простых спаек, а также тормозной паузы после сложной спайки [4, 7, 13].

Запись фоновой активности клетки Пуркинье производилась в течение 10—30 мин. до введения этанола. Затем внутривенно вводился

этанол, и регистрация активности той же клетки продолжалась далее в течение 30—60 мин. Регистрируемая импульсная активность КП подавалась на осциллограф для фотoreгistration и записывалась на магнитную ленту для последующей обработки на ЭВМ «Электроника Д3—28». Программы обработки включали следующие виды анализа: гистограмма распределения МИ по длительности в мс; величина среднего межимпульсного интервала (МИ) в мс. В общей сложности анализируется активность 98 клеток Пуркинье мозжечка, из которых 27—в условиях действия этанола.

Внутривенное введение средних доз этанола (30% 2 мл/кг) в большинстве наших опытов (85—87%) вызывало значительное повышение частоты разрядов КП за счет простых спаек с одновременным снижением частоты сложных разрядов. На рис. 1 представлены гистограммы распределения межимпульсных интервалов (МИ) клетки Пуркинье мозжечка кошки до (А) и после введения этанола (Б). Из рисунка видно, что в условиях нормы разряд клетки был крайне нерегулярным, что видно из наличия почти всех длительностей МИ в пределах 120 мс и их сравнительно большой концентрацией в области 20—40 мс. Кроме того, из верхней части гистограммы (А) можно видеть, что из числа анализируемых 1000 интервалов 7,7% приходилось на сравнительно длинные МИ — порядка 120 мс. Эти интервалы в подавляющем числе случаев относятся к тормозной паузе в разряде простых спаек, возникающей сразу после активации КП афферентным входом лазящих волокон. Совершенно иной характер распределения длительностей МИ на гистограмме МИ клетки Пуркинье в условиях действия этанола (рис. 1, Б). В этих условиях величины межимпульсных интервалов значи-

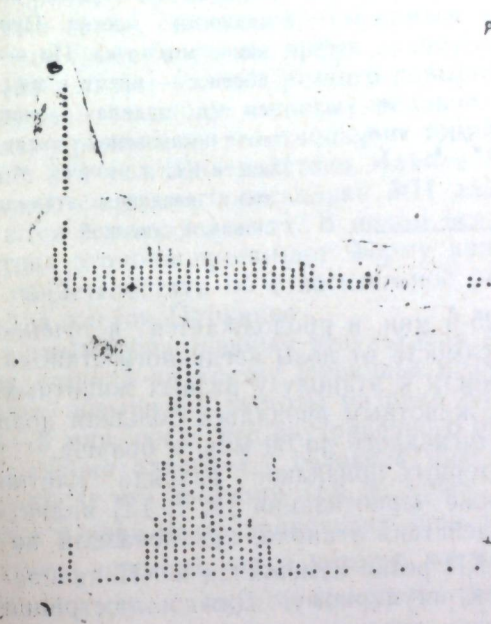


Рис. 1. Гистограмма распределения межимпульсных интервалов КП мозжечка по длительности.

А — фоновая активность КП; Б — активность КП во время действия этанола. По оси абсцисс — величина межимпульсных интервалов в миллисекундах; по оси ординат — количество интервалов в %. Каждая гистограмма включает 1000 интервалов.

тельно сокращаются и группируются в основной в левой части гистограммы, т. е. в области коротких длительностей — 15—18 мс. Поскольку длительности МИ и частота находятся в обратной пропорциональ-

ной зависимости друг от друга, то с уменьшением МИ частота разряда КП возрастает. В частности, если в условиях нормы средний МИ равнялся 39 ± 4 мс, а частота соответственно равнялась 26 Гц, то в условиях действия этанола средний МИ снизился до 16 ± 01 мс, а частота разряда КП соответственно возросла до 62 Гц.

Обращает на себя внимание и тот факт, что в условиях действия этанола количество длительных межимпульсных интервалов резко уменьшалось и самый длительный МИ не превышал 60—70 мс. На рис. 1,Б это выражается в том, что в правой части гистограммы полностью устраниются показатели длинных межимпульсных интервалов (ср. с гистограммой А, рис. 1). Вместе с тем сравнение гистограмм А и Б рис. 1 дает основание сделать вывод о том, что во время действия этанола значительно сокращается тормозная пауза после активации КП на входе лазящих волокон.

Наглядную иллюстрацию того, что на фоне действия этанола происходит значительное повышение частоты разряда клеток Пуркинье дает рис. 2, из которого видно, что в ходе 20 мин. записи фоноактивной КП ее частота в среднем колебалась в пределах 17 Гц, после внутривенного введения этанола наиболее существенное изменение частоты разряда КП стало проявляться начиная с 5-й мин. Если учесть, что само время введения этанола занимало около одной минуты, то первые признаки действия этанола, судя по многим нашим регистрациям, начинали проявляться на 5—6-й мин. после его внутривенного введения в бедренную вену кошки. Из рис. 2 видно, что максимальное действие этанола проявляется с 20—25-й мин. и продолжается в течение 10—30 мин. после введения в зависимости от дозы введенного этанола, а также индивидуальной толерантности к этанолу у разных животных. В некоторых наших опытах, когда животным вводилась большая доза этанола (4 мл/кг), его действие затягивалось до 60 мин. и больше.

Как известно, одним из характерных признаков разряда клетки Пуркинье в условиях нормы, а также наркотизации [8, 1, 13] является ее нерегулярность. В условиях действия этанола, как показали наши опыты, это свойство в разряде КП резко изменяется и КП начинает разряжаться в ритме, близком к регулярному. Для иллюстрации этого положения мы воспользовались анализом гистограмм межимпульсных интервалов в фоне и в условиях действия этанола (рис. 3). Верхняя часть рис. 3 показывает процентное распределение межимпульсных интервалов в условиях фона. Из него видно, что наибольший

долю коротких и длинных интервалов (10,6 и 33,5%) приходится на долю коротких и длинных интервалов соответственно. Сравнительно большой процент коротких

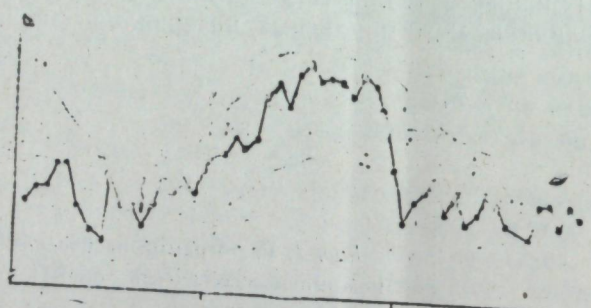


Рис. 2. Частотограмма активности клетки Пуркинье мозжечка. По оси абсцисс — время в мин.; по оси ординат — частота импульсной активности КП в имп/сек. Момент введения этанола показан стрелкой.

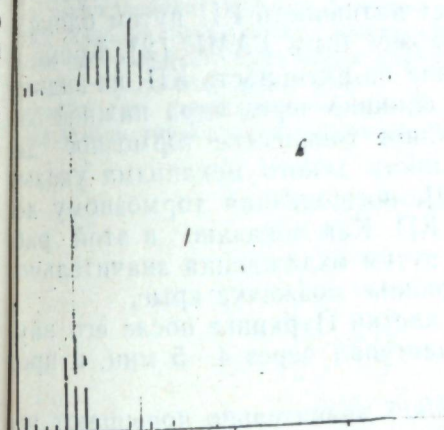


Рис. 3. Гистограмма распределения межимпульсных интервалов КП по длительности в результате машинной обработки.

А — фоновая активность КП; Б — активность во время действия этанола. Шаг гистограммы — 2 мсек. Масштаб ординат в % указан на рисунке 6

интервалов связан с подсчетом ЭВМ межимпульсных интервалов вну-
и сложных спаек, а большое количество длинных интервалов отра-
гает наличие тормозной паузы после активации КП по ходу лазящих
волокон. В условиях действия этанола (нижняя часть рис. 3) количе-
ство коротких временных интервалов, отражающих МИ в пределах
коротких спаек, снижается, тем самым указывая на уменьшение числа
коротких спаек, в то же время значительно возрастает число средних
И (25—40 мс) за счет резкого повышения частоты разрядов КП, ак-
тивируемой по входу мишистых волокон. Особенно наглядно действие
этанола проявляется в отношении тормозной паузы КП. Как видно
на рис. 3, в условиях действия этанола МИ порядка 100 мс полностью
устраняются и всего несколько МИ длительностью 50—90 мс регистри-
руются в этих условиях. В целом вся гистограмма МИ в условиях
действия этанола принимает форму кривой нормального распределения,
свидетельствуя об относительной регулярности и высокой частоте
разряда клеток Пуркинье.

Самым существенным результатом наших опытов с изучением дей-
ствия этанола на клетку Пуркинье мозжечка кошек является значи-
тельный повышение частоты разряда КП, наступающее, как правило,
на 4—5 мин. после его внутривенного введения. Хотя первые признаки
поступления алкоголя в головной мозг отмечаются уже в первую ми-
нуту после его введения, тем не менее равномерное распределение ал-
коголя в коре мозга происходит лишь через 4,5—5 мин. [6]. Это соот-
ветствует времени, через которое мы наблюдали начало действия эта-
нола. По мере снижения продуктов распада этанола, и в первую оче-
редь первичного продукта распада — ацетальдегида в крови, эффекты
этанола ослабевают. В наших опытах это ослабление эффектов зани-
мало от 30 до 90 мин. Возможно, эти колебания во времени связаны с

Поскольку одним из медиаторов ответственных за синаптическую передачу в мозжечке, является ацетилхолин, то с учетом того, что пол, введенный остро в организм, повышает содержание ацетилхолина [2—13], можно предположить, что это способствует улучшению синаптической передачи в мозжечке. Другим возможным медиатором, который под влиянием этанола повышает активность КП путем блокирования тормозных видов в мозжечке, может быть ГАМК [2]. Кроме того, одним из механизмов влияния этанола на активность КП, по-видимому, может являться прямое системное влияние через ядра нижнейолигонейроны которой оказывают постоянное тоническое тормозное действие на активность КП. На возможность такого механизма указывает недавно опубликованная работа [9], посвященная тормозному действию нижней оливы на активность КП. Как показано в этой работе, прямое выключение нижней оливы путем охлаждения значительно повышает чистоту разряда клеток Пуркинье мозжечка крыс.

огалдээ станолуун пишиклэрин бејинчијини Пуркинje бүчэйрлэриин импульсийн тэ'сириндээн баһс олуунмушдур. Тэ'жин едилмийшдир ки, станолуун орта мигр (2 мг/кг). сада лөхимлэмэ тезликлэринин артмасы вэ ejин заманда мүрэkkб ле-на тезликлэринин азалмасы несабына пишиклэрин бејинчијини Пуркинje бүчэй-ниин бошалма тезликлэрини әһэмийжэти дөрөчэдээ чохалдьыр. Етанолуун Пуркинje рине тэ'сир еффекти онуун венаја дахил едилмэснидэн 4—5 дэгигэ сонра башлаый-дэгигэ мүддэтиндэ давам едир.

таполуң орта дозасының та'сирі Пуркине бұчевірларнини активлаштырып, баштамыш тормозлама процесинин мүддәттінің әһәмийтеттің дәрежедә азалды.

1. Эффект действия этилалкоголя на клетки Пуркинье после его внутреннего введения в наших опытах наступал через 4—5 мин. и проходился в течение 30—60 мин.

2. Средние дозы этанола (2 мл/кг) значительно повышают частоту разряда клеток Пуркинье мозжечка кошек главным образом счет увеличения частоты простых спаек при одновременном снижении частоты сложных спаек.

3. В условиях действия средних доз этанола значительно сокращается длительность тормозной паузы, наступающей вслед за активацией клетки Пуркинье по ходу лазящих волокон.

Литература

- Литература

 - Разумеев А. Н., Григорьян Р. А. 1976. Мозжечок и гравитация. Племы космической биологии, т. 29. Изд-во «Наука», М.
 - Сытинский И. А. 1980. Биохимические основы действия этанола на центральную нервную систему. М., «Медицина», с. 190.
 - Armstrong D. M., Rawson J. A. 1971. Activity patterns of cerebellar co-neurones and climbing fibre afferents. *Brain Res.*, 21, N 1, 212-215.
 - Eccles J. A., Llinás R., Sasaki K. 1966. Parallel fiber stimulation and responses induced thereby in the Purkinje cells of the cerebellum. *Exp. Brain Res.*, 1, N 1, 17.
 - Eidelberg E., Bond M., Kelter A. 1971. Effects of alcohol on cerebellar vestibular neurons. *Arch. Int. Pharmacodin. Ther.*, 192, 213-219.
 - Ericson C. K. 1976. Regional distribution of ethanol in the rat brain. *Life Sci.* 1943-1946.
 - Ferin M., Grigorian R., Strata P. 1970. Purkinje cell activation by stimulation of the labyrinth. *Pflügers Arch.*, 321, N 3, 253-258.
 - Latham A., Paul D. H. 1971. Effects of sodium thiopentone on cerebellar nerve activity. *Brain Res.*, 21, N 1, 212-215.
 - Montarolo P. G., Palestini M., Strata P. 1982. The inhibitory effect of olivocerebellar input on the cerebellar Purkinje cells in the rat. *J. Physiol. (L.)*, 332, 187-200.
 - Rogers J., Siggins G., Schulman J. A., Bloom F. E. 1980. Physiology correlates of the ethanol intoxication, tolerance and dependence in the rat cerebellar Purkinje cells. *Brain Res.*, 196, N 1, 183-198.
 - Seil F., Leiman A., Herman M., Fisk. 1977. Direct effects of ethanol on central nervous system cultures: an electrophysiological and morphological study. *Exp. Neuropatol.* 55, 390-404.
 - Sinclair J., Lo G., Tien A. 1980. The effects of ethanol on cerebellar Purkinje cells in native and alcohol-dependent rats. *Can. J. Physiol., Pharmacol.*, 58, 429-432.
 - Trach W. T. 1972. Cerebellar output: properties, synthesis and uses. *Brain Res.*, N 1, 89-97.

УДК 612. 822.3.597.5

ФИЗИОЛОГИЯ ЧЕЛОВЕКА И ЖИВОТНЫХ

Л. Ф. ЛЫНЕВА, А. А. ИСМАИЛОВ, Н. И. КОВАЛЕВА

УЧАСТИЕ РЕТИКУЛЯРНОЙ ФОРМАЦИИ
В ФОРМИРОВАНИИ ВП В ОТВЕТ НА РАЗДРАЖЕНИЕ
ОБОНИТЕЛЬНОГО ТРАКТА У КОСТИСТЫХ РЫБ

Для выяснения роли ретикулярной формации у рыб в формировании вызванных потенциалов с обонятельной луковицей и переднего мозга применялись вещества, изменяющие функциональное состояние структуры. Полученные экспериментальные данные свидетельствуют, что у рыб характер формирования вызванных ответов на фоне действия аминазина и амизила в зависимости от дозы и сроков действия существенно изменялся. Изменения проявлялись в угнетении амплитуды и удлинении временных параметров, что указывает об участии ретикулярной формации ствола мозга в формировании этих ответов.

Одним из коллекторов тектофугальных аксонов у рыб является мезенцефалическая группа ретикулярных клеток, локализованная в дорзомедиальной области тегментума [3], взаимные связи которой с той или иной из сенсорных систем весьма неодинаковы у представителей низших позвоночных. Высказывается мнение, что это образование гомологично ретикулярной формации среднего мозга млекопитающих и может выполнять у рыб важную релейную функцию.

Целью настоящей работы было выяснить, какую роль выполняет ретикулярная формация в формировании вызванных потенциалов (ВП) с обонятельной луковицей и переднего мозга у костистых рыб.

Опыты проводились на 30 костистых рыбах (*Cyprinus Carpio L.*) весом от 100 до 150 г. Для обездвиживания и слабого наркоза рыбам вводили внутримышечно раствор Д-тубокуарина из расчета 2 мг/кг. Рыбы укреплялись на специальной установке, в которой жабры непрерывно орошались аэрированной водой. Обонятельный тракт раздражали прямоугольными импульсами тока напряжением 10—15 В, длительностью 0,2 мсек. ВП с обонятельной луковицей и полушарий переднего мозга отводились стеклянными микроэлектродами, заполненными 4%-ным раствором проциона красного. Индифферентный электрод помещали на кости черепа. Рыбу заземляли через металлическую пластинку, расположенную в хвостовой части. Потенциалы фотографировались с экрана катодного осциллографа С1—18. В качестве веществ, изменяющих функциональное состояние ретикулярной формации, применялись аминазин и амизил, вводимые в/м в разных дозах — 0,1; 0,3; 0,5; 1; 3; 5; 7; 10 мг/кг.

Результаты проведенных исследований показали, что при одиночном раздражении обонятельного тракта вызванный потенциал регистрировался по всей поверхности ипси- и контраполатеральной обонятельной луковицы и полушарий переднего мозга.

ВП, зарегистрированные в ипси- и контраполатеральной луковице, имели многокомпонентную форму с хорошо выраженным негативными пиками, за которыми следовала менее выраженная позитивная волна. Форма ответов зависела от места положения отводящего электрода на поверхности обонятельной луковицы. Наибольших амплитуд потенциалы обонятельной луковицы достигали в верхних латеральных отделах.

ВП переднего мозга при электрической стимуляции латерального и медиального тракта представлял собой негативно-позитивное колебание. Наиболее коротколатентные и высокоамплитудные ВП на электрическое раздражение латерального обонятельного тракта отмечались в каудолатеральной области переднего мозга, а при раздражении медиального тракта фокус максимальной активности ВП находился в каудомедиальном отделе.

Отметив активные точки, т. е. фокус максимальной активности ВП в каждой структуре головного мозга, внутримышечно вводили аминазин и амизил в разных дозах. Местоположение электрода во время опыта не менялось.

Динамика амплитудно-временных характеристик ВП с полушарий переднего мозга и обонятельной луковицы показала, что у костистых рыб специфическое действие аминазина на ретикулярные клетки имело некоторые особенности. Влияние вещества на формирование ВП наблюдалось в течение 1—2 часов. В/м введение аминазина в дозах, начиная с 0,1 до 3 мг/кг, не вызывало изменений во временных параметрах ВП рыб с указанных областей головного мозга. Изменения проявлялись только при увеличении дозы вещества до 5 мг/кг.

Отмечалось некоторое уменьшение амплитуды негативной и позитивной волны ответов без изменения временных параметров. Отчетливо выраженное угнетение амплитуды ВП и удлинение временных показателей наблюдалось в 20—25-й минуте при в/м введении аминазина в дозе 7 мг/кг (рис. 1, 2). Полной блокады ВП у рыб не наблюдалось даже при дозе 9—10 мг/кг. Характерной для ВП на этом фоне являлась нестабильность их возникновения как в обонятельной луковице, так и в полушарии переднего мозга в ответ на стимуляцию обонятельного тракта. В ряде опытов требовалось увеличение стимула до 20—25 В. В вызванных ответах с обонятельной луковицей и переднего мозга, кроме снижения амплитуды ВП, незначительного увеличения латентного периода, отмечались изменения в компонентном составе ВП (рис. 1, 2). На 45—60-й минуте после введения вещества исчезал ранний позитивный компонент как в обонятельной луковице, так и в переднем мозге, а негативные пики в ВП только в обонятельной луковице.

Из изложенного видно, что у костистых рыб аминазин не проявлял полностью своего адренолитического характера на ретикулярные клетки, что, вероятно, связано с морфофункциональной особенностью этой структуры на уровне этих животных.

Аналогичная закономерность у рыб в динамике вызванных потенциалов обонятельной луковицы и переднего мозга в ответ на раздражение обонятельного тракта наблюдалась на фоне холинолитика — амизила. Как в опытах с аминазином, так и с амизилом эффект действия вещества наступал только при дозе 5—7 мг/кг. Прогрессивно

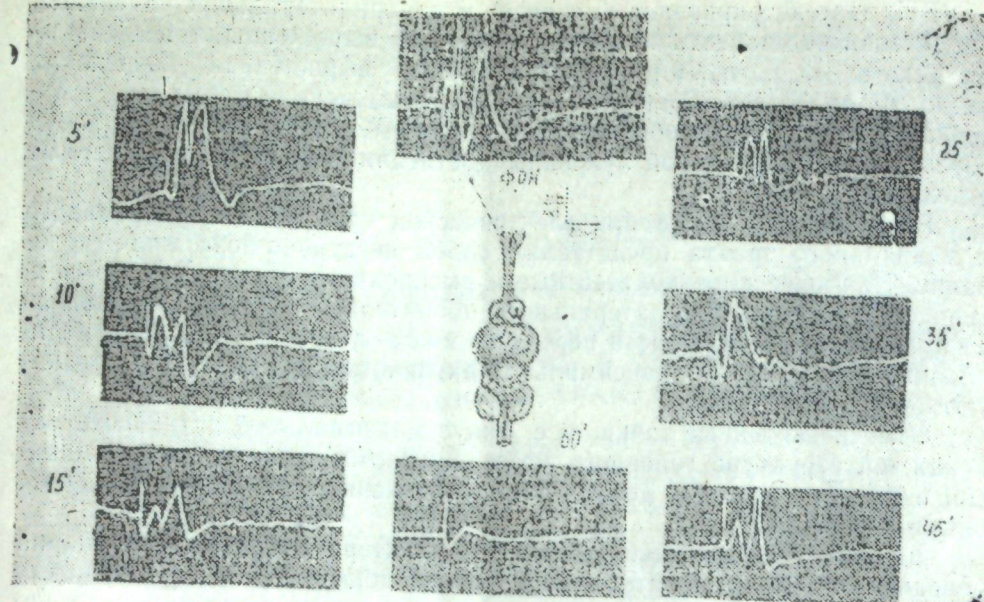


Рис. 1. ЕП обонятельной луковицы на раздражение обонятельного тракта у костистой рыбы в норме и на фоне в/м введения аминазина в дозе 7 мг/кг.

Время по минутам с момента введения вещества. Виден артефакт раздражения.

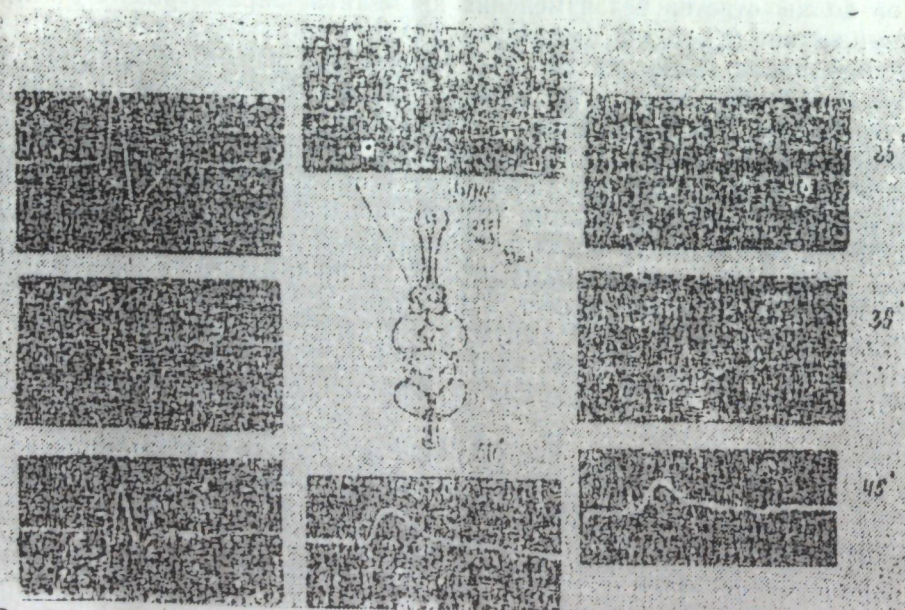


Рис. 2. ВП переднего мозга на раздражение обонятельного тракта у костистой рыбы в норме и на фоне в/м введения аминазина в дозе 7 мг/кг.
Обозначения те же, что и на рис. 1.

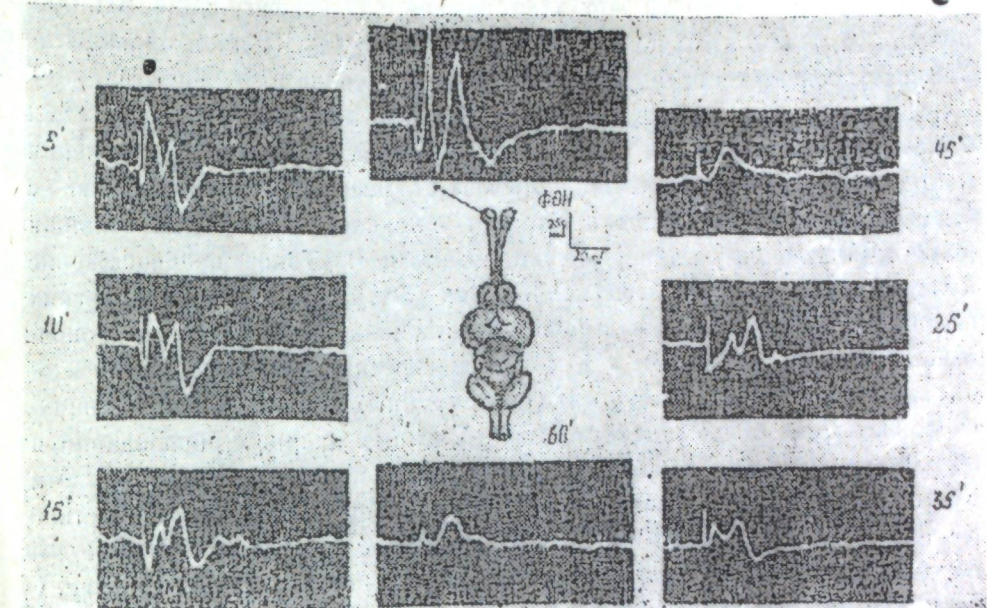


Рис. 3. ВП обонятельной луковицы на раздражение обонятельного тракта у костистой рыбы в норме и на фоне в/м введения амизила в дозе 5 мг/кг.

Обозначения те же, что и на рис. 1.

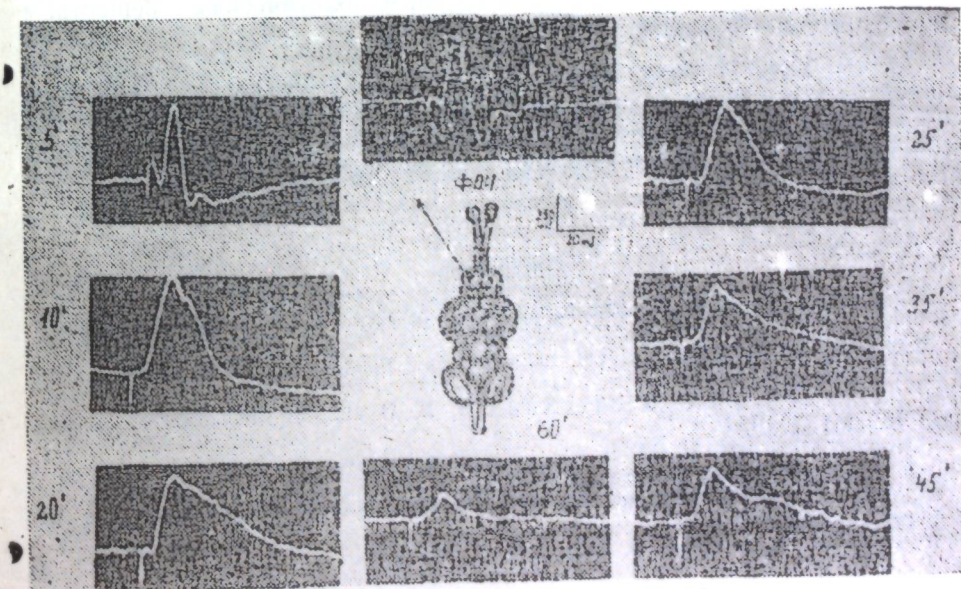


Рис. 4. ВП переднего мозга на раздражение обонятельного тракта у костистой рыбы в норме и на фоне амизила в дозе 5 мг/кг.
Обозначения те же, что и на рис. 1.

уменьшалась амплитуда негативной и позитивной волны, несколько увеличивался латентный период и изменялась конфигурация ВП обонятельной луковицы и переднего мозга (рис. 3, 4). Полной блокады не наблюдалось при последующем увеличении вводимого вещества.

Проведенный анализ данных с фармакологическими веществами показал, что в динамике вызванных потенциалов большие изменения наступают при действии холинергического вещества по сравнению с адренергическим. Очевидно в реакции у низших позвоночных большая роль принадлежит холинергическим системам. Такое предположение находит подтверждение в исследованиях [5, 6] о роли холинергических нейронов головного мозга в феномене активации у низших позвоночных (амфибии, рептилии). У рыб в состав ретикулярной формации входят несколько десятков относительно крупных клеток, группирующихся в виде пяти более или менее оформленных ядерных образований и обладающих рядом морфо-функциональных особенностей [7]. Эти свойства ретикулярных клеток, вероятно, и определили такое действие аминазина и амизила на динамику вызванных потенциалов. Кроме того, благодаря различным связям функциональных систем в мозгу у филогенетически разных групп животных, наблюдаемые особенности могут быть следствием изменения активности любой другой функциональной системы мозга, даже не связанной с данной формой реакции [4]. При действии веществ, угнетающих адренергические и холинергические системы мозга, одним из главных эффектов является блокада соответствующего компонента ретикулярной формации ствола мозга. Наличие чувствительных нейронов к фармакологическим веществам у рыб установлено рядом авторов [1, 2].

Таким образом, полученные данные свидетельствуют, что ретикулярные клетки ствола мозга оказывают влияние на формирование ВП с обонятельной луковицей и полушарий переднего мозга, а выявленные отличия отражают общий уровень развития центральной нервной системы рыб.

Литература

1. Веденников Ю. П. «Физиологический ж. СССР», т. 62, № 8, стр. 1247—1250, 1976.
2. Веселкин Н. П. и др. «Ж. эволюционной биохимии и физиологии», т. 12, № 5, стр. 483—485, 1976.
3. Гусельников В. И., Логинов Б. В. В кн.: «Зрительный анализатор рыб», М., МГУ, 1976.
4. Гусельников В. И. В кн.: «Электрофизиологические исследования анализаторных систем в филогенезе позвоночных». М., МГУ, 1965.
5. Карманова И. Г. и др. «Ж. эволюционной биохимии и физиологии», т. 13, № 6, стр. 528—532, 1977.
6. Тагиев Ш. К. Автореф. докт. дисс. Баку, 1970.
7. Aries Kappers C. J. By Hafner N. Y. 1936, Reprinted, 1960, 1.

Институт физиологии

Л. Ф. Лыниова, А. А. Исмаилов, Н. И. Ковалёва

БЕЈИННИН ТОРАБӘНЗӘР ТӨРӘМӘСИНИН СҮМҮКЛУ БАЛЫГЛАРЫН ГОХУ
ЈОЛУНУН ГЫЧЫГЛАНДЫРЫЛМАСЫ ИЛӘ ЧАҒЫРЫЛМЫШ
ПОТЕНСИАЛЛАРЫН ФОРМАЛАШМАСЫНДА ИШТИРАКЫ

Кәсқин тәчрүбәләрдә сүмүклю балыглар (нибрив; карп-сазан) үзәринде апарылмыш тәдгигатларда бејиннин торабәнзәр төрәмәсинин гоху реаксијаларында иштиракыны ашкар етмәк гарышы да гојулмуштур.

Електрофизиологи вә, неурофармакологи үсуллар (аминазин, амизил) балыглары гоху соганағындан вә өн бејин јарымкүрәләрнән гоху јолуну гычыгландырмагла алынан чағырлымыш потенсијалларын формалашмасында торабәнзәр төрәмә һүчејрәләринин иштиракыны сүбтетмәж имкан верир.

Балыгларын торабәнзәр төрәмәсина дәрман маддәләринин тәсирин илә ашкара чы харылмыши хүсусијәтләр бу һөҗвандарын мәркәзи синир системинин үмуми инкишәф сәвијјәсими эке етдирир.

ГЕРПЕТОЛОГИЯ

Т. Р. АЛИЕВ

О НАХОДКЕ КОШАЧЬЕЙ ЗМЕИ (*Telescopus fallax Fleischmann, 1831*) В НАХИЧЕВАНСКОЙ АССР

Кошачья змея (*Telescopus fallax Fleischmann, 1831*) — одна из широкораспространенных змей палеарктической фауны. Ареал ее охватывает Балканский полуостров, некоторые острова Средиземного моря, Малую Азию, Северную Сирнию, Иран и Закавказье. По литературным данным [4, 1, 2], в Азербайджане распространен подвид этой змеи *T. fallax iberus* (Eichwald, 1831), который встречается в природных областях Галыша, Большого Кавказа и Прикурицкой низменности. Наиболее обычен этот вид на Апшеронском полуострове.

На территории Нахичеванской АССР этот вид, несмотря на многочисленные герпетологические исследования [5, 1, 2, 3], до сих пор никем не отмечен.

В мае 1982 г. пами в окрестностях села Ашагы Бузгов Бабекского района Нахичеванской АССР среди нагромождений валунов найдены две кошачьи змеи (на высоте 1300—1500 м над ур. м.). Несмотря на пасмурную погоду при температуре воздуха 16°C, змеи были активны. По внешним признакам и окраске они ничем не отличаются от подвида.

Литература

1. Алекперов А. М. Пресмыкающиеся Нахичеванской АССР. (На азерб. языке). Труды АГУ им. С. М. Кирова, серия биол., вып. IV, стр. 133, 1951.
2. Алекперов А. М. Материалы к познанию фауны амфибий и рептилий Нахичеванской АССР. Труды АГУ им. С. М. Кирова, серия биол., вып. VI, стр. 151—158, 1954.
3. Баников А. Г., Даревский И. С. и др. Определитель земноводных и пресмыкающихся фауны СССР. М., «Просвещение», стр. 307—308, 1977.
4. Никольский А. М. Фауна России. Пресмыкающиеся (Reptilia) т. II ophidia. Изд-во зool. Музея АН, Пг., стр. 156—158, 1916.
5. Чернов С. А. К познанию герпетофауны Армении и Нахичеванского края. «Уч. зап. Сев.-кавказ. ин-та краеведч.», т. I, стр. 47, 1926.

Институт зоологии

Т. Р. Алиев

НАХЧЫВАН МССР-дэ ДАМ ИЛАНЫНЫН
(*Telescopus Fallax Fleischmann, 1831*)
ТАПЫНТЫСЫНА ДАИР

Мэгалаэдэ Нахчыван МССР-ин Бабэк районунун Ашагы Бузгов канди этрафында дам иланынын *T. f. iberus* (Eichwald, 1831) јени јајлма јеринин мүәјҗән едилмәсниндән бәһе олунур. Бу тапынты һәмни иланын јајлма ареалынын даһа кениш олдуғында дәла-

ләт едир.

СОДЕРЖАНИЕ

А. М. Масиев. Биоэкологические особенности некоторых деревьев и кустарников из флоры Кавказа в условиях Апшерона
Ботаника

З. А. Новрузова. Сравнительно-анатомическое исследование дубов Азербайджана
Биофизика

И. М. Курбанова, С. А. Байрамова, Р. А. Гасанов. Энергобез обеспечение сборки хлорофилл-белковых комплексов (ХБК) и мембранный структуры хлоропластов пшеницы
Геоботаника

Р. К. Меликов. Химический состав и питательность некоторых доминантов полупустынных фитоценозов Ширвана
Ботаника

А. А. Куллиев, Э. И. Гигиенова, А. У. Умаров, В. Б. Кулев, С. М. Асланов, Э. М. Гурбанов. Жирные масла из семян растений
Анализ флоры Кызылагачского заповедника имени С. М. Кирова

Р. К. Меликов. Химический состав и питательность некоторых доминантов полупустынных фитоценозов Ширвана
Ботаника

А. А. Куллиев, Э. И. Гигиенова, З. Р. Джадаров, Н. М. Исмайлова, Э. М. Гурбанов. Исследование жирного масла смирновидки армянской (*Smirnovia armena schischk*) из флоры Нахичеванской АССР
Анализ флоры Кызылагачского заповедника имени С. М. Кирова

Р. К. Меликов. Химический состав и питательность некоторых доминантов полупустынных фитоценозов Ширвана
Ботаника

А. А. Куллиев, Э. И. Гигиенова, З. Р. Джадаров, Н. М. Исмайлова, Э. М. Гурбанов. Исследование жирного масла смирновидки армянской (*Smirnovia armena schischk*) из флоры Нахичеванской АССР
Анализ флоры Кызылагачского заповедника имени С. М. Кирова

Р. К. Меликов. Химический состав и питательность некоторых доминантов полупустынных фитоценозов Ширвана
Ботаника

А. А. Куллиев, Э. И. Гигиенова, З. Р. Джадаров, Н. М. Исмайлова, Э. М. Гурбанов. Исследование жирного масла смирновидки армянской (*Smirnovia armena schischk*) из флоры Нахичеванской АССР
Анализ флоры Кызылагачского заповедника имени С. М. Кирова

Р. К. Меликов. Химический состав и питательность некоторых доминантов полупустынных фитоценозов Ширвана
Ботаника

А. А. Куллиев, Э. И. Гигиенова, З. Р. Джадаров, Н. М. Исмайлова, Э. М. Гурбанов. Исследование жирного масла смирновидки армянской (*Smirnovia armena schischk*) из флоры Нахичеванской АССР
Анализ флоры Кызылагачского заповедника имени С. М. Кирова

Р. К. Меликов. Химический состав и питательность некоторых доминантов полупустынных фитоценозов Ширвана
Ботаника

А. А. Куллиев, Э. И. Гигиенова, З. Р. Джадаров, Н. М. Исмайлова, Э. М. Гурбанов. Исследование жирного масла смирновидки армянской (*Smirnovia armena schischk*) из флоры Нахичеванской АССР
Анализ флоры Кызылагачского заповедника имени С. М. Кирова

Р. К. Меликов. Химический состав и питательность некоторых доминантов полупустынных фитоценозов Ширвана
Ботаника

А. А. Куллиев, Э. И. Гигиенова, З. Р. Джадаров, Н. М. Исмайлова, Э. М. Гурбанов. Исследование жирного масла смирновидки армянской (*Smirnovia armena schischk*) из флоры Нахичеванской АССР
Анализ флоры Кызылагачского заповедника имени С. М. Кирова

Р. К. Меликов. Химический состав и питательность некоторых доминантов полупустынных фитоценозов Ширвана
Ботаника

А. А. Куллиев, Э. И. Гигиенова, З. Р. Джадаров, Н. М. Исмайлова, Э. М. Гурбанов. Исследование жирного масла смирновидки армянской (*Smirnovia armena schischk*) из флоры Нахичеванской АССР
Анализ флоры Кызылагачского заповедника имени С. М. Кирова

Р. К. Меликов. Химический состав и питательность некоторых доминантов полупустынных фитоценозов Ширвана
Ботаника

А. А. Куллиев, Э. И. Гигиенова, З. Р. Джадаров, Н. М. Исмайлова, Э. М. Гурбанов. Исследование жирного масла смирновидки армянской (*Smirnovia armena schischk*) из флоры Нахичеванской АССР
Анализ флоры Кызылагачского заповедника имени С. М. Кирова

Р. К. Меликов. Химический состав и питательность некоторых доминантов полупустынных фитоценозов Ширвана
Ботаника

А. А. Куллиев, Э. И. Гигиенова, З. Р. Джадаров, Н. М. Исмайлова, Э. М. Гурбанов. Исследование жирного масла смирновидки армянской (*Smirnovia armena schischk*) из флоры Нахичеванской АССР
Анализ флоры Кызылагачского заповедника имени С. М. Кирова

МУНДЭРИЧАТ

Э. М. М а с и е в. Гафгаң флорасындан олан бә'зи ағач вә колларын Абшерон шәрәтиндә биосеколожи хүсусијәтләри	3
Ботаника	
З. Э. Н о в р у з о в а. Азәрбајҹан палыздларынын мүгајисәли анатомик тәдгиги	9
Биофизика	
И. М. Гурбанов, С. А. Бајрамова, Р. Э. Иәсәнов, Буғда биткиси хлоропластларынын мембранны гурулшуунун (структурунун) вә хлорофилл-зұлал комплексиниң жығылмасынын енержи тәчіннаты	15
Кеоботаника	
Р. К. М а ли к о в. Ширванын јарымсаһра фитоценозлары бә'зи доминант иевларинин кимјәви тәркиби вә гидалылығы	22
А. А. Гулијев, Е. И. Гигијенова, А. Ү. Умаров. Б. Б. Гулијев, С. М. Асланов, Е. М. Гурбанов. (<i>Carthamus L.</i>) чинсинин тохумларындан алынан яғ	27
А. Х. Ләтифова, О. И. Јевстратов. С. М. Қиров адына гызылағач горугу флорасынын тәһлили	34
Ботаника	
Р. М. Мәммәдов. Губа-Хачмаз зонасында битән надир вә көкү кәсилемәкдә олан илан соғаны иевләринин биологи хүсусијәтләри	41
А. Э. Гулијев, Е. И. Гигијенова, З. Р. Чәфәқов, Н. М. Исма йлов, Е. М. Гурбанов. Нахчыван МССР-дә битән Ермәни ләләклүләсинин (<i>Smyrniopsis armena schishk</i>) яғ тәркибинин өјрәнилмәси	44
Ә. Н. Құләһмәдов, О. К. Мәммәдов, Мәркәзи Бирмәның торпаг ларында (гуру зона) борун мигдары	44
Торпагшұнаслығ	
И. Ш. И скәндәров, Э. Н. Јусифов. Құр-Араз дүзәнлијинде гајсаг әмәлә кәтирән торпагларын жајылмасы	52
Торпагшұнаслығ. Торпагларын ботаникләшмәси	
Г. Ш. Мәммәдов. Торпаг кадастры мәгәдила отлагларын жемлилик дәјәр- лилијинин хәритәләшдирмәсінин аспектләри	56
Торпагшұнаслығ	
Т. А. Мәммәдов, С. П. Эл и є в. Құр-Араз дүзәнлијинин суварма сулары- нын кејфијәт тәркибинин мөвсүми дәјишишмәси	62
Паразитология	
Д. М. И са з а д ә. Азәрбајҹан ССР-ин Ачыноһур дүзүндә гојунларын Ејмери- ја фаунасы	67
Нидробиология	
С. И. Мәммәдова. Азәрбајҹанын Шәки-Загатала зонасы су һвзәләринин Олигохет фаунасына даир	72
З. Ж. Ә б дүррәһмәнова. Дәвәчи лиманынын макрофаунасын мигдар тәркибинин мөвсүмләр үзәре дәјишишмәси	76
Киеттика	
М. О. Элијев, Д. С. Әjjубов. Мұхтәлиф плойидли тут биткиләринин мејвә вә јарпагларынын параметрләринни дәјишишкәили	81
Иисан вә һејван физиологиясы	
Ш. К. Тағыјев, Н. Д. Ибраһимова, Е. Х. Һачыјева. Онтокенездә виссерал вә соматик синирләрниң гычыгландырылмасы заманы орбитал вә сенсо- матор саһәләрдән алынан жарадылыш потенциаллар	89
Т. В. Элијев, Р. А. Бабаев, М. И. Чаббаров. Мәгсәдјөнду синтез олуныш бир сырға маддәләрни шүа алејінә тә'сирі	96
Ф. Б. Эскәров, С. Э. Эләкбәров. Су тәләбатынын мұхтәлиф сәвијјә- ләрниң һипоталамусун айры-айры нұвәләрнәнде кедән морфологи дәјишикликләр	101
М. Н. Элијев, Н. И. Әһмәдов. Окситосинин тә'сиринден һипофизар про- лактишинән әмәлә кәлмәсі вә секрецијасының һипоталамо-һипофизар механизмы	106
Т. М. Исмајлов. Пишиләрниң бејицијијинин Пуркине һүчејрәләринин импулс активијиә еталонун тә'сирі	111
Л. Ф. Лынирова, А. А. Исмајлов, Н. И. Ковалјова. Бејинин тора- бәнзәр терәмәсииң сүмүкүл балыгларын гоху жолунун гычыгландырылмасы илә чағырылыш потенциалларын формалашысында иштиракы	117
Гериетология	
Т. Р. Элијев. Нахчыван МССР-дә дам иланынын Telescopus Fallax Fleischmann, 1831) тапынтысына даир	124

Сдано в набор 22. III 84 г. Подписано к печати 16. 07. 84 г.

ФГ 02720. Формат бумаги 70x100^{1/16}. Бумага типографская № 1.

Гарнитура шрифта литературиая. Печать высокая. Усл. печ. лист 10,4.

Уч. изд. лист 8,23. Усл. кр.-отск 10,4 Тираж 545. Заказ 129. Цена 1 руб. 20 коп.

Издательство «Элм».

370143 Баку-143, проспект Нариманова, 31, Академгородок, Главное здание.

Типография АН Азерб. ССР. Баку, проспект Нариманова, 31.